

Université Lumière Lyon 2
UMR 5133 Archéorient - Maison de l'Orient et de la Méditerranée

École doctorale des sciences sociales (ED 483)

**BIOANTHROPOLOGIE ET PRATIQUES
FUNÉRAIRES DES POPULATIONS NEOLITHIQUES
DU PROCHE-ORIENT : L'IMPACT DE LA
NEOLITHISATION**

(Étude de sept sites syriens - 9820-6000 cal. BC)

Par M^{lle} Bérénice CHAMEL

Sous la direction de M. Alain BEECHING et le tutorat scientifique de M^{mce} Françoise LE MORT

Tome 2 : Annexes

Thèse d'Archéologie des Mondes Anciens
Pour obtenir le grade de
Docteur de l'Université Lumière – Lyon 2

Présentée et soutenue publiquement le 30 septembre 2014

Après avis de :

- M^{mce} Anne-Marie TILLIER, Directrice de recherche au CNRS, Bordeaux
- M. Miquel MOLIST MONTAÑA, Professeur, Université Autonome de Barcelone

Devant la commission d'examen formée de :

- M. Alain BEECHING, Professeur, Université Lumière Lyon 2
- M. Olivier DUTOUR, Directeur d'Etudes, Ecole Pratique des Hautes Etudes
- M^{mce} Françoise LE MORT, Chargée de recherche au CNRS, Lyon
- M. Miquel MOLIST MONTAÑA, Professeur, Université Autonome de Barcelone
- M^{mce} Theya MOLLESON, Chercheur, Natural History Museum, Londres
- M^{mce} Anne-Marie TILLIER, Directrice de recherche au CNRS, Bordeaux

Table des annexes

ANNEXES 1 CARTES	8
Annexe 1.1 : Carte des différents domaines biogéographiques du Proche-Orient (DAO ASPRO MOM, d'après les travaux de P. Sanlaville <i>in</i> Hours <i>et al.</i> 1994, fig. 5)	9
Annexe 1.2 : Carte des sites étudiés (d'après DAO MOM)	10
Annexe 1.3 : Carte de répartition des précipitations annuelles moyennes au Proche-Orient (DAO ASPRO MOM, d'après Hours <i>et al.</i> 1994, fig. 4)	11
Annexe 1.4 : Carte des principaux sites Natoufiens au Proche-Orient (13 000/12 800-10 300 BP)	12
Annexe 1.5 : Carte des principaux sites khiamiens et PPNA au Proche-Orient (10 000 – 8 700 av. J.-C.)	13
Annexe 1.6 : Carte des principaux sites PPNB ancien au Proche-Orient (8 700 – 8 200 av. J.-C.)	14
Annexe 1.7 : Carte des principaux sites PPNB moyen au Proche-Orient (8 200 – 7 500 av. J.-C.)	15
Annexe 1.8 : Carte des principaux sites PPNB récent au Proche-Orient (7 500 – 7 000 av. J.-C.)	16
Annexe 1.9 : Carte des principaux sites PPNB final et PPNC au Proche-Orient (7000 av. J.-C.)	17
Annexe 1.10 : Carte des principaux sites du Néolithique céramique au Proche-Orient	18
Annexe 1.11 : Carte des sites mentionnés dans le chapitre 3	19
Annexe 1.12 : Carte des sites utilisés pour les comparaisons dans le chapitre 520	
ANNEXES 2 TABLES ET FIGURES	21
Annexe 2.1 : Tell Aswad : travail de réattribution des restes humains sans étiquettes (Fouilles H. de Contenson)	22

Annexe 2.2 : Table « site » de la base de données Filemaker ; exemple du site de Dja'de el-Mughara	23
Annexe 2.3 : Table « squelette » de la base de données Filemaker ; exemple du site de Tell Qaramel	24
Annexe 2.4 : Table « ossement » de la base de données Filemaker ; exemple du site de Cheikh Hassan.....	25
Annexe 2.5 : Table « dent » de la base de données Filemaker ; exemple du site de Tell Ain el-Kerkh	26
Annexe 2.6 : Dja'de el-Mughara ; liste des relevés de la sépulture 180 inférieure/180 et informations relatives aux dépôts	27
Annexe 2.7 : Dja'de el-Mughara ; liste des relevés de la sépulture 108 et informations relatives aux dépôts	31
Annexe 2.8 : Tell Ain el-Kerkh, sépultures primaires provenant de la zone du cimetière (individus découverts lors des campagnes 2002, 2007, 2008 et 2009)...	33
Annexe 2.9 : Tell Qaramel, tableau de données brutes pour le calcul de l'âge de formation des hypoplasies.....	37
Annexe 2.10 : Cheikh Hassan, tableau de données brutes pour le calcul de l'âge de formation des hypoplasies.....	38
Annexe 2.11 : Dja'de el-Mughara : Résultat des divers tests de Chi ² et de Fisher (les différences significatives sont grisées)	39
Annexe 2.12 : Dja'de el-Mughara : liste des individus avec des avulsions pour les phases DJ II et DJ III	40
Annexe 2.13: Dja'de el-Mughara, tableau de données brutes pour le calcul de l'âge de formation des hypoplasies pour la phase DJ I.....	41
Annexe 2.14: Dja'de el-Mughara, tableau de données brutes pour le calcul de l'âge de formation des hypoplasies pour la phase DJ II.....	42
Annexe 2.15: Dja'de el-Mughara, tableau de données brutes pour le calcul de l'âge de formation des hypoplasies pour la phase DJ III.....	43
Annexe 2.16 : Abu Hureyra, fosse 144 : représentation graphique du NMI et estimation de l'âge au décès des individus du dépôt 73-1785 (AH 2A)	48

Annexe 2.17 : Abu Hureyra, fosse 144 : représentation graphique du NMI et estimation de l'âge au décès des individus du dépôt 73-1604 (AH 2A)	49
Annexe 2.18 : Abu Hureyra, fosse 144 : représentation graphique du NMI dentaire du dépôt 73-2397 (AH 2A)	50
Annexe 2.19 : Abu Hureyra, fosse 144 : représentation graphique du NMI et estimation de l'âge au décès des individus du dépôt 73-1786 (AH 2A)	51
Annexe 2.20 : Abu Hureyra, fosse 144 : représentation graphique du NMI du dépôt 73-1788, 73-2277, 73-2278 (AH 2A)	52
Annexe 2.21 : Abu Hureyra, fosse 144 : représentation graphique du NMI et estimation de l'âge au décès des individus du dépôt 73-1787 (AH 2A)	53
Annexe 2.22 : Abu Hureyra, fosse 144 : représentation graphique du NMI global des dépôts retrouvés dans la fosse 144 (AH 2A)	54
Annexe 2.23 : Abu Hureyra : Résultat des divers tests de χ^2 et de Fisher (les différences significatives sont grisées)	55
Annexe 2.24 : Abu Hureyra : Individus de la phase 2B ayant livré des dents perdues <i>ante-mortem</i>	56
Annexe 2.25 : Abu Hureyra, tableau de données brutes pour le calcul de l'âge de formation des hypoplasies pour la phase AH 2A	57
Annexe 2.26 : Abu Hureyra, tableau de données brutes pour le calcul de l'âge de formation des hypoplasies pour la phase AH 2B	58
Annexe 2.27 : Abu Hureyra, estimation de l'âge des épisodes de stress selon les lignes d'hypoplasies pour AH 2B	63
Annexe 2.28 : Abu Hureyra, tableau de données brutes pour le calcul de l'âge de formation des hypoplasies pour la phase AH 2C	65
Annexe 2.29 : Tell Mureybet, tableau de données brutes pour le calcul de l'âge de formation des hypoplasies pour la phase IVB	66
Annexe 2.30 : Tell Ain el-Kerkh, tableau de données brutes pour le calcul de l'âge de formation des hypoplasies	67
Annexe 2.31 : Tell Ain el-Kerkh, estimation de l'âge des épisodes de stress selon les lignes d'hypoplasies	76

Annexe 2.32 : Répartition des individus étudiés selon la chronologie de la Néolithisation	78
Annexe 2.33 : Frise chronologique avec proto-agriculture, agriculture et élevage (DAO B. Chamel).....	79
Annexe 2.34 : Tuberculose : cas de tuberculose au Proche-Orient – les cases grisées proviennent de notre corpus (d’après El-Najjar <i>et al.</i> 1996, Hershkovitz <i>et al.</i> 2008 et Kappelman <i>et al.</i> 2008)	80
Annexe 2.35 : Chapitre 5, résultat des divers tests de Chi ² et de Fisher pour les pathologies infectieuses (les différences significatives sont grisées).....	82
Annexe 2.36 : Restes de plantes et d’animaux découverts dans les sites étudiés ainsi que leur statut (domestiques ou sauvages).....	83
Annexe 2.37 : Chapitre 5, résultat des divers tests de Chi ² et de Fisher pour les pathologies dentaires (les différences significatives sont grisées).....	86
Annexe 2.38 : Caries estimées, type de dents présentant des caries, des abcès et perdues <i>ante-mortem</i> pour les quatre périodes.....	88
Annexe 2.39 : Chapitre 5, résultat des divers tests de Chi ² et de Fisher pour le tartre et l’usure (les différences significatives sont grisées)	89
Annexe 2.40 : Tartre, type de dents permanentes avec tartre pour les quatre périodes	90
Annexe 2.41 : Tartre, type de dents déciduales avec tartre pour les quatre périodes	91
Annexe 2.42 : Chapitre 5, résultat des divers tests de Chi ² et de Fisher pour les indicateurs de stress (les différences significatives sont grisées)	92
Annexe 2.43 : Hypoplasies, type de dents présentant des hypoplasies linéaires pour les quatre périodes.....	94
Annexe 2.44 : Pathologies dentaires : données utilisées pour comparaisons du Natoufien au Chalcolithique.....	95
Annexe 2.45 : Comparaisons générales : résultat des divers tests de Chi ² et de Fisher pour les pathologies dentaires et les indicateurs de stress (les différences significatives sont grisées).....	97
Annexe 2.46 : Indicateurs de stress : données utilisées pour comparaisons du Natoufien au Chalcolithique.....	98

ANNEXES 3 FICHES DE CONSERVATION 99

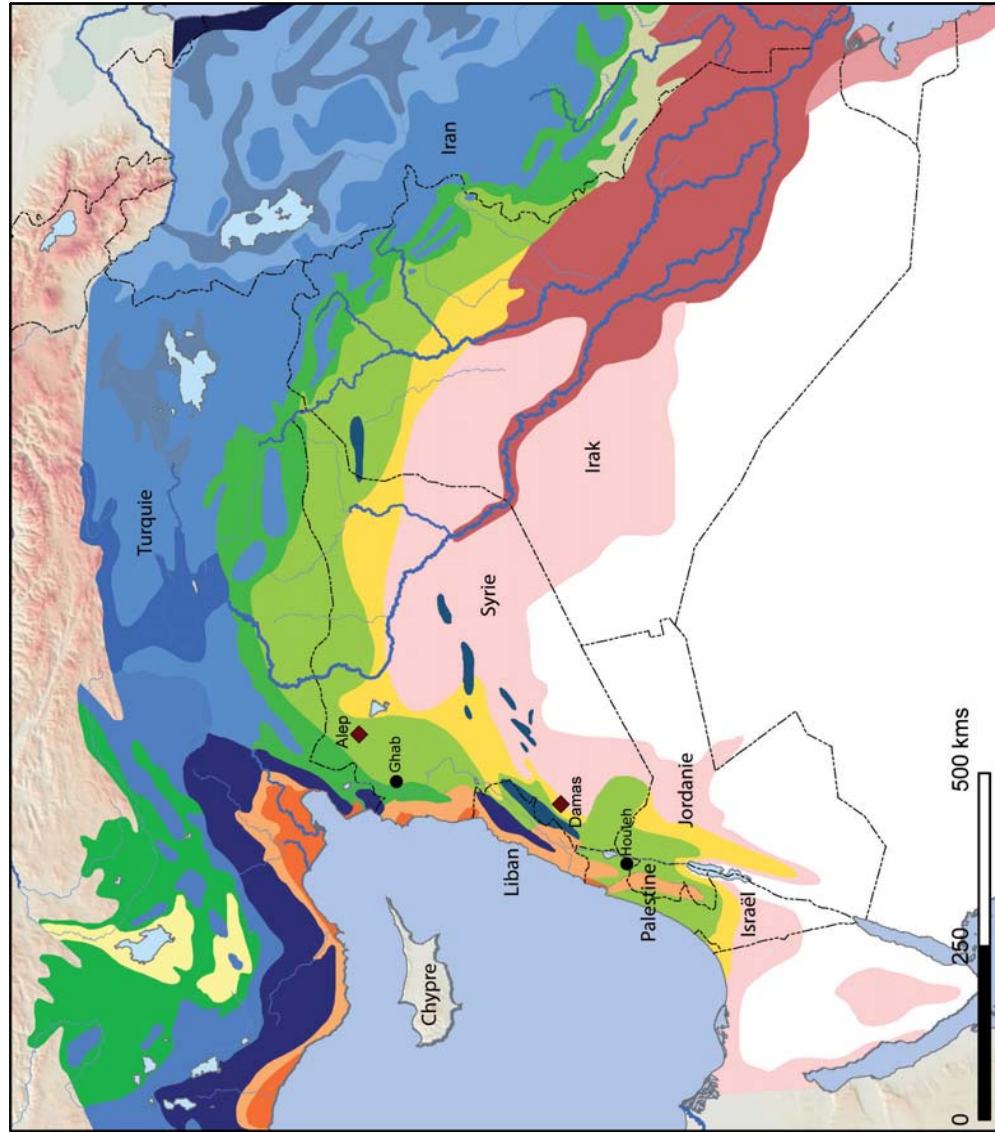
Annexe 3.1 : Fiche de conservation pour sujets adultes (D’après T.S. Constandse et C. Meikeljohn, modifiée par M. Guillon, P. Sellier et P. Courtaud)	100
Annexe 3.2 : Fiche de conservation pour sujets immatures (D’après T.S. Constandse et C. Meikeljohn, modifiée par P. Courtaud, H. Duday et M. Guillon)	101
Annexe 3.3 : Fiche de conservation pour sujets périnataux (D’après T.S. Constandse et C. Meikeljohn, modifiée par A.-M. Tillier et H. Duday).....	102
Annexe 3.4 : Fiche de conservation utilisée pour les réductions (Élaborée pour la nécropole de Bordeneuve par D. Bonnissant (INRAP) ; modifiée par P. Courtaud (LAPP- PACEA) Bordeaux 2004).....	103
Annexe 3.5 : Fiche de conservation pour sépultures plurielles, page 1 : bloc crânio-facial, mandibule et dents	104
Annexe 3.6 : Fiche de conservation pour sépultures plurielles, page 2 : rachis, ceinture scapulaire et os longs du membre supérieur.....	105
Annexe 3.7 : Fiche de conservation pour sépultures plurielles, page 3 : ceinture pelvienne et os longs du membre inférieur.....	106
Annexe 3.8 : Fiche de conservation pour sépultures plurielles, page 4 : os des extrémités et estimation du NMI de fréquence.....	107
Annexe 3.9 : Tell Qaramel ; fiches de conservation des individus de l’horizon H3 (11-03) et H4 (2-07).....	108
Annexe 3.10 : Tell Qaramel ; fiches de conservation des individus de l’horizon H4 (3-07 et 6-07)	109
Annexe 3.11 : Cheikh Hassan ; fiche de conservation de l’individu T4	110
Annexe 3.12 : Cheikh Hassan ; fiches de conservation des individus T7 et T8111	
Annexe 3.13 : Dja’de el-Mughara ; fiche de conservation de l’individu 661 (DJ I).....	112
Annexe 3.14 : Dja’de el-Mughara ; fiches de conservation des individus 365 et 413 (DJ II)	113
Annexe 3.15 : Dja’de el-Mughara ; fiches de conservation des individus 283-D et 278 (DJ II).....	114

Annexe 3.16 : Dja'de el-Mughara ; fiches de conservation des individus 245 et 246 (DJ III)	115
Annexe 3.17 : Tell Aswad ; fiches de conservation des individus Aswad Est adulte et immature (ASW IA) et provenance des ossements	116
Annexe 3.18 : Tell Aswad ; fiche de conservation de l'individu Aswad Ouest (ASW II)	117
Annexe 3.19 : Abu Hureyra ; fiches de conservation des individus 73-2255 et 73-2402 (AH 2A)	118
Annexe 3.20 : Abu Hureyra ; fiches de conservation des individus 73-2168 et 73-2172 (AH 2A)	119
Annexe 3.21 : Abu Hureyra ; fiches de conservation des individus 73-1044 et 73-541 (AH 2A)	120
Annexe 3.22 : Abu Hureyra ; fiche de conservation de l'individu 73-2771 (AH 2B)	121
Annexe 3.23 : Abu Hureyra ; fiches de conservation des individus 73-2951 et 73-2952 (AH 2B)	122
Annexe 3.24 : Abu Hureyra ; fiches de conservation des individus 73-2950 et 73-2398 (AH 2B)	123
Annexe 3.25 : Abu Hureyra ; fiche de conservation de l'individu 73-2396 (AH 2B)	124
Annexe 3.26 : Abu Hureyra ; fiches de conservation des individus 73-810 et 73-1782 (AH 2C)	125
Annexe 3.27 : Tell Mureybet ; fiches de conservation des individus « sépulture 1 » et « dépôt 2 » (MB IIIB).....	126
Annexe 3.28 : Tell Mureybet ; fiche de conservation de l'individu « sépulture 3 » (MB IIIB)	127
Annexe 3.29 : Tell Mureybet ; fiches de conservation des individus « crâne 1 » et « crâne 2 » (MB IVB)	128
Annexe 3.30 : Tell Mureybet ; fiches de conservation des individus « crâne 3 » et « crâne 6 » (MB IVB)	129

ANNEXES 4 PLANS	130
Annexe 4.1: Tell Qaramel : plan du site et carrés ouverts à la fouille entre 1999 et 2007 (d'après Mazurowski 2006, p. 484 et Mazurowski & Kanjou 2012, p. 147)	131
Annexe 4.2 : Cheikh Hassan : plan du tell et emplacement des sondages réalisés par J. Cauvin en 1976 (DAO B. Chamel d'après mission Cheikh Hassan 1976)..	132
Annexe 4.3: Dja'de el-Mughara : plan du tell et emplacement des différents secteurs en 2008 (d'après DAO G. Devilder)	133
Annexe 4.4 : Tell Aswad : plan topographique (Contenson 1995, p. 16).....	134
Annexe 4.5: Abu Hureyra : plan du tell et des différentes tranchées ouvertes à la fouille en 1972 et 1973 (Moore <i>et al.</i> 2000, p. 34).....	135
Annexe 4.6 : Tell Mureybet : plan du tell et emplacement des fouilles (d'après J. Cauvin 1977, p. 20).....	136
Annexe 4.7: Plan du complexe « Tell el-Kerkh » avec emplacement des trois sites et des différentes fouilles et sondages (d'après Tsuneki & Hydar 2007, p. 7)	137
Annexe 4.8 : Tell Ain el-Kerkh : plan du cimetière (fouilles 2007-2010) de la période 2c (Tsuneki 2011, p. 87)	138
Annexe 4.9 : Tell Ain el-Kerkh : plan détaillé des dépôts du carré E 271 (fouillé en 2002, 2007 et 2008 ; Tsuneki 2009)	139

ANNEXES 1

CARTES



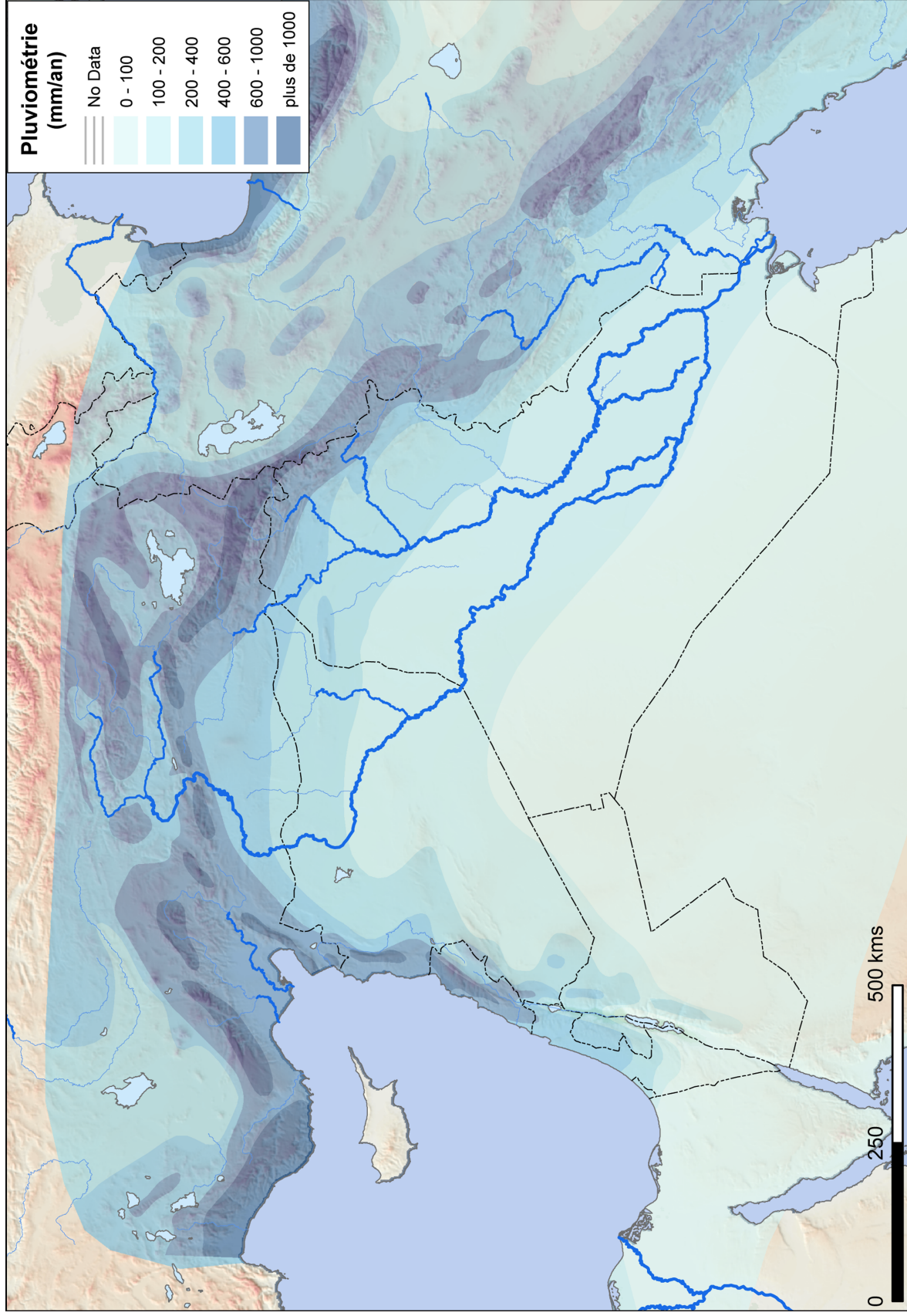
Légende milieux

- Domaine méditerranéen
 - Plaines côtières
 - Collines et basses montagnes
- Domaine montagnoux
 - Montagnes occidentales, arrosées et boisées
 - Taurus septentrional et chaînes anatoliennes, zones de transition ; plaines intérieures
 - Taurus septentrional et chaînes anatoliennes, zones de transition
 - Montagnes plus sèches du Taurus oriental et du Zagros occidental (Kurdistan notamment)
 - Chaînes orientales et du Zagros, plus sèches encore et plus continentales ; vallées et bassins intérieurs
 - Chaînes orientales et du Zagros, plus sèches encore et plus continentales
 - Chaîne de l'Elbourz, très humide et et fortement boisé ; flanc nord de l'Elbourz
 - Chaînons de la zone steppique syrienne : sinjar, anti-Liban, Palmyrène
- Plaines et plateaux steppiques à céréaliculture sèche
 - Collines et avant-monts accompagnant le pied de l'arc montagneux constitué par les chaînes levantines, le Taurus, le Zagros, ainsi que les vallées du Zagros occidental
 - Plateaux syro-irakiens, domaine de la céréaliculture ; Jéziré, fossé du Jourdain, Judée, plaine littorale méridionale de la Palestine
 - Anatolie centrale
 - Turkestan
- Domaine pré-désertique
 - Marge interne du croissant fertile
 - Cuvette du Tuz Gölü, au centre de l'Anatolie
 - Piedmont du sud-ouest du Zagros
- Domaine subdésertique accentué
 - Désert syrien
 - Côte arabe du Golfe persique
 - Plaines alluviales de Mésopotamie et du Khouïstian
- Désert accentué

Annexe 1.1 : Carte des différents domaines biogéographiques du Proche-Orient (DAO ASPRO MOM, d'après les travaux de P. Sanlaville in Hours et al. 1994, fig. 5)



Annexe 1.2 : Carte des sites étudiés (d'après DAO MOM)



Annexe 1.3 : Carte de répartition des précipitations annuelles moyennes au Proche-Orient (DAO ASPRO MOM, d'après Hours et al. 1994, fig. 4)



Annexe 1.4 : Carte des principaux sites Natoufiens au Proche-Orient (13000/12800-10300 BP)



Annexe 1.5 : Carte des principaux sites khiamiens et PPNA au Proche-Orient (10000 – 8700 av. J.-C.)



Annexe 1.6 : Carte des principaux sites PPNB ancien au Proche-Orient (8700 – 8200 av. J.-C.)



Annexe 1.7 : Carte des principaux sites PPNB moyen au Proche-Orient (8200 – 7500 av. J.-C.)



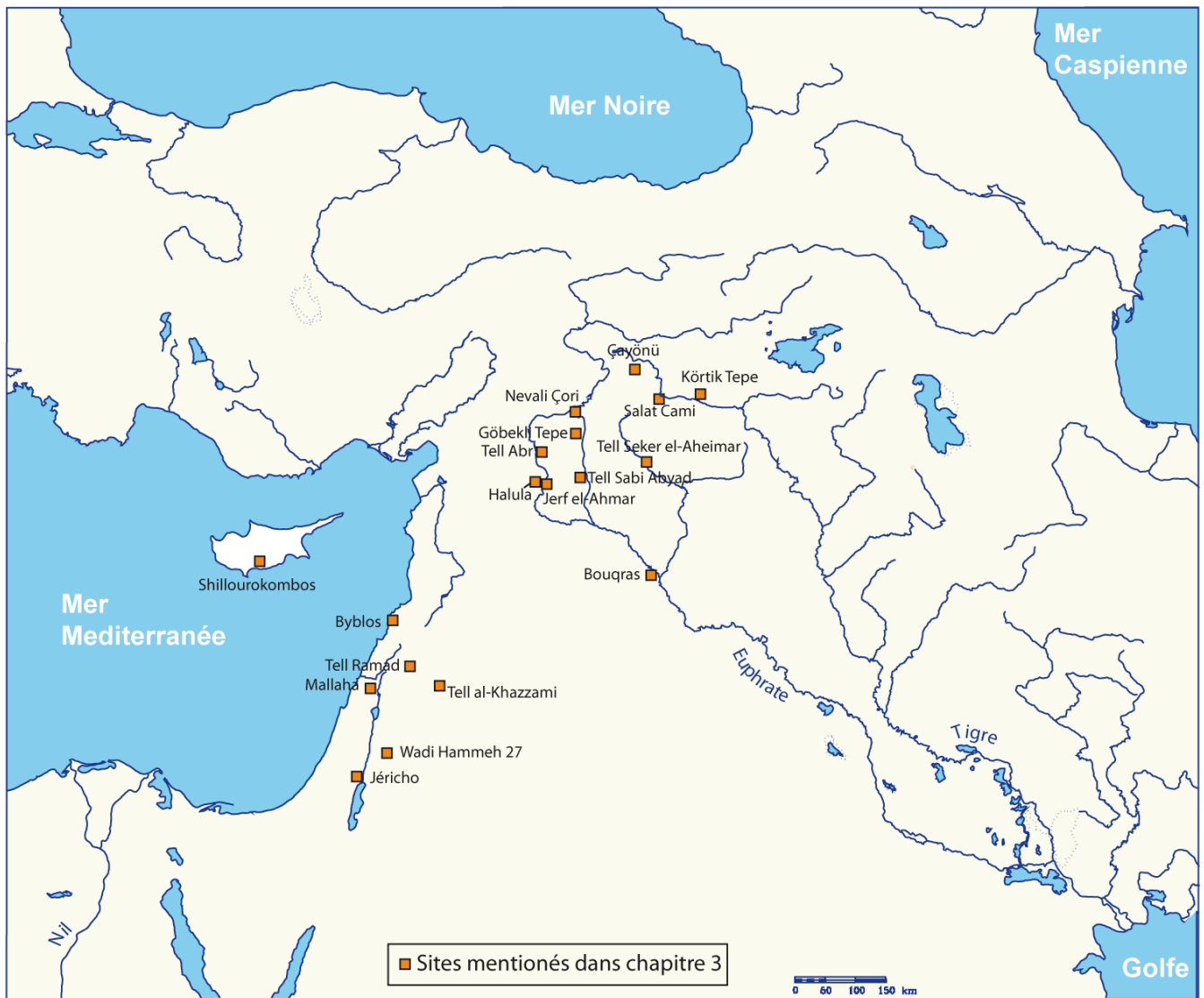
Annexe 1.8 : Carte des principaux sites PPNB récent au Proche-Orient (7500 – 7000 av. J.-C.)



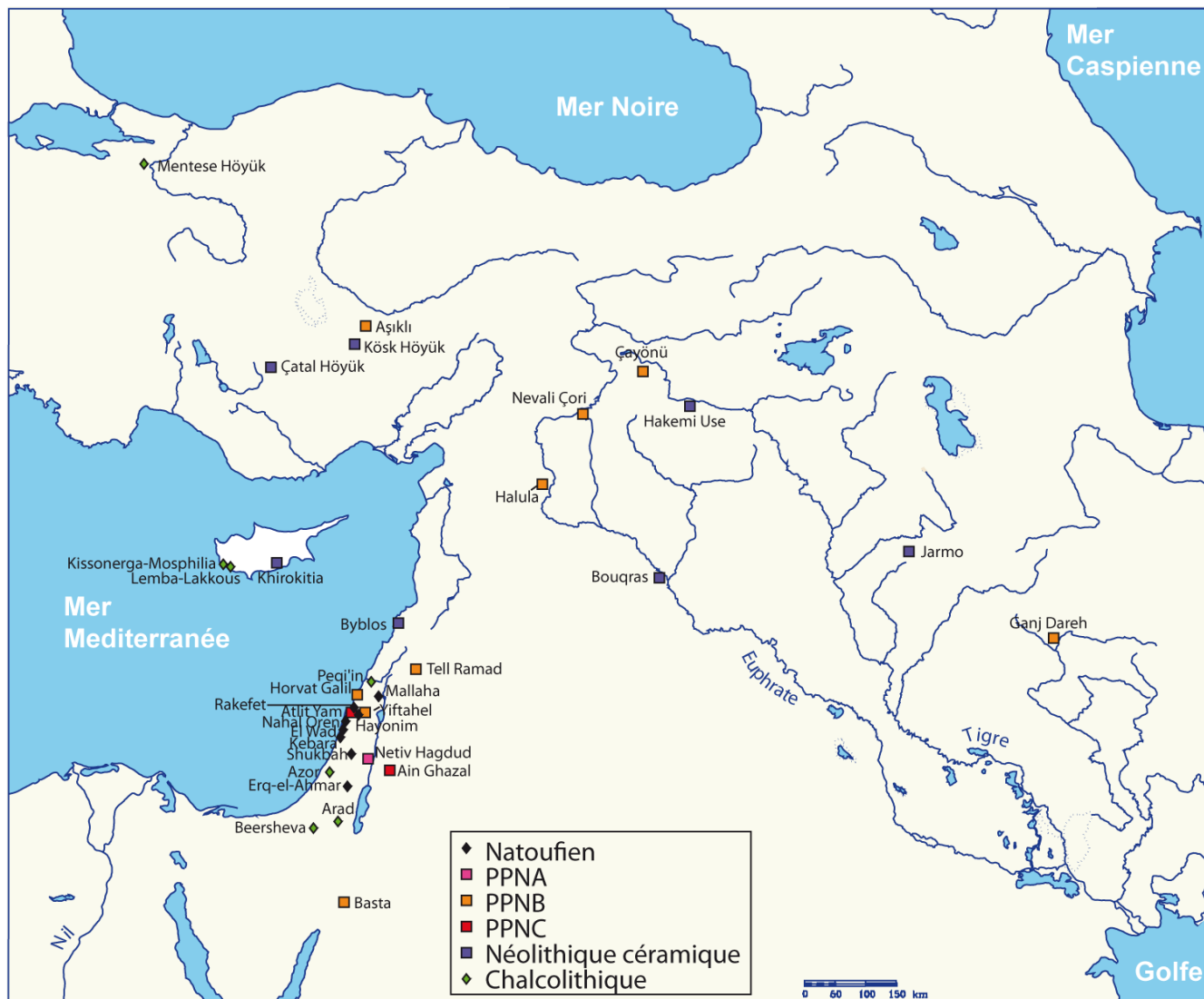
Annexe 1.9 : Carte des principaux sites PPNB final et PPNC au Proche-Orient (7000 av. J.-C.)



Annexe 1.10 : Carte des principaux sites du Néolithique céramique au Proche-Orient



Annexe 1.11 : Carte des sites mentionnés dans le chapitre 3

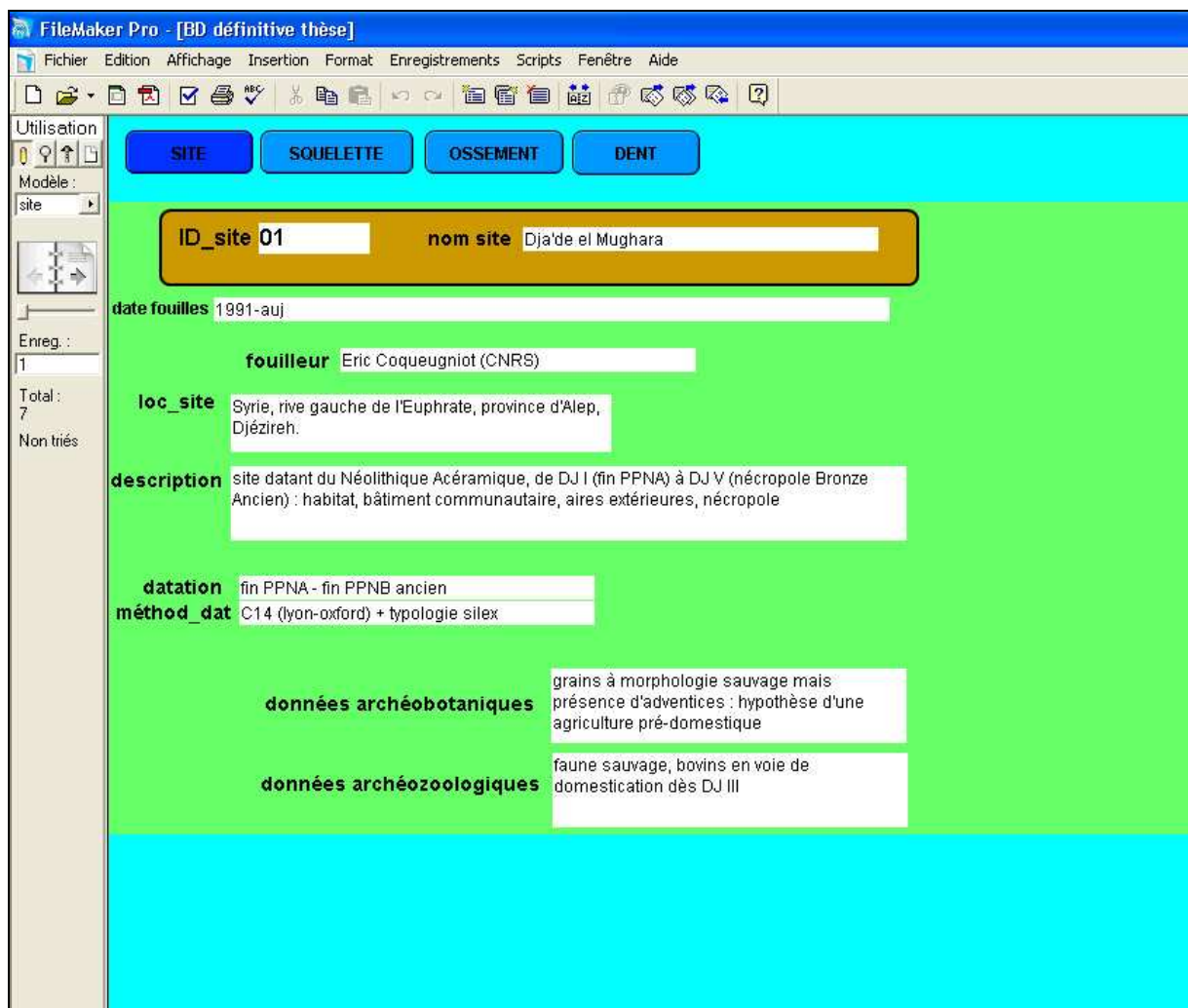


Annexe 1.12 : Carte des sites utilisés pour les comparaisons dans le chapitre 5

ANNEXES 2
TABLES ET FIGURES

BOITE	CONTENU	RÉATTRIBUTION	NIVEAU	PHASE	COUCHE	FOSSE	REMARQUES
Aswad Est- 4m20-4m44 - Enfant et Nouveau-né	os enfant	Aswad Est	I	IA	IA1 4,45- 4,20 m	fosse 1	
	dents et os adulte	Aswad Est	I	IA	IA1 4,45- 4,20 m	fosse 1	
B5 Aswad Est 1972 (2)	os enfant	Aswad Est	I	IA	IA1 4,45- 4,20 m	fosse 1	
	os adulte	Indet Est/Ouest	Indet	Indet	Indet	Indet	
CAK 73 crâne 803 ou 3 - B4 loc 548-803 Aswad 1971	os adulte	Aswad Est	I	IA	IA1 4,45- 4,20 m	fosse 1	os décrits par J.Cièrè
	os enfant	Aswad Est	I	IA	IA1 4,45- 4,20 m	fosse 1	
Aswad Est 1972 - fosse 4,25- 4,50m Homo 2	os adulte	Aswad Est	I	IA	IA1 4,45- 4,20 m	fosse 1	
	os crâne	Indet Est/Ouest	Indet	Indet	Indet	Indet	
Aswad Est 1972 (3)	os infra- crânien	Aswad Est	I	IA	IA1 4,45- 4,20 m	fosse 1	
	toute la boîte	Aswad Ouest	II	X	II1 3,4- 1,9 m	fosse 1	erreur sur la boîte
sans indications "Amora"	toute la boîte	Aswad Ouest sépulture collective	II	X	II1 3,4- 1,9 m	fosse 1	
	os enfants	Aswad Ouest sépulture collective	II	X	II1 3,4- 1,9 m	fosse 1	
B3 Aswad West débitage Aswad (c) 1971 Homo	toute la boîte	Aswad Ouest sépulture collective	II	X	II1 3,4- 1,9 m	fosse 1	
	toute la boîte	Aswad Ouest sépulture collective	II	X	II1 3,4- 1,9 m	fosse 1	
Dents "La Poste"	toute la boîte	Aswad Ouest sépulture collective	II	X	II1 3,4- 1,9 m	fosse 1	
	toute la boîte	Aswad Ouest sépulture collective	II	X	II1 3,4- 1,9 m	fosse 1	
Aswad West débitage	toute la boîte	Aswad Ouest sépulture collective	II	X	II1 3,4- 1,9 m	fosse 1	
	toute la boîte	Aswad Ouest sépulture collective	II	X	II1 3,4- 1,9 m	fosse 1	
Aswad 1971 Homo c	toute la boîte	Aswad Ouest sépulture collective	II	X	II1 3,4- 1,9 m	fosse 1	

Annexe 2.1 : Tell Aswad : travail de réattribution des restes humains sans étiquettes (Fouilles H. de Contenson)



Annexe 2.2 : Table « site » de la base de données Filemaker ; exemple du site de Dja'de el-Mughara

FileMaker Pro - [BD définitive thèse]

Fichier Edition Affichage Insertion Format Enregistrements Scripts Fenêtre Aide

Utilisation

Modèle : squelette

Enreg.: 1

Trouvés : 1

Total : 343

Non triés

SITE SQUELETTE OSSEMENT DENT

PHOTO SQUELETTE

FICHE CONSERVATION

ID_site 04 ID_squelette 04.0139

n_squelette 0139 nom site Tell Qaramel

date etude about 2010 n_sep 6-07 nom-sq

pos_strati carré M-4c Str III level 2 precision_sq T5-07-15

date_fouil_sq 2007 NMI 1

age adulte mature age 2 age 3 age 4 age 5 age 6

sexe féminin masculin indéterminé meth_sexe aucune meth_age soudure crête illiaque

remarques peut-être sp P. perturbée ? on voit pas très bien sur la photo

type_sp primaire présence dents 1

précisions_sp indéterminée présence crâne 0

position_sq indet présence ROD 0

etat_conserv bon moyen mauvais présence infracrânién 1

présence os longs 1

datation_absolue 9310-8780 cal. BC

période PPNA final

datation_site H4

Annexe 2.3 : Table « squelette » de la base de données Filemaker ; exemple du site de Tell Qaramel

The screenshot shows the FileMaker Pro interface for a database named 'BD définitive thèse'. The main window displays a form for the 'ossement' table. The form is organized into several sections with labels on the left and input fields on the right. A central orange box highlights the primary key fields: ID_site (05), ID_squelette (05.0337sc), and n_squelette (0337sc). Other fields include nom site (Cheikh Hassan), n_os (02193), nom os (pariétal), lateralisation (radio buttons for droit, gauche, inconnu, aucune), type fragment (partie postérieure), etat_os (radio buttons for entier, fragmenté, très fragmenté), type_modif (Hyperostose Poréuse), stade_modif (Moyen), mesure_modif (8,5 mm au point le plus épais), remarques (porosité bien visible vers la suture), and caractere_discret. A 'PHOTO OS' button is located above the main form area. The bottom status bar shows 'Enreg.: 2193', 'Total: 2193', and 'Non triés'.

Annexe 2.4 : Table « ossement » de la base de données Filemaker ; exemple du site de Cheikh Hassan

FileMaker Pro - [BD définitive these]

Fichier Edition Affichage Insertion Format Enregistrements Scripts Fenêtre Aide

Utilisation
Module: dent

Enreg.: 457
Total: 4185
Non triés

SITE OSSEMENT DENT PHOTO DENT

ID_site 03 ID_squelette 03.0067 ID_dent 03.0067.D00458 nom site Tell Ain El Kerkh

n_squelette 0067 n_dent D00458

type dent lml sup lateralisation droit gauche Inconnu N° inventaire

situation EO nbre_racine 3 mesure_MD 9,7 mesure_VL 11,6

CARIE
 presence_carie 1
 face_carie M
 loc_carie Impr
 stade_carie 2
 dim_MD_carie 3,6
 dim_haut_carie 2,9
 dim_VL_carie 3,1

TARTRE
 presence_tartre 0
 face_tartre V-D
 loc_tartre Cc
 intensite_tartre T3

USURE
 intensite_usure 4
 dir_usure 2
 aspect_usure 3

PARODONTOSE
 presence_paro X
 intensite_paro X
 hauteur_paro X

KYSTE
 presence_kyste X
 loc_kyste X
 dim_haut_kyste X
 dim_MD_kyste X

HYPOPLASIES
 face_hypo X
 type_hypo X
 nbre_hypo X
 intensite_hypo X
 haut_bc_hypo X
 haut_mc1_hypo X
 haut_mc2_hypo X
 haut_hc_hypo X

études pour activités paramasticarices oui non

type activite sillons collet stries verticales sillons occlusaux aucune

remarques

âge dent

ref âge dent

datation_absolue 6200-6800 cal. BC

période Néolithique Céramique Moyen

datation_site 2c

Annexe 2.5 : Table « dent » de la base de données Filemaker ; exemple du site de Tell Ain el-Kerkh

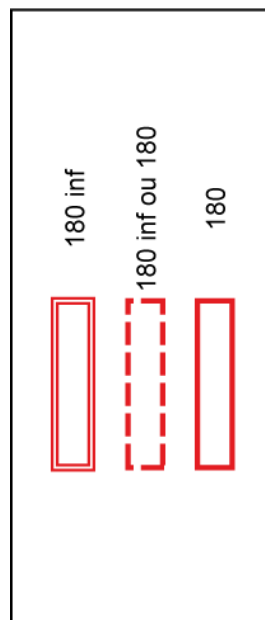
N° relevé	date du relevé	ensemble DJ terrain mentionné sur relevé	localisation dans structure	n° de locus	nom couche	localisation dans plan de structure	figures associées	description	altitudes relevées
10/10	02/10/2000	ensemble DJ00-51 membres inférieurs et coxaux	282	v0	non	oui	figures 86 et 87	membres inférieurs en connexion	499 à 487
8/10	01/10/2000	vertèbres en connexion DJ00-63	282	v0	F9h1	non	aucune	vertèbres thoraciques	aucune
7/10	01/10/2000	DJ00-63 côtes ; humérus ; scapula sur DJ00-51	282	v-w0	F9h1	oui	figures 86 et 87	ensemble côtes, humérus et scapula sur ensemble membres inférieurs et coxaux	487 sur côtes
6/10	25/09/2000	DJ00-55	282	w0	F9h1	oui	figure 86	ensemble radius-ulna et carpe	481 à 490
5/10	24/09/2000	ensemble d'ossements épars	282	v-w0	F9h1	non	aucune	humérus, scapula, radius-ulna	475 à 487
4/10	septembre 2000	cranes L, M, crâne bébé DJ00-44, mandibule DJ00-35, membres inférieurs	aucune, mais probablement dans 282	v-w0	F9h1	oui	figures 88 et 89	crânes L et M, membres inférieurs + coxal en connexion d'immature, plusieurs ensembles de membres inférieurs	472 sur crâne L, 476-472 sur crâne M, 473 sur mandibule DJ00-35, 467 sur humérus au nord

base dépôt

N° relevé	date du relevé	ensemble DJ terrain mentionné sur relevé	localisation dans structure	n° de locus	nom couche	localisation dans plan de structure	figures associées	description	altitudes relevées
3/10	aucune	sq K	aucune	w0	F9h1	oui	figure 90	crane K et quelques os indéterminés	aucune
2/10	18/09/2000	crâne K et radius/ulna sq G	aucune	w0	F9h1	oui	figure 90	crâne K, quelques os longs, radius et ulna du squelette G	aucune
1/10	18/09/2000	DJ00-4	contre mur ouest de 222	v0	non	oui	figure 90	avant-bras et métacarpes	aucune
8b	25/06/1999	?	aucune	w0-1	F9h1	non	aucune	aucune	aucune
8a	25/06/1999	sq G, crânes I et J	aucune	w0-1	F9h1	non	aucune	membres supérieurs de G, crânes I et J	aucune
7c	23/06/1999	sq H + os indéterminés	aucune	v0-1	F9h1	oui	figures 91 et 92	ensemble membres inférieurs, coxal ; crâne, humérus et scapula de sq H	474 à 461
7b	22/06/1999	crânes G et F, membres supérieurs G	aucune	w0	F9h1	oui	figures 91 et 92	crânes G et F, membres supérieurs G	472 à 453
7a	21/06/1999	sq E et G	aucune	w0-1	F9h1	oui	figures 91 et 92	sq E et G	475 à 456

N° relevé	date du relevé	ensemble DJ terrain mentionné sur relevé	localisation dans structure	n° de locus	nom couche	localisation dans plan de structure	figures associées	description	altitudes relevées
6	10/06/1999	membres inférieurs C	"dans st 222"	v-w1	non	oui	figures 91 et 93	membres inférieurs de C	aucune
5b	04/06/1999	squelette E	aucune	w0-1	F9h1	oui	figures 91 et 92	thorax et membre supérieur sq E	aucune
5a	04/06/1999	sq B et C	aucune	v-w1	F9h1	oui	figures 91 et 93	sq B et C	477 à 458
4a	28/05/1999	sq B et C	aucune	v0-1	F9h1	oui	figures 91 et 93	sq B et C	aucune
3	25/05/1999	crâne D1	aucune	v1	F9b	non	aucune	BCF et mandibule D1, vertèbres et côtes	433 à 451
2	25/05/1999	crânes B1, D1, C et thorax A1	aucune	v0-1	F9	oui	figure 95	haut du crâne C, thorax de A1, haut du crâne D1, crâne B1, ensemble tibia-fibula	446-449
1	23/05/1999	squelette A1	aucune	v0-1	non	oui	figure 96 et 98	crâne et thorax A1, pied DJ99-12	aucune

N° relevé	date du relevé	ensemble DJ terrain mentionné sur relevé	localisation dans structure	n° de locus	nom couche	localisation dans plan de structure	figures associées	description	altitudes relevées
4	21/10/1997	crânes K, E et I	aucune	v1	F9	oui	figure 97 et 98	crâne K=A1, crâne E, crâne I	438 à 449
3	19/10/1997	crânes E, F, G et J	entre mur g1 et g2 de la structure 155	w1	F9b	oui	figure 99	crânes E, F, G et J, humérus et scapula DJ97-17 et 97-18	436 à 441
2	19/10/1997	crânes E, F, G et H	entre mur g1 et g2 de la structure 155	v-w1	F9b	oui	figure 99	crânes E, F, G et H, ensemble d'os long DJ97-6 et 97-7	434 à 443
1a	16/10/1997	crânes A, B, C et D	dans st. 155	v0-1	F9b	oui	figure 99	crânes A + cervicales, B, C et D	430 à 445



Annexe 2.6 : Dja'de el-Mughara ; liste des relevés de la sépulture 180 inférieure/180 et informations relatives aux dépôts

N° relevé	date du relevé	ensemble DJ terrain mentionné sur relevé	localisation dans structure	n° de locus	nom couche	localisation dans plan de structure	figures associées	altitudes relevées
8	21/10/1996	os sq R et os sous crâne P	st 28	xy01	F2d	oui	fig. 107	400 à 383
7	20/10/1996	crâne P, os sq R, os appartenant probablement à P	st 28	xy01	F2d	oui	fig. 107, 110 et 111	393 à 379
6	16/10/1996	squelette N, crâne P, infra-crânien indet	st 28	non	F2d	oui	fig. 107, 110 et 111	389 à 378
5b	13/10/1996	crânes N, O, squelette Q/S	st 28	xy1	F2d	oui	fig. 107, 110 et 113	389 à 377
5a	10/10/1996	crânes K, L, M, R, membres inf DJ96-90 et DJ96-110	st 28	xy01	F2d	oui	fig. 107, 110, 111 et 113	401 à 373
4	08/10/1996	crânes N, O, os sq S	st 28	xy1	F2d	oui	fig. 113	389 à 371
3	08/10/1996	crâne K, M et L, membre inf sq C et membres inf DJ96-90 et DJ96-110	st 28	xy1	F2d	oui	fig. 113	aucune
2	06/10/1996	crânes N et O, os sq S, membre inf C	st 28	xy1	F2d	oui	fig. 113	378 à 371
1	05/10/1996	crânes O et K, membres inférieurs C	st 28	y1	F2d	oui	fig. 113	373 à 357
DJ96-1	30/09/1996	squelette I	st 28	y01	F2d	oui	fig. 114	356 à 337
phase IV n°5	aucune	squelettes C, I et B	st 28	xy1	F2d	oui	fig. 114 et 117	358 à 345
phase III n°5	aucune	coxa I H39 et membre inférieur droit de I	st 28	xy01	F2d	oui	fig. 114 et 117	347 à 333
phase II n°4	aucune	membres supérieurs de A, crâne de C	st 28	xy01	F2d	oui	fig. 114 et 117	353 à 332

base
sépulture

N° relevé	date du relevé	ensemble DJ terrain mentionné sur relevé	localisation dans structure	n° de locus	nom couche	localisation dans plan de structure	figures associées	altitudes relevées
phase I- II n°3	aucune	membres inférieurs squelette A, ensemble F	st 28	x1	F2d	oui	fig. 117	359 à 338,4
phase I n°2	aucune	thorax de A, crâne D	st 28	x01	F2d	oui	fig. 117	345 à 337
phase I n°1	aucune	squelettes A, B et membre inférieur gauche de I	st 28	xy01	F2d	oui	fig. 114	353 à 332
								haut sépulture

Annexe 2.7 : Dja'de el-Mughara ; liste des relevés de la sépulture 108 et informations relatives aux dépôts

N° Structure	âge	niveau	position du corps	remarques	objets associés	références
502	2 ans	4 et 5	position fléchie sur le côté gauche			Tsuneki & Hydar 2008
521	adulte	4 et 5	position fléchie sur le côté gauche			Tsuneki & Hydar 2008
524	adulte	4 et 5	position fléchie sur le côté gauche			Tsuneki & Hydar 2008
533	adulte	4 et 5	sur le ventre			Tsuneki & Hydar 2008
711	10,5-15,5 ans (tab. 114)	4 et 5	position fléchie sur le côté droit	pas de crâne mais mandibule et maxillaire présents		Tsuneki (Dir.) 2007
712	adulte + de 30 ans (tab. 114)	4 et 5	position hypercontractée sur le côté droit	face vers le sol, torsion du crâne ?	2 lames de silex	Tsuneki (Dir.) 2007
713	10-12,5 ans (tab. 114)	4 et 5	position hypercontractée sur le côté gauche			Tsuneki (Dir.) 2007
714	adulte + de 18 ans (tab. 114)	4 et 5	position fléchie sur le côté gauche	pas de crâne	2 perles en coquillage	Tsuneki (Dir.) 2007
715	adulte (tab. 114)	4 et 5	position fléchie sur le côté droit, membres supérieurs fléchis ramenés devant le crâne		perle en coquillage, lame de silex et bol en calcaire	Tsuneki 2010
716	adulte (tab. 114)	4 et 5	position fléchie sur le côté gauche, membre supérieur gauche sous le crâne	situé au sommet de la concentration C-1 ; crâne repose sur une pierre		Tsuneki 2010
725	adulte (tab. 114)	4 et 5	position fléchie sur le dos, membres inférieurs rabattus sur la gauche	main droite sur coude gauche		Tsuneki 2010
726	8 mois - 1,5 an (tab. 114)	4 et 5	position fléchie sur le côté droit			Tsuneki 2010

N° Structure	âge	niveau	position du corps	remarques	objets associés	références
729	adulte (tab. 114)	4 et 5	position fléchie sur le dos, membres inférieurs ramenés vers l'abdomen		sceau en serpentinite	Tsuneki 2010
730	3-4 ans	4 et 5	inconnue			Tsuneki (Dir.) 2007
738	0-1 an (tab. 114)	4 et 5	position fléchie sur le côté droit	partie supérieure du corps seulement ; primaire perturbée		Tsuneki (Dir.) 2007
739	homme + de 30 ans (tab. 114)	4 et 5	position fléchie sur le côté droit, main droite sous le crâne	crâne en flexion forcée vers les cervicales	7 perles provenant d'un collier	Tsuneki 2010
748	homme 30-59 ans (tab. 114)	4 et 5	sur le ventre	restes d'un individu immature près du membre supérieur gauche		Tsuneki 2010
750	4-6 ans (tab. 114)	4 et 5	position fléchie sur le dos, membres inférieurs ramenés vers l'abdomen	pas de crâne		Tsuneki (Dir.) 2007
751	1-4 ans (tab. 114)	4 et 5	inconnue	dans C-2, sous rangée de pierre, sépulture perturbée	sceau en pierre, 2 perles	Tsuneki 2010
752	adulte (tab. 114)	4 et 5	position fléchie sur le côté droit	pas de crâne		Tsuneki (Dir.) 2007
757	7-9 ans (tab. 114)	4 et 5	position fléchie sur le côté droit, membres inférieurs ramenés vers l'abdomen		poinçon en os	Tsuneki 2010
803	adulte (tab. 114)	6 et 7	position fléchie sur le côté droit		2 perles	Tsuneki (Dir.) 2008
807	adulte (tab. 114)	6 et 7	position fléchie sur le dos, membres inférieurs rabattus sur la gauche	grosse pierre placée sur ses membres inférieurs	perle et perçoir en silex	Tsuneki (Dir.) 2008
810	10-14 (tab. 114)	indet	inconnue			aucune
822	14-15 ans (tab. 114)	6 et 7	inconnue	sépulture primaire perturbée		Tsuneki (Dir.) 2008
823	14-16 ans (tab. 114)	6 et 7	position fléchie sur le côté gauche		fragment de perle, aiguille à chas	Tsuneki (Dir.) 2008
826	14-15 ans (tab. 114)	6 et 7	position fléchie sur le côté gauche			Tsuneki (Dir.) 2008

N° Structure	âge	niveau	position du corps	remarques	objets associés	références
828	périnatal	6 et 7	position fléchie sur le côté droit			Tsuneki (Dir.) 2008
829	2,5-3,5 ans (tab. 114)	6 et 7	position fléchie sur le côté gauche	avec 830 et 836		Tsuneki (Dir.) 2008
830	adulte (tab. 114)	6 et 7	position fléchie sur le côté droit, mains devant le crâne	enterré dos à dos avec 829	perle	Tsuneki (Dir.) 2008
834	4-5 ans (tab. 114)	6 et 7	position fléchie sur le côté gauche			Tsuneki (Dir.) 2008
836	adulte (tab. 114)	6 et 7	position fléchie sur le côté gauche, main droite sur membre supérieur gauche	avec 829 et 830	coquillage	Tsuneki (Dir.) 2008
838	périnatal (tab. 114)	6 et 7	position fléchie sur le côté gauche			Tsuneki (Dir.) 2008
841	périnatal (tab. 114)	6 et 7	position fléchie sur le dos ou le côté gauche	au-dessus de la concentration 8		Tsuneki (Dir.) 2008
901	périnatal	5 et 6	position fléchie			Tsuneki & Hydar 2011
902	immature	5 et 6	position fléchie			Tsuneki & Hydar 2011
904	adulte	5 et 6	position fléchie			Tsuneki & Hydar 2011
909	adulte	5 et 6	position hypercontractée côté gauche		sceau en pierre	Tsuneki & Hydar 2011
911	périnatal	5 et 6	position fléchie			Tsuneki & Hydar 2011
912	immature	5 et 6	position fléchie			Tsuneki & Hydar 2011
913	1-1,5 ans	5 et 6	position fléchie sur le ventre	situé sous dépôts 904 et 912	20 perles en agate, papillon, en pierre	Tsuneki & Hydar 2011
914	3-4 ans	5 et 6	position fléchie		8 perles agate et serpentinite	Tsuneki & Hydar 2011

N° Structure	âge	niveau	position du corps	remarques	objets associés	références
918	4-6 mois	5				Tsuneki & Hydar 2011
921	adulte	5 et 6	position fléchie			Tsuneki & Hydar 2011
922	adulte	5 et 6	position fléchie			Tsuneki & Hydar 2011
925	fœtus	5				Tsuneki & Hydar 2011
926	adulte	5	position hypercontractée sur le côté droit	pas de crâne mais mandibule présente	7 perles en coquillage, os, pierre	Tsuneki & Hydar 2011
927	adultes et 2 immatures	5	adulte position fléchie, côté droit ; ind 4-5 ans crâne repose contre le dos de l'adulte	sépulture triple ; 3ème ind (fœtus) représenté par mandibule vers abdomen adulte	bol DFBW et 6 perles	Tsuneki & Hydar 2011
933	perinatal	5 et 6	position fléchie sur le côté droit		bol DFBW	Tsuneki & Hydar 2011
941	femme 20-49 ans (tab. 114)	indet	inconnue			aucune
946	0-2 mois (tab. 114)	indet	inconnue			aucune
977	périnatal (tab. 114)	indet	inconnue			aucune

Annexe 2.8 : Tell Ain el-Kerkh, sépultures primaires provenant de la zone du cimetière (individus découverts lors des campagnes 2002, 2007, 2008 et 2009)

Sépulture	Individu	Dent	Latéralisation	Face hypoplasie	Nombre hypoplasies	Intensité hypoplasie	Hauteur ligne basse-collet	âge	Hauteur ligne moyenne 1-collet	âge	Hauteur ligne haute-collet	âge
6-07		C	inconnu	V	1	Moy	1,1	indet				
6-07		P1 sup	inconnu	Tr	1	Leg	0,6	5,78				
5-07	ind 1	C inf	gauche	V	2	Moy	1,4	5,92			2,7	5,38
5-07	ind 2	C sup	droit	Tr	1	Moy	2,7	4,83				
5-07	ind 2	P1 inf	gauche	Tr	1	Moy	1,3	5,38				
8-07	ind 1	P1 sup	droit	Tr	1	Moy	1,3	5,51				
8-07	ind 2	P2 inf	gauche	Tr	1	Leg	1,2	6,42				
8-07	ind 2	P1 inf	gauche	Tr	1	Leg	1,9	5,09				
8-07	ind 2	P1 sup	droit	Tr	1	Leg	1,6	5,40				
8-07	ind 2	C sup	droit	Tr	2	Moy	0,8	5,65			2,2	5,05
8-07	ind 2	C inf	gauche	Tr	3	Moy	1,4	5,92	2,4	5,50	3,7	4,96
10-09		P2 inf	gauche	V	1	Leg	1	6,51				
10-09		P1 inf	gauche	V	2	Leg	1	5,52			2,3	4,90

Annexe 2.9 : Tell Qaramel, tableau de données brutes pour le calcul de l'âge de formation des hypoplasies

Sépulture	Individu	Dent	Latéralisation	Face hypo	Nombre hypo	Intensité hypo	Hauteur ligne basse-collet	âge	Hauteur ligne moyenne 1-collet	âge	Hauteur ligne moyenne 2-collet	Hauteur ligne haute-collet	âge
T2	ind 1	P1 sup	gauche	Tr	1	Leg	1,9	5,29					
T2	ind 1	P2 inf	droit	Tr	1	Moy	2,5	5,78					
T4		C inf	droit	V	3	Moy	1,4	5,92	2,3	5,54		3	5,25
T4		C inf	gauche	V	X	X	X		X			X	
T4		M2 inf	droit	V	1	Leg	1	6,57					
T4		M3 inf	droit	V	2	Leg	0,7	X				1,3	X
T4		M3 inf	gauche	Tr	1	Moy	1,5	X				1,3	X
T4		P2 inf	gauche	Tr	1	Moy	1	6,51					
T4		M2 inf	gauche	V	1	Leg	1,2	6,48					
T6		C sup	gauche	Tr	2	Moy	1,6	5,31				3	4,70
T6		C sup	droit	Tr	1	Moy	2,8	4,78					
T6		P1 sup	droit	Tr	1	Moy							
T6		P1 sup	gauche	Tr	1	Moy							
T6		C inf	droit	V	2	Moy							
T6		C inf	gauche	V	2	Moy							
T6		I1 sup	droit	V	1	Moy	3	3,56					
T6		I1 sup	gauche	V	1	Moy	3,1	3,53					
T6		I2 inf	gauche	V	2	Moy	2,2	3,29				4,1	2,68
T6		I2 inf	droit	V	2	Moy							
T7		C sup	gauche	Tr	1	Moy	2,7	4,83					
T7		C sup	droit	Tr	1	Moy	2,6	4,87					
T7		C inf	gauche	V	1	Leg	3,4	5,09					
T7		I1 inf	droit	V	2	Leg	2,3	3,22				4,2	2,57
T7		I1 inf	gauche	V	2	Leg	2,6	3,12				3,9	2,67

Annexe 2.10 : Cheikh Hassan, tableau de données brutes pour le calcul de l'âge de formation des hypoplasies

Caractéristique	comparaison entre	type de test	valeur X ²	p=
périostite tête osseuse	DJ 1 & 2	Fisher	X	0,5392
	DJ 2 & 3	Fisher	X	0,5012
périostite infra-crânien	DJ 2 & 3	Fisher	X	0,2251
caries fréquence brute par dents	DJ 2 & 3	Fisher	X	0,7718
caries fréquence par individus	DJ 2 & 3	Fisher	X	0,6064
carie fréquence calibrée	DJ 2 & 3	Chi2	3,568	0,0589
abcès fréquence par alvéoles	DJ 1 & 2	Fisher	X	0,1565
	DJ 2 & 3	Fisher	X	0,1221
abcès fréquence par individus	DJ 1 & 2	Fisher	X	1,0000
	DJ 2 & 3	Fisher	X	0,6075
PAM fréquence par dents	DJ 1 & 2	Chi2	6,462	0,0110
	DJ 2 & 3	Chi2	3,275	0,0703
PAM fréquence par individus	DJ 1 & 2	Fisher	X	1,0000
	DJ 2 & 3	Fisher	X	0,3649
parodontose fréquence par dents	DJ 1 & 2	Chi2	16,557	0,0000
	DJ 2 & 3	Chi2	23,02	0,0000
parodontose fréquence par individus	DJ 1 & 2	Fisher	X	0,5804
	DJ 2 & 3	Fisher	X	0,0285
tartre fréquence par dents	DJ 1 & 2	Chi2	1,869	0,1715
	DJ 2 & 3	Chi2	2,544	0,1107
tartre fréquence par individus	DJ 1 & 2	Fisher	X	1,0000
	DJ 2 & 3	Fisher	X	0,7182
usure stades 7 et 8	DJ 2 & 3	Chi2	32,575	0,0000
Hyperostose poreuse	DJ 1 & 2	Fisher	X	1,0000
	DJ 2 & 3	Fisher	X	0,7853
Cibra orbitalia	DJ 1 & 3	Fisher	X	0,6780
hypoplasies fréquence par dents	DJ 1 & 2	Chi2	2,171	0,1406
	DJ 2 & 3	Chi2	12,399	0,0004
hypoplasies fréquence par individus	DJ 1 & 2	Fisher	X	1,0000
	DJ 2 & 3	Fisher	X	0,2607

Annexe 2.11 : Dja'de el-Mughara : Résultat des divers tests de Chi² et de Fisher (les différences significatives sont grisées)

Sépulture	Individu	Phase	Dent	Latéralisation	Âge au décès
sp 180	individu A	DJ III	I1 sup	gauche	adulte
sp 180	individu J	DJ III	I1 sup	droit	adulte
sp 240		DJ III	I1 sup	droit	adulte
sp 180 inf	individu D1	DJ III	I1 sup	droit	immature 8-11,5 ans
			I1 sup	gauche	
sp 180 inf	individu B	DJ III	I1 sup	droit	adulte
sp 180 inf	individu E	DJ III	I1 sup	gauche	adulte
sp 180 inf	individu J	DJ III	di1 sup	gauche	immature 2,5-4 ans
sp 180 inf	individu C	DJ III	I1 sup	gauche	adulte
sp 180 inf	individu A1	DJ III	I1 sup	droit	immature 12-18,5 ans
sp 259		DJ III	I1 sup	droit	immature 12-18,5 ans
			I1 sup	gauche	
sp 350	crâne 17/18	DJ II	I1 sup	gauche	adulte
			I1 sup	droit	
sp 108	individu A	DJ III	I1 sup	gauche	adulte 20-30 ans
			I1 sup	droit	
sp 108	crâne isolé	DJ III	I1 sup	droit	immature 10-12 ans
sp 180	individu DJ97-6	DJ III	I1 sup	droit	adulte
sp 283	individu B	DJ II	I1 sup	droit	adulte
sp 607		DJ II	I1 sup	droit	adulte
			I1 sup	gauche	
sp 180	individu D	DJ III	I1 sup	gauche	immature 6-8 ans
			I1 sup	droit	

Annexe 2.12 : Dja'de el-Mughara : liste des individus avec des avulsions pour les phases DJ II et DJ III

Sépulture	Dent	Latéralisa- tion	Face Hypo	Nombre hypo	Intensité hypo	Hauteur ligne basse- collet	âge	Hauteur ligne moyenne 1- collet	âge	Hauteur ligne moyenne 2- collet	Hauteur ligne haute- collet	âge
SP 627	P1 inf	gauche	V	2	Moy	1,8	5,14				3	4,56
SP 627	C inf	gauche	V	3	Moy	1,6	5,83	3	5,25		4,3	4,71
SP 627	C inf	droit	V	3	Moy	2	5,67	3	5,25		4,5	4,63
SP 627	P sup	gauche	V	1	Leg	2,3	indet					
SP 627	P sup	inconnu	V	2	Leg	1,8	indet				2,8	indet
SP 659	P2 sup	droit	Tr	1	Moy	1,7	5,43					
SP 659	P1 sup	gauche	Tr	2	Leg	0,9	5,66				2	5,25
SP 659	P2 sup	gauche	Tr	1	Moy	1,7	5,43					
SP 659	P2 inf	gauche	V	1	Moy	1,7	6,17					
SP 659	C inf	gauche	V	1	Moy	3,6	5,00					
SP 659	C inf	droit	V	1	Moy	3,8	4,92					
SP 659	C sup	gauche	V	1	Leg	3	4,70					
SP 659	P2 inf	droit	V	1	Leg	1,5	6,27					

Annexe 2.13: Dja'de el-Mughara, tableau de données brutes pour le calcul de l'âge de formation des hypoplasies pour la phase DJ I

Sépulture	Individu	Dent	Latéralisation	Face hypo	Nombre hypo	Intensité hypo	Hauteur ligne basse-collet	âge	Hauteur ligne moyenne 1-collet	Hauteur ligne moyenne 2-collet	Hauteur ligne haute-collet	âge
md isolée A	ind n°2	I2 inf	gauche	V	1	Leg	1,9	3,39				
md isolée A	ind n°2	I2 inf	droit	V	1	Leg	1,7	3,45				
md isolée A	ind n°2	P2 inf	droit	Tr	1	Leg	2	5,04				
md isolée A	ind n°2	P1 inf	droit	V	1	Leg	1,5	5,28				
md isolée A	ind n°2	C inf	droit	V	2	Moy	2,8	5,34			4,4	4,67
SP 350	crâne 17/18	M2 sup	gauche	V-M-D	2	Cos	1,5	6,76			2,2	6,68
SP 350	crâne 17/18	M3 sup	gauche	V	2	Moy	1	indet			2,3	indet
SP 413		I1 inf	droit	L	2	Moy	2,2	3,25			3,6	2,78
SP 413		I2 inf	droit	L	2	Leg	1,4	3,55			2,4	3,22
SP 413		M3 sup	gauche	Tr	2	Leg	1	indet			1,7	indet
SP 607		P1 inf	droit	Tr	1	Leg	0,8	5,62				
SP 607		P1 inf	gauche	M	1	Moy	1,4	5,33				
SP 675		P2 inf	gauche	V	1	Moy	1,2	6,42				
SP 675		P2 sup	droit	L	2	Leg	1,5	5,50			2,1	5,30
SP 675		P2 sup	gauche	L	2	Leg	1,9	5,37			2,7	5,10

Annexe 2.14: Dja'de el-Mughara, tableau de données brutes pour le calcul de l'âge de formation des hypoplasies pour la phase DJ II

Sépulture	Individu	Dent	Latéralisation	Face hypo	Nombre hypo	Intensité hypo	Hauteur ligne basse-collet	âge	Hauteur ligne moyenne 1-collet	âge	Hauteur ligne moyenne 2-collet	âge	Hauteur ligne haute-collet	âge
SP 108	B	C inf	gauche	V	3	Moy	2,5	5,46	3,5	5,04			4,5	4,63
SP 108	B	I1 sup	inconnu	V	2	Moy	2,5	3,72					6	2,62
SP 108	C	C sup	droit	Tr	1	Moy	X	X						
SP 108	C	I1 inf	droit	V	1	Moy	X	X						
SP 108	C	I1 sup	droit	Tr	1	Moy	X	X						
SP 108	C	I2 inf	droit	V	1	Moy	X	X						
SP 108	C	I2 inf	gauche	Tr	1	Moy	X	X						
SP 108	C	I2 sup	droit	Tr	1	Leg	X	X						
SP 108	D	M2 sup	droit	V	1	Leg	1	7,00						
SP 108	D	M2 sup	gauche	Tr	1	Leg	1	7,00						
SP 108	D	P1 sup	gauche	L	1	Leg	0,6	5,78						
SP 108	immature indet	C inf	droit	V	4	Moy	0,8	6,17	1,9	5,71	3,3	5,13	4,6	4,59
SP 108	immature indet	M1 inf	gauche	Tr	1	Moy	1,2	3,11						
SP 108	immature indet	M1 inf	droit	Tr	1	Moy	0,9	3,21						
SP 108	immature indet	M2 inf	gauche	Tr	1	Moy	0,8	6,65						
SP 108	immature indet	M3 inf	droit	Tr	1	Moy	1,2	>10 ans						
SP 108	immature indet	P1 inf	gauche	Tr	3	Moy	0,9	5,57	1,8	5,14			3,5	4,32
SP 108	immature indet	P1 inf	droit	Tr	3	Moy	0,7	5,66	1,5	5,28			3,3	4,42
SP 108	immature indet	P2 inf	gauche	Tr	2	Moy	1,5	6,27					2,8	5,64
SP 108	immature I ou N	C inf	gauche	V	1	Leg	2,9	5,29						
SP 108	immature I ou N	I1 sup	inconnu	V	2	Moy	2,7	3,65					6	2,62

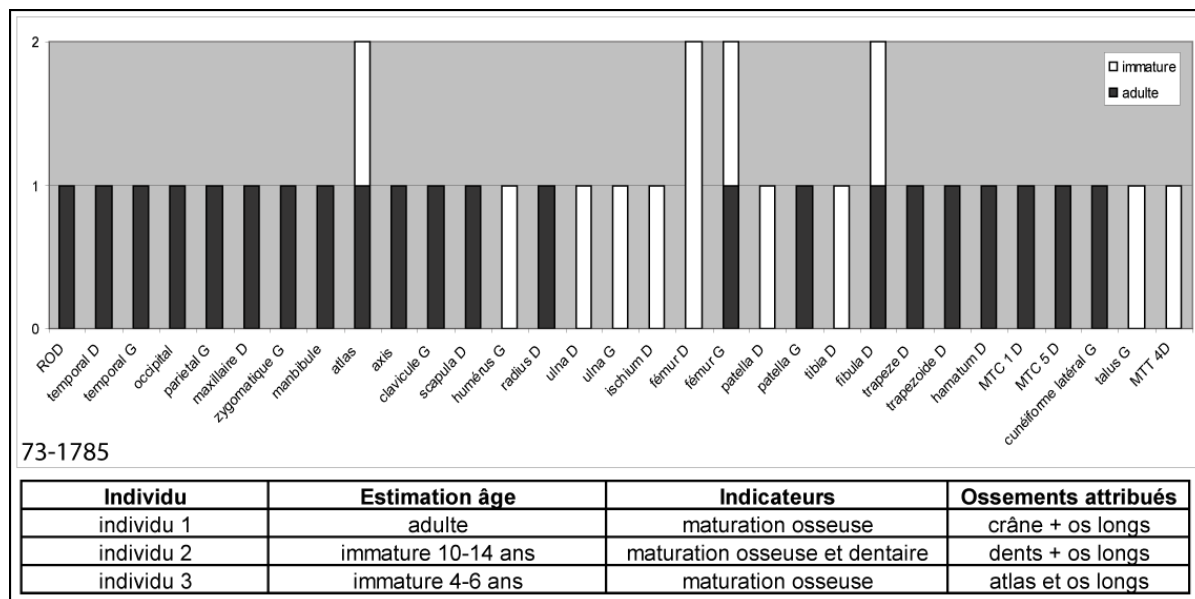
Sépulture	Individu	Dent	Latéralisation	Face hypo	Nombre hypo	Intensité hypo	Hauteur ligne basse-collet	âge	Hauteur ligne moyenne 1-collet	âge	Hauteur ligne moyenne 2-collet	âge	Hauteur ligne haute-collet	âge
SP 108	immature I ou N	P sup	gauche	Tr	3	Leg	0,8	X	2	X			3	X
SP 108	immature I ou N	P1 inf	gauche	V	1	Moy	2,3	4,90					6	3,12
SP 108	immature I ou N	P1 sup	gauche	Tr	1	Cos	1,3	5,51					6	3,76
SP 108	immature I ou N	P2 sup	gauche	Tr	2	Moy	0,8	5,73					1,9	5,37
SP 108	K	C sup	droit	Tr	2	Leg	3,4	4,52					5	3,83
SP 108	K	I1 sup	gauche	V	1	Leg	3	3,56						
SP 108	K	I1 sup	droit	V	2	Leg	2,6	3,68					3,5	3,40
SP 108	K	I2 inf	droit	Tr	1	Leg	2,3	3,26						
SP 108	K	I2 sup	gauche	V	2	Leg	1,8	4,07					3,8	3,59
SP 108	K	I2 sup	droit	V	2	Leg	2	4,02					3,9	3,57
SP 108	K	M1 inf	gauche	Tr	1	Leg	1	3,18						
SP 108	K	M1 sup	droit	Tr	1	Leg	1,6	2,91						
SP 108	K	P1 sup	gauche	Tr	2	Leg	1,1	5,59					2,1	5,21
SP 108	Q/S	C inf	droit	V	2	Leg	4,7	4,54					6,5	3,80
SP 108	Q/S	C sup	gauche	V	2	Leg	2,8	4,78					4,2	4,18
SP 108	Q/S	C sup	droit	V	3	Moy	0,7	5,70	2,8	4,78			4,5	4,05
SP 108	Q/S	I1 sup	gauche	V	1	Leg	0,9	4,22						
SP 108	Q/S	I2 sup	gauche	V	2	Leg	2	4,02					3,5	3,66
SP 108	Q/S	P1 sup	gauche	Tr	1	Leg	2,2	5,18						
SP 108	Q/S	P1 sup	droit	Tr	1	Moy	3	4,88						
SP 179	adulte 1	M1 sup	droit	Tr	1	Leg	1,5	2,94						
SP 179	adulte 1	M1 sup	gauche	Tr	1	Leg	1,5	2,94						
SP 179	adulte 1	P1 inf	droit	V	2	Moy	2,8	4,66					4,4	3,89
SP 179	adulte 1	P1 sup	droit	Tr	1	Moy	1,8	5,33						
SP 179	adulte 1	P2 sup	gauche	Tr	1	Moy	1,5	5,50						
SP 179	immature 4	C inf	droit	Tr	2	Cos	1,5	5,88					3	5,25
SP 179	immature 4	C inf	gauche	Tr	2	Cos	2	5,67					3	5,25
SP 179	immature 4	I1 inf	droit	Tr	2	Leg	0,6	3,80					2,1	

Sépulture	Individu	Dent	Latéralis a-tion	Face hypo	Nombre hypo	Intensité hypo	Hauteur ligne basse-collet	âge	Hauteur ligne moyenne 1-collet	âge	Hauteur ligne moyenne 2-collet	âge	Hauteur ligne haute-collet	âge
SP 179	immature 4	I2 inf	droit	Tr	3	Moy	1	3,68	2,1	3,32			3	3,03
SP 180	A	C sup	gauche	V	2	Moy	2,5	4,92					3,4	4,52
SP 180	adulte 1	C sup	gauche	V	2	Moy	2,7	4,83					3,8	4,35
SP 180	adulte 2	M1 inf	gauche	Tr	1	Moy	2,6	2,66						
SP 180	adulte 2	M1 inf	gauche	Tr	1	Moy	1,2	3,11						
SP 180	adulte 2	P2 inf	gauche	Tr	1	Moy	0,9	6,56						
SP 180	B	P1 sup	gauche	Tr	1	Moy	1,6	5,40						
SP 180	B	P2 sup	gauche	Tr	2	Moy	1	5,67					2,4	5,20
SP 180	E1	I2 sup	gauche	V	2	Leg	1,7	4,09					3,3	3,71
SP 180	E1	P1 inf	droit	Tr	3	Moy	1	5,55	2,3	4,90			3,8	4,18
SP 180 inf	B	I2 inf	gauche	V	1	Leg	1,9	3,39						
SP 180 inf	D1	C inf	droit	V	3	Moy	1,9	5,71	3,3	5,13			4,6	4,59
SP 180 inf	D1	C inf	gauche	V	X	Moy	X	X	X	X			X	X
SP 180 inf	D1	P2 inf	gauche	V	1	Moy	0,9	6,56						
SP 180 inf	D1	P2 inf	gauche	V	2	Moy	0,7	6,66					1,9	6,07
SP 180 inf	G	C inf	gauche	Tr	3	Moy	1,8	5,75	2,8	5,34			4,3	4,71
SP 180 inf	G	C sup	droit	Tr	3	Moy	1,1	5,52	2,2	5,05			3,9	4,31
SP 180 inf	G	M1 inf	gauche	L	1	Leg	0,9	3,21						
SP 180 inf	K	C inf	droit	V	2	Moy	2	5,67					3	5,25
SP 180 inf	K	C inf	gauche	V	2	Moy	2	5,67					3	5,25
SP 180 inf	K	C sup	droit	V	2	Moy	1,6	5,31					3	4,70
SP 180 inf	K	C sup	gauche	V	2	Moy	1,5	5,35					2,7	4,83
SP 180 inf	K	I1 inf	droit	V	1	Leg	1,9	3,35						
SP 180 inf	K	I1 inf	gauche	V	1	Leg	2,4	3,18						
SP 180 inf	K	I2 inf	droit	V	1	Moy	2,6	3,16						
SP 180 inf	K	I2 inf	gauche	V	1	Moy	2,4	3,22						
SP 180 inf	K	I2 sup	droit	V	1	Moy	2,1	4,00						
SP 180 inf	K	I2 sup	gauche	V	1	Moy	2	4,02						
SP 180 inf	K	P2 sup	gauche	Tr	1	Moy	1,4	5,53						
SP 180 inf	K	P2 sup	droit	Tr	1	Moy	1	5,67						
SP 183	crâne A	C sup	gauche	Tr	2	Moy	1,9	5,18					2,9	4,74
SP 183	crâne A	I1 sup	droit	Tr	1	Cos	2,4	3,75						

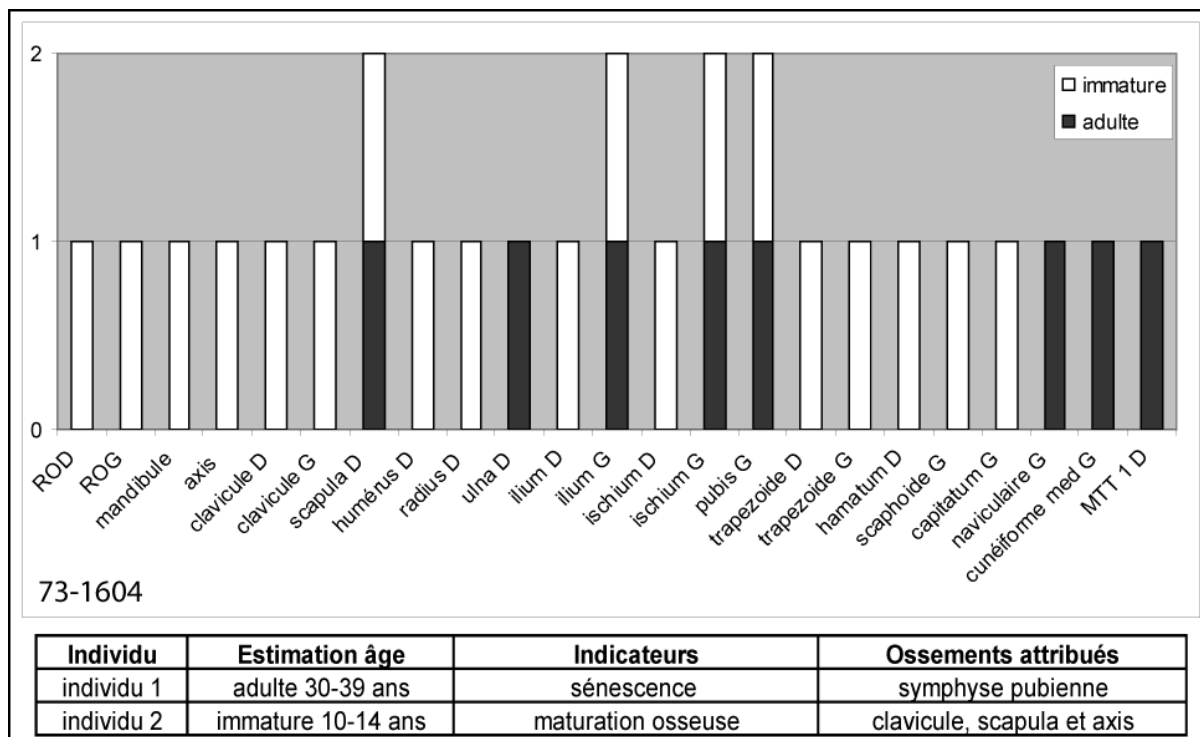
Sépulture	Individu	Dent	Latéralisation	Face hypo	Nombre hypo	Intensité hypo	Hauteur ligne basse-collet	âge	Hauteur ligne moyenne 1-collet	âge	Hauteur ligne moyenne 2-collet	âge	Hauteur ligne haute-collet	âge
SP 183	crâne A	M2 sup	gauche	Tr	1	Moy	1,2	6,90						
SP 183	crâne A	P2 sup	droit	Tr	2	Leg	0,9	5,70					2,1	5,30
SP 183	crâne A	P2 sup	gauche	Tr	2	Moy	1,2	5,60					2,2	5,27
SP 183	crâne B adulte	P1 inf	gauche	Tr	1	Moy	0,9	5,57						
SP 183	crâne B immature	I2 sup	droit	Tr	2	Moy	1	4,26					2,4	3,93
SP 183	crâne B immature	P1 sup	droit	V	2	Moy	1,5	5,44					2,8	4,95
SP 183	crâne B immature	P2 sup	droit	Tr	2	Moy	0,6	5,80					1,8	5,40
SP 183	crâne C	M2 sup	gauche	Tr	1	Leg	1	7,00						
SP 183	immature 1	I2 sup	droit	V	3	Leg	1,4	4,17	2,9	3,81			4,6	3,40
SP 183	immature 2	I1 sup	inconnu	Tr	3	Cos	0,8	4,25	1,9	3,90			2,9	3,59
SP 183	immature 2	I2 sup	droit	V	2	Cos	2,9	3,81					4,4	3,45
SP 183	indet	M1 sup	inconnu	Tr	1	Leg	1,5	2,94						
SP 183	indet	M2 inf	droit	Tr	1	Moy	1	6,57						
SP 240		C inf	droit	Tr	1	Leg	2,8	5,34						
SP 240		C sup	gauche	V	2	Moy	1,9	5,18					2,9	4,74
SP 240		I2 inf	gauche	V	2	Moy	3	3,03					4,6	2,51
SP 240		P2 sup	droit	Tr	1	Leg	2	5,33						
SP 246		P1 sup	gauche	Tr	1	Leg	1	5,63						
SP 259		C inf	gauche	V	2	Leg	1,8	5,75					2,9	5,29
SP 259		C inf	droit	V	3	Leg	2,4	5,50	3,3	5,13			4	4,84
SP 259		C sup	droit	V	2	Leg	1,8	5,22					3,3	4,57
SP 259		I2 sup	gauche	V	3	Leg	1,1	4,24	2	4,02			3,2	3,74
SP 259		I2 sup	droit	V	3	Moy	1,1	4,24	1,7	4,09			2,9	3,81
SP 259		P1 sup	gauche	Tr	1	Leg	2,7	4,99						
SP 297		M2 sup	droit	Tr	1	Moy	1,4	6,81						
SP 304	ind 5	C inf	gauche	V	3	Moy	2,5	5,46	3,4	5,09			5,2	4,34
SP 304	ind 5	I2 inf	droit	V	1	Leg	3	3,03						
SP 304	ind 5	I2 inf	gauche	V	1	Leg	3	3,03						

Sépulture	Individu	Dent	Latéralisation	Face hypo	Nombre hypo	Intensité hypo	Hauteur ligne basse-collet	âge	Hauteur ligne moyenne 1-collet	âge	Hauteur ligne moyenne 2-collet	âge	Hauteur ligne haute-collet	âge
SP 304	ind 5	M2 inf	gauche	Tr	2	Moy	1	6,57					2,2	6,05
SP 304	ind 5	M2 inf	gauche	Tr	1	Leg	1,4	6,39						
SP 304	ind 5	P1 inf	gauche	V	1	Moy	3,8	4,18						
SP 304	ind 5	P1 inf	droit	V	2	Moy	1,9	5,09					3,4	4,37
md isolée	md muret h	I1 sup	gauche	V	1	Moy	5,7	2,71						

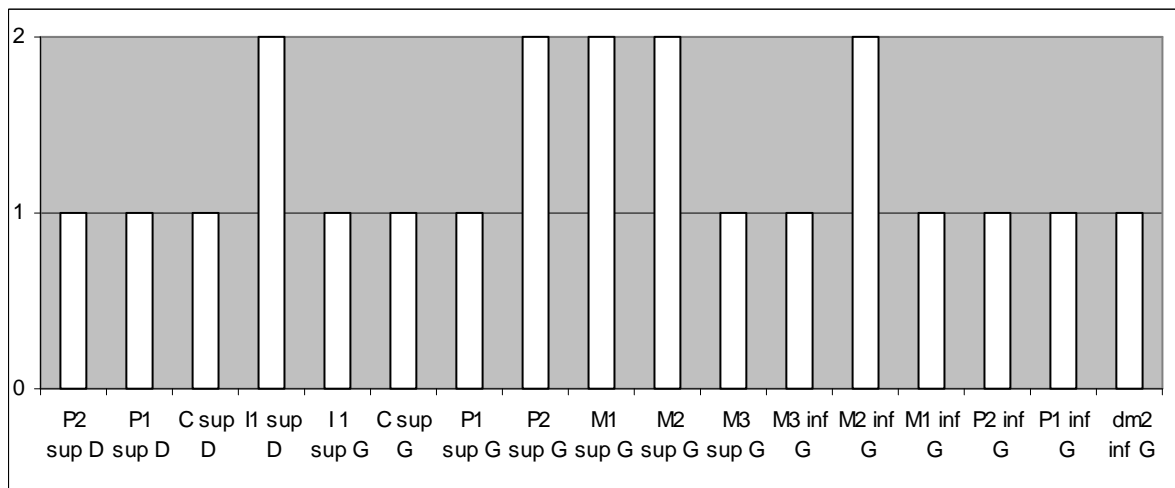
Annexe 2.15: Dja'de el-Mughara, tableau de données brutes pour le calcul de l'âge de formation des hypoplasies pour la phase DJ III



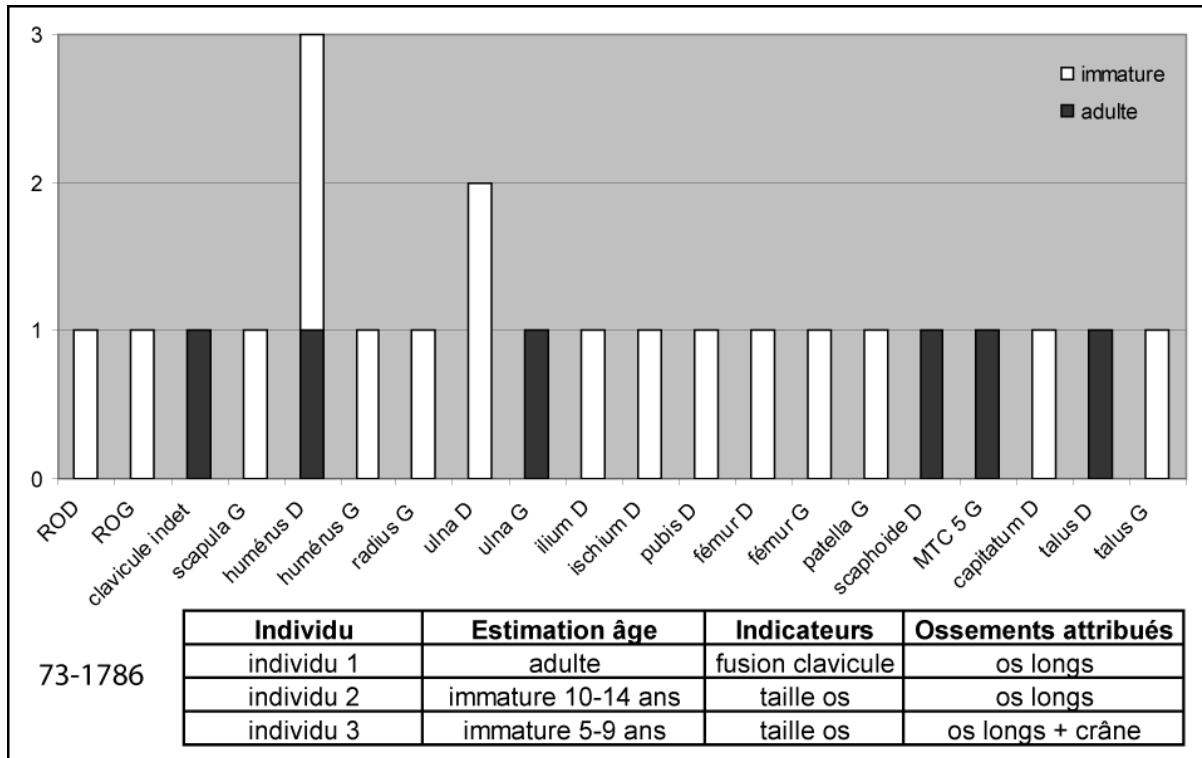
Annexe 2.16 : Abu Hureyra, fosse 144 : représentation graphique du NMI et estimation de l'âge au décès des individus du dépôt 73-1785 (AH 2A)



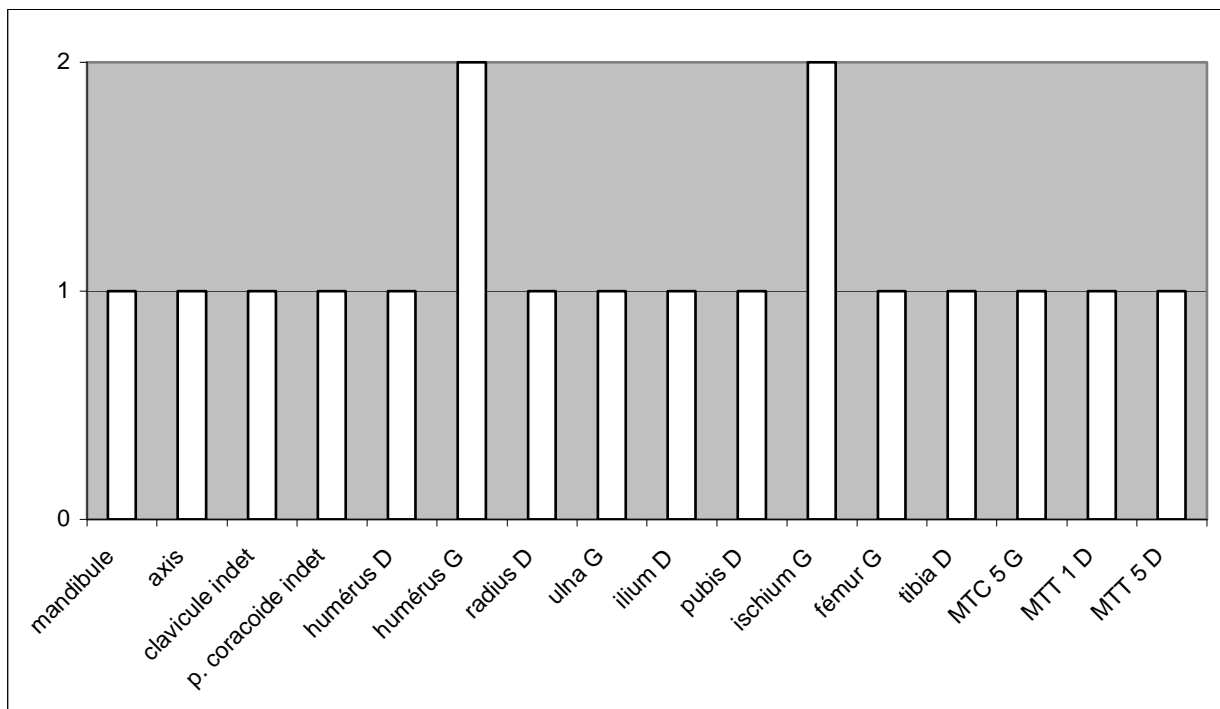
Annexe 2.17 : Abu Hureyra, fosse 144 : représentation graphique du NMI et estimation de l'âge au décès des individus du dépôt 73-1604 (AH 2A)



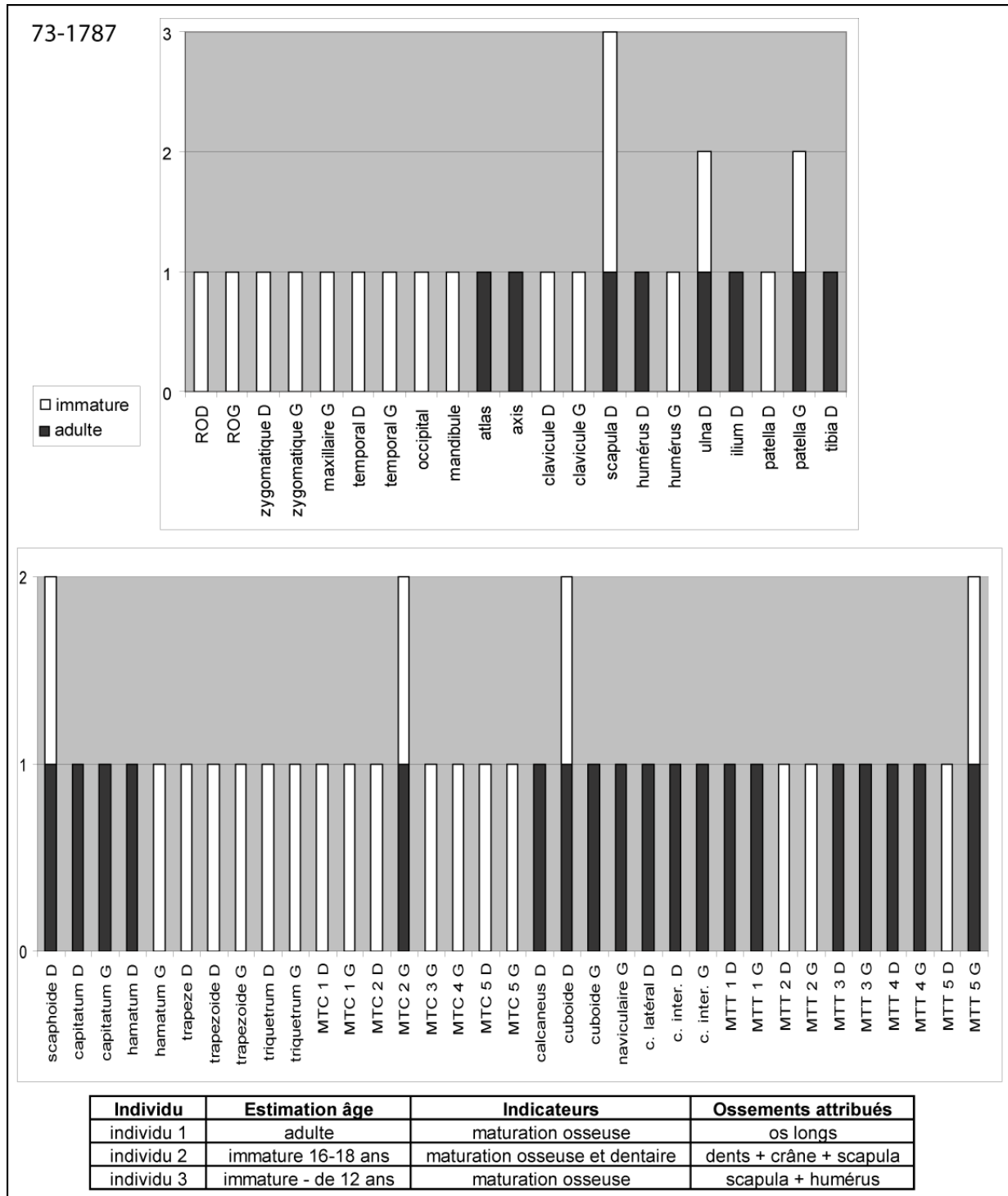
Annexe 2.18 : Abu Hureyra, fosse 144 : représentation graphique du NMI dentaire du dépôt 73-2397 (AH 2A)



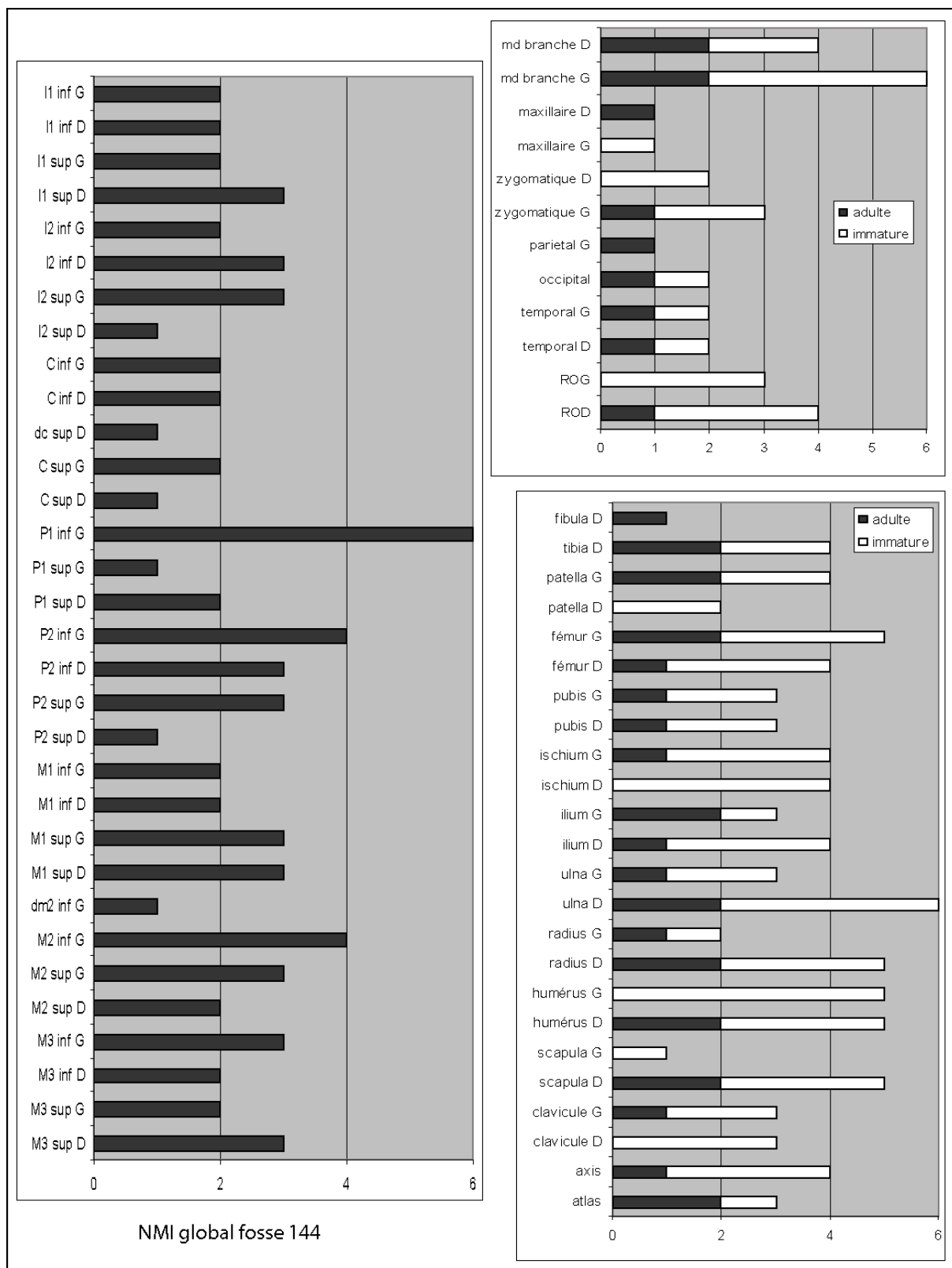
Annexe 2.19 : Abu Hureyra, fosse 144 : représentation graphique du NMI et estimation de l'âge au décès des individus du dépôt 73-1786 (AH 2A)



Annexe 2.20 : Abu Hureyra, fosse 144 : représentation graphique du NMI du dépôt 73-1788, 73-2277, 73-2278 (AH 2A)



Annexe 2.21 : Abu Hureyra, fosse 144 : représentation graphique du NMI et estimation de l'âge au décès des individus du dépôt 73-1787 (AH 2A)



Annexe 2.22 : Abu Hureyra, fosse 144 : représentation graphique du NMI global des dépôts retrouvés dans la fosse 144 (AH 2A)

Caractéristique	comparaison entre	type de test	valeur X^2	p=
périostite infra-crânien	2A & 2B	Fisher	X	0,1005
	2B & 2C	Fisher	X	0,1516
abcès fréquence par dents	2A & 2B	Chi2	1,237	0,2660
abcès fréquence par individus	2A & 2B	Fisher	X	0,3077
PAM fréquence par dents	2A & 2B	Chi2	18,095	0,0000
PAM fréquence par individus	2A & 2B	Chi2	3,282	0,0700
parodontose fréquence par dents	2A & 2B	Chi2	0,767	0,3811
parodontose fréquence par individus	2A & 2B	Chi2	0,004	0,9495
tartre fréquence par dents	AH1 & 2A	Fisher	X	0,1597
	2A & 2B	Chi2	8,472	0,0036
	2B & 2C	Fisher	X	0,5939
tartre fréquence par individus	AH1 & 2A	Fisher	X	1,0000
	2A & 2B	Fisher	X	0,1228
	2B & 2C	Fisher	X	1,0000
Hyperostose poreuse	2A & 2B	Chi2	0,986	0,3207
Cribra orbitalia	2A & 2B	Fisher	X	0,4796
	2B & 2C	Fisher	X	0,5481
hypoplasies fréquence par dents	2A & 2B	Chi2	24,102	0,0000
	2B & 2C	Chi2	0,193	0,6604
hypoplasies fréquence par individus	2A & 2B	Fisher	X	0,0028
	2B & 2C	Fisher	X	0,0394

Annexe 2.23 : Abu Hureyra : Résultat des divers tests de χ^2 et de Fisher
(les différences significatives sont grisées)

Nom individu	Type de dent	Latéralisation
73-2565	M1 sup	gauche
	M2 sup	gauche
	M3 sup	gauche
	P1 sup	gauche
	P2 sup	gauche
73-2564	C inf	droit
	I1 inf	droit
	I2 inf	droit
	I2 sup	gauche
	M1 inf	droit
	M2 inf	droit
	M2 sup	droit
	M3 inf	droit
	M3 sup	droit
	P1 inf	droit
P2 inf	droit	
73-2160	M2 inf	droit
72-495	M1 inf	gauche
	M1 sup	droit
73-3067	I2 inf	gauche
	M1 sup	gauche
	M3 sup	gauche
73-2952	C inf	droit
	C inf	gauche
	I1 inf	droit
	I1 inf	gauche
	I2 inf	droit
	I2 inf	gauche
	M1 inf	droit
	M1 inf	gauche
	P1 inf	droit
	P1 inf	gauche
	P2 inf	droit
	P2 inf	gauche
P2 sup	droit	
73-2347	M1 sup	droit
73-1930	M1 sup	droit
73-2655	M1 inf	droit
	M1 inf	gauche
	M2 inf	droit
	M2 inf	gauche
	M3 inf	droit
	M3 inf	gauche
	P1 inf	gauche
72-520	M2 inf	gauche
73-2202	M1 sup	gauche
	P2 sup	droit
73-2105	P2 inf	droit
B114	P2 inf	droit
72-165	M1 inf	droit
72-167	C sup	droit
	M2 sup	gauche

Annexe 2.24 : Abu Hureyra : Individus de la phase 2B ayant livré des dents perdues *ante-mortem*

Sépulture	Individu	Dent	Latéralisation	Face hypo	Nombre hypo	Intensité hypo	Hauteur ligne basse-collet	âge	Hauteur ligne moyenne 1-collet	âge	Hauteur ligne haute-collet	âge
73-1604	ind 1	I2 sup	gauche	V	2	Leg	1	4,26			1,8	4,07
73-1784		I2 inf	droit	V	2	Leg	1,9	3,39			3,5	2,87
73-2127		C inf	gauche	Tr	1	Leg	2,7	5,38				
73-2127		I1 inf	droit	Tr	1	Leg	6	1,96				
73-2127		I2 sup	gauche	V	1	Leg	2,2	3,97				
73-2127		I2 sup	droit	V	1	Leg	2,2	3,97				
73-2127		P2 sup	droit	V	1	Leg	1,9	5,37				
73-2394		C inf	gauche	V	1	Moy	3,6	5,00				
73-2394		I2 sup	droit	V	2	Moy	2,9	3,81			3,9	3,57
73-2397	ind 1	P1 sup	gauche	Tr	1	Leg	4	4,50				
73-2397	ind 2	C sup	droit	Tr	2	Leg	4,2	4,18			5,7	3,53
73-2397	ind 2	P1 sup	droit	Tr	1	Leg	4,6	4,28				
73-2397	ind 2	P2 sup	gauche	Tr	1	Leg	2,4	5,20				
73-2400		M3 inf	gauche	Tr	1	Moy	X	> 10 ans				
73-690		C inf	gauche	V	2	Moy	4,4	4,67			5,5	4,21
73-690		C inf	droit	V	3	Moy	3,3	5,13	4,9	4,46	6	4,00
73-851	851A	C inf	droit	V	3	Leg	2	5,67	3,2	5,17	5	4,42
73-851	851A	P1 inf	droit	Tr	2	Leg	1	5,52			1,8	5,14
73-851	851A	P1 inf	gauche	Tr	2	Moy	1,5	5,28			2,7	4,70
73-851	851A	P2 inf	gauche	Tr	2	Leg	0,7	6,66			1,7	6,17
73-851	851A	P2 inf	droit	Tr	2	Leg	0,6	6,71			1,3	6,37
B273		I1 sup	droit	V	2	Leg	3	3,48			5	2,30

Annexe 2.25 : Abu Hureyra, tableau de données brutes pour le calcul de l'âge de formation des hypoplasies pour la phase AH 2A

Sépulture	Individu	Dent	Latéralisation	Face hypo	Nombre hypo	Intensité hypo	Hauteur ligne basse-collet	âge	Hauteur ligne moyenne 1-collet	âge	Hauteur ligne moyenne 2-collet	âge	Hauteur ligne haute-collet	âge
73-853	ind 1	P1 sup	gauche	Tr	1	Leg	0,5	5,81						
73-2564		C sup	gauche	Tr	1	Moy	2	5,13						
73-2564		C sup	droit	Tr	1	Moy	1	5,57						
73-2564		I1 sup	gauche	V	1	Leg	2,1	3,84						
73-2564		P inf	gauche	Tr	1	Moy	0,4	X						
73-2564		P inf	gauche	Tr	1	Moy	0,8	X						
73-2772		P1 sup	gauche	V	1	Leg	2,4	5,10						
73-2771		C inf	droit	Tr	1	Moy	1,9	5,71						
73-2771		C sup	droit	V	1	Leg	1,8	5,22						
73-2771		C sup	gauche	V	1	Leg	1,6	5,31						
73-2771		I2 sup	gauche	V	3	Moy	0,8	4,31	1,8	4,07		2,6	3,88	
73-2771		P1 inf	droit	Tr	1	Moy	1,8	5,14						
73-2771		P1 sup	droit	V	1	Leg	1,8	5,33						
73-31	ind 3	M3 sup	droit	Tr	2	Moy	0,7	> 10 ans					1,8	> 10 ans
73-31	ind 4	C inf	droit	V	2	Leg	2,4	5,50					4	4,84
73-31	ind 4	C sup	gauche	V	1	Leg	3	4,70						
73-31	ind 4	I2 sup	droit	V	3	Moy	1,7	4,09	3,2	3,74		5,5	3,19	
73-31	ind 5	M3 sup	droit	Tr	1	Leg	1,7	> 10 ans						
73-31	ind 5	P1 inf	gauche	Tr	3	Leg	1,8	5,14	3,2	4,46		4,8	3,70	
73-3273		C inf	gauche	Tr	2	Moy	2,2	5,58					4,5	4,63
73-3273		I sup	gauche	L	1	Leg	3,6	X						
73-3273		I1 inf	droit	Tr	2	Moy	1,1	3,63					2,5	3,15
73-3273		I1 inf	gauche	Tr	2	Moy	0,9	3,69					1,6	3,46
73-3273		I2 inf	gauche	Tr	1	Moy	2,4	3,22						
73-3273		P1 inf	gauche	V	1	Moy	4,2	3,98						
73-3273		P1 sup	droit	V	1	Moy	5,1	4,09						
72-501		P2 sup	gauche	Tr	1	Leg	2,2	5,27						
B332		C sup	droit	Tr	1	Moy	X	X						
73-3437		C inf	gauche	V	1	Leg	1,6	5,83						
73-3437		I1 inf	gauche	V	1	Leg	1,9	3,35						
73-3437		I1 inf	droit	V	1	Leg	2	3,32						
73-3437		I1 sup	droit	V	1	Leg	3,9	3,28						

Sépulture	Individu	Dent	Latéralisation	Face hypo	Nombre hypo	Intensité hypo	Hauteur ligne basse-collet	âge	Hauteur ligne moyenne 1-collet	âge	Hauteur ligne moyenne 2-collet	âge	Hauteur ligne haute-collet	âge
73-3437		I2 sup	droit	V	1	Leg	1	4,26						
73-3437		P1 inf	droit	Tr	1	Leg	1	5,52						
73-3437		P2 inf	droit	Tr	1	Leg	1,5	6,27						
73-3437		P2 sup	droit	Tr	1	Leg	1,3	5,57						
73-2404	2404B	C inf	gauche	V	2	Leg	X	X					X	X
72-495		C inf	gauche	V	1	Leg	3,3	5,13						
72-495		C sup	gauche	V	1	Leg	2,3	5,00						
72-495		P2 inf	gauche	V	1	Leg	2,5	5,78						
72-495		P2 inf	droit	V	1	Leg	1,9	5,07						
73-2395	2395A	C sup	droit	Tr	1	Leg	4,3	4,13						
73-2395	2395A	C sup	gauche	Tr	3	Moy	3	4,70	4	4,26			5	3,83
73-2395	2395A	I2 sup	gauche	Tr	1	Leg	3,1	3,76						
73-2395	2395A	P1 sup	gauche	Tr	1	Leg	2,5	5,07						
73-2395	2395A	P1 sup	droit	Tr	1	Leg	4,3	4,39						
73-2395	2395A	P2 inf	gauche	Tr	1	Leg	3,8	5,15						
73-2395	2395A	P2 sup	gauche	Tr	2	Leg	1,8	5,40						
73-2395	2395B	C inf	gauche	V	2	Leg	X	X						
73-2395	2395B	C inf	droit	V	2	Leg	X	X						
73-2951		C inf	gauche	V	3	Moy	1,9	5,71	3,2	5,17			5,2	4,34
73-2951		C inf	droit	Tr	4	Moy	1	6,08	3	5,25	3,8	4,92	5,5	4,21
73-2951		C sup	droit	V	3	Moy	1,7	5,26	3,1	4,65			4,7	3,96
73-2951		I1 sup	droit	V	2	Leg	3	3,56					4,5	3,09
73-2951		I2 inf	gauche	V	2	Leg	1,9	3,39					3,1	3,00
73-2951		P1 inf	droit	V	2	Moy	1,4	5,33					2,9	4,61
73-2951		P1 sup	droit	V	2	Leg	1,6	5,40					2,9	4,92
73-2951		P1 sup	gauche	V	2	Moy	1,4	5,48					3	4,88
73-2951		P2 inf	droit	V	1	Leg	0,9	5,56						
73-2951		P2 sup	droit	V	2	Leg	1,5	5,50					3,2	4,93
73-1930		I2 inf	droit	Tr	1	Leg	1	3,68						
73-1930		I2 sup	droit	V	1	Leg	2,7	3,85						
73-2950		C inf	droit	V	1	Leg	X	X						
73-2950		C sup	gauche	V	1	Leg	4,3	4,13						

Sépulture	Individu	Dent	Latéralisation	Face hypo	Nombre hypo	Intensité hypo	Hauteur ligne basse-collet	âge	Hauteur ligne moyenne 1-collet	âge	Hauteur ligne moyenne 2-collet	âge	Hauteur ligne haute-collet	âge
73-2396		C inf	gauche	V	1	Moy	2,7	5,38						
73-2396		C inf	droit	V	2	Moy	2	5,67					3,4	5,09
73-2396		C sup	gauche	V	1	Moy	3,5	4,48						
73-2396		C sup	droit	V	1	Moy	3,6	4,44						
73-2396		I1 sup	gauche	V	1	Moy	3,3	3,46						
73-2396		I1 sup	droit	V	1	Moy	3	3,56						
73-2396		I2 inf	gauche	V	1	Leg	1,2	3,61						
73-2396		I2 sup	droit	V	1	Moy	3,4	3,69						
73-2396		I2 sup	gauche	V	1	Moy	3,8	3,59						
73-2396		M2 inf	gauche	Tr	1	Leg	0,8	6,65						
73-2396		M3 inf	gauche	Tr	1	Leg	1,3	> 10 ans						
73-2396		M3 inf	gauche	Tr	1	Leg	1,3	> 10 ans						
73-2396		P2 inf	droit	Tr	2	Leg	0,9	5,56					2	6,03
73-2396		P2 inf	gauche	V	2	Leg	0,9	5,56					1,8	6,12
73-2202		C sup	gauche	V	Fop	Moy								
73-2202		I2 sup	droit	V	2	Leg	1	4,26					2,4	3,93
73-2202		P1 sup	gauche	V	1	Leg	0,5	5,81						
73-2202		P1 sup	droit	V	2	Leg	0,4	5,85					1,5	5,44
73-2202		P2 sup	gauche	V	1	Leg	0,8	5,73						
73-2271		M2 inf	gauche	Tr	1	Leg	0,8	6,66						
73-1316		C inf	droit	V	2	Leg	2,6	5,42					4,7	4,54
73-1316		C sup	droit	Tr	4	Leg	1,1	5,52	2,7	4,83	3,6	4,44	5,4	3,66
73-1316		P2 inf	droit	Tr	1	Leg	1,5	6,27						
73-3066		C inf	gauche	Tr	4	Moy	0,8	6,17	2,2	5,58	2,6	5,42	3,7	4,96
73-3066		C sup	droit	Tr	2	Moy	2	5,13					3,7	4,39
73-3066		I1 inf	droit	V	1	Moy	4,9	2,33						
73-3066		I1 inf	gauche	V	1	Moy	5,4	2,16						
73-3066		I2 inf	droit	Tr	3	Leg	1,5	3,52	2,8	3,10			3,5	2,87
73-3066		I2 sup	droit	Tr	2	Leg	0,7	4,33					2	4,02
73-3066		M1 inf	droit	V	1	Leg	1,8	2,92						
73-3066		P1 inf	gauche	Tr	2	Moy	1,4	5,33					3	4,56
73-3066		P2 sup	gauche	Tr	2	Leg	1,5	5,50					2,4	5,20

Sépulture	Individu	Dent	Latéralisation	Face hypo	Nombre hypo	Intensité hypo	Hauteur ligne basse-collet	âge	Hauteur ligne moyenne 1-collet	âge	Hauteur ligne moyenne 2-collet	âge	Hauteur ligne haute-collet	âge
B27		M3 inf	gauche	Tr	1	Moy	0,8	> 10 ans						
B27		M3 sup	droit	Tr	1	Moy	X	> 10 ans						
B27		M3 sup	gauche	Tr	1	Moy	0,9	> 10 ans						
73-843	843A	C inf	inconnu	V	2	Moy	3,4	5,09					4,7	4,54
73-843	843A	C sup	droit	Tr	2	Moy	2,4	4,96					4	4,26
73-843	843A	C sup	gauche	Tr	2	Moy	2,6	4,87					4,9	3,87
73-843	843A	I1 inf	inconnu	V	2	Leg	2,8	3,05					4,3	2,54
73-843	843A	I2 inf	inconnu	V	2	Moy	3,5	2,87					4,6	2,51
73-843	843A	I2 sup	droit	V	2	Moy	1,7	4,09					3,1	3,76
73-843	843A	M3 sup	gauche	Tr	1	Leg	0,8	> 10 ans						
73-843	843A	M3 sup	droit	Tr	1	Moy	0,9	> 10 ans						
73-843	843A	P1 sup	gauche	V	1	Moy	2,3	5,14						
73-843	843A	P1 sup	droit	V	2	Moy	1,6	5,40					4,9	4,17
73-847		M3 sup	droit	Tr	2	Moy	1,3	> 10 ans					2,7	> 10 ans
B61		C inf	gauche	Tr	4	Moy	1,4	5,92	2,6	5,42	6,3	3,88	7,8	3,26
B61		C sup	droit	Tr	4	Cos	0,9	5,61	3,6	4,44	5,1	3,79	6,4	3,22
B61		C sup	gauche	Tr	3	Leg	1,9	5,18	3,8	4,35			6	3,40
B61		I1 sup	gauche	V	3	Moy	4	3,24	4,8	2,99			6,5	2,46
B61		I2 inf	droit	L	1	Leg	4,2	2,64						
B61		P1 inf	droit	Tr	1	Leg	0,8	5,62						
B61		P1 inf	gauche	Tr	1	Leg	1,8	5,14						
B61		P1 sup	droit	Tr	1	Leg	0,6	5,78						
B61		P1 sup	gauche	Tr	1	Leg	1,1	5,59						
B61		P2 inf	droit	Tr	1	Moy	1,1	6,46						
B61		P2 inf	gauche	Tr	1	Moy	1,2	6,42						
B61		P2 sup	droit	Tr	1	Moy	1,3	5,57						
73-846	846A	M1 inf	droit	Cou	Fop	Moy								
73-846	846B	C sup	droit	V	2	Leg	2,6	4,87					4,7	3,96
73-846	846B	P1 sup	gauche	L	1	Leg	1,7	5,36						
73-846	846B	P2 sup	gauche	V	1	Leg	3,4	4,87						
73-846	846C	C sup	gauche	Tr	2	Moy	1,9	5,18					3	4,70
72-561		C sup	droit	V	1	Moy	2,4	4,96						

Sépulture	Individu	Dent	Latéralisation	Face hypo	Nombre hypo	Intensité hypo	Hauteur ligne basse-collet	âge	Hauteur ligne moyenne 1-collet	âge	Hauteur ligne moyenne 2-collet	âge	Hauteur ligne haute-collet	âge
72-561		M3 sup	droit	Tr	1	Moy	1,2	> 10 ans						
72-561		M3 sup	gauche	Tr	1	Moy	1,2	> 10 ans						
72-289		C sup	gauche	Tr	2	Moy	3,8	4,35					4,9	3,87
72-289		P1 inf	droit	Tr	2	Moy	1,8	5,14					3,8	4,18
72-389	389B	M2 inf	droit	Tr	1	Leg	1	6,57						
72-389	389B	M2 sup	gauche	Tr	1	Leg	1,4	6,81						
72-389	389B	M2 sup	droit	Tr	1	Leg	1,5	6,76						
72-389	389B	M3 sup	gauche	Tr	1	Leg	1	> 10 ans						
72-389	389B	P2 sup	droit	Tr	1	Moy	1,2	5,60						
72-545		I2 sup	droit	V	2	Leg	1,9	4,05					3,7	3,62
72-558		M2 sup	droit	V□	1	Moy	2,8	6,11						
72-558		M2 sup	gauche	V□	1	Moy	2,9	6,06						
72-553	553A	M3 inf	droit	Tr	2	Moy	0,6	> 10 ans					1,9	> 10 ans
72-553	553A	M3 sup	droit	Tr	1	Moy	2,1	> 10 ans						
72-550		M2 inf	gauche	Tr	1	Leg	1,5	6,35						
72-550		P2 inf	gauche	Tr	1	Moy	1,4	6,32						
B115		C sup	gauche	Tr	3	Leg	2	5,13	3,6	4,44			5	3,83
72-B63	ind 1	C sup	gauche	Tr	1	Moy	2,2	5,05						
72-B63	ind 1	C sup	droit	Tr	1	Moy	3,4	4,52						
72-B63	ind 1	I2 sup	droit	Tr	1	Leg	1,8	4,07						
72-B63	ind 1	P1 inf	droit	Tr	3	Leg	0,5	5,76	1,4	5,33			3,7	4,22
72-B63	ind 1	P1 sup	gauche	Tr	1	Cos	2,3	5,14						
72-B63	ind 1	P2 inf	gauche	Tr	1	Leg	1,9	6,07						
72-B63	ind 1	P2 sup	gauche	Tr	1	Cos	3,8	4,73						
72-B63	ind 2	M2 inf	gauche	Tr	1	Leg	1	6,57						
72-B36	B36B	C inf	droit	V	3	Leg	2,6	5,42	4,5	4,63			5,9	4,05

Annexe 2.26 : Abu Hureyra, tableau de données brutes pour le calcul de l'âge de formation des hypoplasies pour la phase AH 2B

individu	nombre de dents avec hypoplasies	nombre d'épisodes de stress	estimation âge de l'épisode de stress
73-853 ind 1	1	1	5,5 ans
73-2564	5	2	3,5 ans
			5-5,5 ans
73-2772	1	1	5 ans
73-2771	6	2	3,5-4,5 ans
			5-5,5 ans
73-31 ind 3	1	1	> 10 ans
73-31 ind 4	3	2	3,5 ans
			4,5-5,5 ans
73-31 ind 5	2	3	3,5 ans
			4,5-5,5 ans
			> 10 ans
73-3273	7	2	3-4 ans
			4,5-5,5 ans
72-501	1	1	5,5 ans
B332	1	1	indet
73-3437	8	3	3-3,5 ans
			4,5 ans
			5,5-6,5 ans
73-2404B	1	1	indet
72-495	4	1	5-6 ans
73-2395A	7	2	3,5-4,5 ans
			5-5,5 ans
73-2395B	2	1	indet
73-2951	10	3	3-4 ans
			4-5,5 ans
			5,5-6 ans
73-1930	2	1	3,5-4 ans
73-2950	2	1	4,5 ans
73-2396	14	3	3,5-4,5 ans
			5-6,5 ans
			> 10 ans
73-2202	5	2	3,5-4,5 ans
			5,5-6 ans
73-2271	1	1	6,5 ans
73-1316	3	2	3,5-4,5 ans
			5-6,5 ans
73-3066	9	3	2-3,5 ans
			4-5 ans
			5,5-6,5 ans
B27	3	1	> 10 ans
73-843A	10	3	2,5-3,5 ans
			4-5,5 ans
			> 10 ans
73-847	1	1	> 10 ans
B61	12	3	2,5-4 ans
			4,5-5,5 ans
			6-6,5 ans
73-846A	1	1	indet

individu	nombre de dents avec hypoplasies	nombre d'épisodes de stress	estimation âge de l'épisode de stress
73-846B	3	2	3,5 ans
			4,5-5,5 ans
73-846C	1	2	4,5 ans
			5 ans
72-561	3	2	4,5 ans
			> 10 ans
72-289	2	2	3,5-4,5 ans
			5 ans
72-389B	5	2	5,5-7 ans
			> 10 ans
72-545	1	1	3,5-4 ans
72-558	2	1	6-6,5 ans
72-553A	2	1	> 10 ans
72-550	2	1	6-6,5 ans
B115	1	2	3,5-4,5 ans
			5 ans
72-B63 ind 1	7	2	4-5,5 ans
			5,5-6 ans
72-B63 ind 2	1	1	6,5 ans
72-B36B	1	2	4-4,5 ans
			5,5 ans

Annexe 2.27 : Abu Hureyra, estimation de l'âge des épisodes de stress selon les lignes d'hypoplasies pour AH 2B

Sépulture	Individu	Dent	Latéralisa- tion	Face hypo	Nombre hypo	Intensité hypo	Hauteur ligne basse-collet	âge	Hauteur ligne moyenne 1- collet	âge	Hauteur ligne haute-collet	âge
72-264B		P2 sup	gauche	Tr	1	Leg	2,1	5,30				
72-264B		P1 inf	gauche	Tr	2	Leg	2,3	4,90			4,1	4,03
72-264B		C sup	gauche	V	2	Moy	1,9	5,18			3,2	4,61
73-543		C sup	droit	L	1	Leg	1,4	5,39				
73-543		P1 inf	droit	V	1	Leg	2,6	4,75				
73-810		P2 inf	droit	Tr	1	Leg	1,5	6,27				
73-810		C inf	droit	V	3	Leg	3,2	5,17	5	4,42	6,5	3,80
73-842	842A	M3 inf	droit	Tr	1	Moy	3,7	> 10 ans				
73-842	842B	C inf	droit	V	1	Leg	3,7	4,96				
B48		M1 inf	droit	Tr	1	Leg	1,9	2,89				
B48		M1 inf	gauche	Tr	1	Leg	2,3	2,76				
B48		M1 sup	droit	Tr	1	Leg	2,7	2,50				

Sépulture	Dent	Latéralisa- tion	Face hypo	Nombre hypo	Intensité hypo	Hauteur ligne basse-collet	âge	Hauteur ligne haute-collet	âge
crâne 1	C inf	droit	Tr	2	Moy	3,4	5,09	5,8	4,09
crâne 1	C inf	gauche	Tr	2	Moy	3,4	5,09	5,8	4,09
crâne 1	I1 sup	droit	V	1	Moy	5,5	2,77		
crâne 3	C inf	droit	Tr	1	Leg	X	X		
sépulture 4	C sup	gauche	Tr	1	Moy	1,8	5,22		
sépulture 4	M1 inf	gauche	Tr	1	Leg	1,2	3,11		
sépulture 4	M3 sup	gauche	Tr	1	Leg	1,1	> 10 ans		
sépulture 5	C inf	gauche	V	2	Leg	1,4	5,92	2,2	5,58
sépulture 5	P1 sup	droit	Tr	1	Leg	1	5,63		

Annexe 2.29 : Tell Mureybet, tableau de données brutes pour le calcul de l'âge de formation des hypoplasies pour la phase IVB

Sépulture	Individu	Dent	Latéralisation	Nombre hypo	Intensité hypo	Hauteur ligne basse-collet	âge	Hauteur ligne moyenne 1-collet	âge	Hauteur ligne moyenne 2-collet	âge	Hauteur ligne haute-collet	âge
C-10		C sup	droit	1	Moy	2,2	5,05						
C-10		I1 sup	droit	2	Leg	2,5	3,72					4,7	3,02
C-10		I2 sup	droit	1	Leg	3,6	3,64						
St 711		C sup	gauche	1	Leg	1,2	5,48						
St 711		I1 inf	inconnu	1	Leg	2,1	3,29						
St 711		I2 sup	droit	3	Leg	1,3	4,19	2,8	3,83			3,9	3,57
St 711		M2 inf	gauche	1	Leg	1,5	6,35						
St 711		P1 inf	gauche	1	Leg	1	5,52						
St 711		P1 inf	droit	1	Leg	1,5	5,28						
St 711		P1 sup	gauche	1	Leg	1,2	5,55						
St 711		P2 inf	gauche	1	Leg	1,4	6,32						
St 711		P2 inf	droit	2	Leg	0,9	6,56					1,5	6,27
St 711		P2 sup	gauche	1	Leg	1,2	5,60						
St 712		C inf	gauche	2	Moy	1,8	5,75					2,5	5,46
St 712		C inf	droit	2	Moy	1,2	6,00					2	5,67
St 712		C sup	gauche	2	Leg	1,1	5,52					2	5,13
St 712		C sup	droit	2	Moy	0,9	5,61					2,1	5,09
St 712		I1 sup	droit	1	Leg	2,2	3,81						
St 712		I1 sup	gauche	1	Leg	2	3,87						
St 712		I2 inf	gauche	1	Leg	1,7	3,45						
St 712		I2 inf	droit	2	Leg	1,2	3,61					2,6	3,16
St 712		I2 sup	gauche	3	Leg	1,3	4,19	2,3	3,95			3,3	3,71
St 712		I2 sup	droit	3	Moy	0,9	4,28	2,1	4,00			2,8	3,83
St 712		M sup	droit	1	Moy	1,5	X						
St 712		M2 inf	gauche	1	Moy	2	6,13						
St 712		M2 inf	droit	1	Moy	1,6	6,31						
St 712		P1 inf	droit	2	Leg	1,2	5,42					2,1	4,99
St 712		P1 inf	gauche	2	Moy	0,9	5,57					1,5	5,28
St 712		P1 sup	droit	3	Leg	0,9	5,66	1,5	5,44			2	5,25
St 712		P2 inf	gauche	1	Leg	1,2	6,42						
St 712		P2 inf	droit	2	Leg	1,3	6,37					1,9	6,07

Sépulture	Individu	Dent	Latéralisation	Nombre hypo	Intensité hypo	Hauteur ligne basse-collet	âge	Hauteur ligne moyenne 1-collet	âge	Hauteur ligne moyenne 2-collet	âge	Hauteur ligne haute-collet	âge
St 712		P2 sup	gauche	1	Leg	1,2	5,60						
St 713		C inf	droit	4	Moy	1,3	5,96	2,4	5,50	3,5	5,04	4,6	4,59
St 713		C inf	gauche	4	Moy	1,5	5,88	2,7	5,38	3,6	5,00	4,5	4,63
St 713		C sup	droit	3	Leg	2,8	4,78	3,2	4,61			5	3,83
St 713		C sup	gauche	4	Moy	0,5	5,78	1,6	5,31	3,7	4,39	5,3	3,70
St 713		I1 inf	droit	1	Leg	4,1	2,61						
St 713		I1 sup	gauche	2	Leg	3,5	3,40					5,3	2,84
St 713		I1 sup	droit	2	Leg	3	3,56					5,4	2,80
St 713		I2 inf	droit	1	Leg	2,8	3,10						
St 713		I2 inf	gauche	2	Moy	2,8	3,10					4,6	2,51
St 713		M1 sup	gauche	1	Leg	1	3,13						
St 713		P1 inf	droit	2	Moy	1	5,52					2,3	4,90
St 713		P1 sup	gauche	2	Leg	1,5	5,44					2,7	4,99
St 713		P2 inf	gauche	3	Leg	1,6	6,22	2,8	5,64			3,9	5,10
St 713		P2 inf	droit	1	Moy	2	6,03						
St 713		P2 sup	gauche	1	Leg	1,3	5,57						
St 716		M1 inf	gauche	1	Leg	1	3,18						
St 716		I2 inf	droit	1	Leg	1,7	3,45						
St 716		I2 inf	gauche	1	Leg	1,5	3,52						
St 716		I1 inf	droit	1	Leg	1,3	3,56						
St 716		C sup	droit	2	Moy	2,6	4,87					3,7	4,39
St 716		C sup	gauche	2	Moy	2,4	4,96					3,5	4,48
St 716		P2 sup	droit	1	Leg	1,8	5,40						
St 716		P2 sup	gauche	1	Leg	1,7	5,43						
St 716		C inf	gauche	3	Moy	2,5	5,46	3,6	5,00			4,5	4,63
St 716		P1 inf	gauche	2	Leg	1	5,52					2	5,04
St 716		P1 inf	droit	1	Leg	0,9	5,57						
St 716		P1 sup	gauche	2	Leg	0,7	5,74					1,7	5,36
St 716		P1 sup	droit	2	Leg	0,6	5,78					1,5	5,44
St 716		P2 inf	droit	2	Leg	1,8	6,12					2,6	5,73
St 716		C inf	droit	4	Moy	0,7	6,21	1,9	5,71	2,9	5,29	4,4	4,67

Sépulture	Individu	Dent	Latéralisation	Nombre hypo	Intensité hypo	Hauteur ligne basse-collet	âge	Hauteur ligne moyenne 1-collet	âge	Hauteur ligne moyenne 2-collet	âge	Hauteur ligne haute-collet	âge
St 716		P2 inf	gauche	2	Moy	1,2	6,42					2,3	5,88
St 716		M2 inf	gauche	1	Leg	1,2	6,48						
St 716		M2 inf	droit	1	Leg	0,7	6,70						
St 718 C-1		C sup	gauche	3	Moy	1,7	5,26	2,9	4,74			4,3	4,13
St 718 C-1		P1 inf	gauche	1	L	1,4	5,33						
St 718 C-1		C inf	droit	2	Leg	2,7	5,38					3,8	4,92
St 718 C-1		P inf	inconnu	1	L	1,8	X						
St 720 C-1		C	droit	1	Cos	X	X						
St 721 C-1		I2 inf	inconnu	2	Leg	2,4	3,22					3	3,03
St 721 C-1		C inf	droit	1	Moy	1,9	5,71						
St 721 C-1		P2 sup	gauche	1	Moy	0,6	5,80						
St 722 C-1		I2 sup	gauche	1	Leg	2	4,02						
St 722 C-1		C sup	droit	1	Leg	2,4	4,96						
St 722 C-1		C sup	gauche	1	Leg	2,3	5,00						
St 722 C-1		P1 sup	gauche	1	Leg	1,5	5,44						
St 725		I2 sup	droit	2	Leg	1,4	4,17					2,9	3,81
St 725		C sup	droit	1	Leg	2,8	4,78						
St 725		P2 sup	gauche	1	Leg	2,1	5,30						
St 725		P1 sup	gauche	1	Leg	1,5	5,44						
St 725		P2 sup	droit	1	Leg	1,6	5,47						
St 725		P1 sup	droit	1	Leg	1,3	5,51						
St 725		P2 inf	gauche	2	Leg	0,9	6,56					1,8	6,12
St 725		P2 inf	droit	2	Moy	0,9	6,56					1,8	6,12
St 729		P1 inf	droit	1	Leg	1,8	5,14						
St 729		P1 inf	gauche	1	Leg	1,7	5,18						
St 729		P2 sup	droit	1	Leg	1,9	5,37						
St 729		P1 sup	droit	1	Leg	1,4	5,48						
St 729		P2 sup	gauche	1	Leg	1,4	5,53						
St 729		P1 sup	gauche	2	Leg	0,5	5,81					1,3	5,51
St 729		C inf	gauche	2	Leg	1,5	5,88					2,9	5,29
St 729		C inf	droit	2	Leg	1	6,08					2,5	5,46

Sépulture	Individu	Dent	Latéralisation	Nombre hypo	Intensité hypo	Hauteur ligne basse-collet	âge	Hauteur ligne moyenne 1-collet	âge	Hauteur ligne moyenne 2-collet	âge	Hauteur ligne haute-collet	âge
St 729		P2 inf	droit	1	Leg	1,3	6,37						
St 731 C-2		C sup	droit	2	Leg	2,5	4,92					3,4	4,52
St 731 C-2		P1 inf	droit	1	Moy	1,7	5,18						
St 731 C-2		P1 sup	gauche	2	Moy	1,9	5,29					3	4,88
St 731 C-2		P1 sup	droit	2	Moy	1,7	5,36					2,7	4,99
St 731 C-2		P2 sup	gauche	1	Leg	1,6	5,47						
St 731 C-2		P2 sup	droit	1	Leg	1,5	5,50						
St 731 C-2		P2 inf	gauche	1	Leg	1,8	6,12						
St 731 C-2		P2 inf	droit	1	Moy	1,6	6,22						
St 731 C-2		C sup	gauche	2	Leg	X	X					X	X
St 732 C-2		I1 inf	gauche	1	Leg	1,9	3,35						
St 732 C-2		I2 inf	droit	1	Leg	2	3,35						
St 732 C-2		I2 inf	gauche	1	Leg	1,9	3,39						
St 732 C-2		I2 sup	droit	2	Moy	1,1	4,24					2,7	3,85
St 732 C-2		I2 sup	gauche	2	Moy	1	4,26					2,7	3,85
St 732 C-2		C sup	gauche	1	Moy	1,5	5,35						
St 732 C-2		C sup	droit	1	Moy	1,5	5,35						
St 732 C-2		P1 inf	gauche	2	Moy	1,2	5,42					2,6	4,75
St 732 C-2		P1 sup	gauche	1	Moy	1,4	5,48						
St 732 C-2		P1 sup	droit	1	Moy	1,4	5,48						
St 732 C-2		P1 inf	droit	2	Moy	0,9	5,57					2,5	4,80
St 732 C-2		P2 sup	droit	2	Moy	0,7	5,77					2,3	5,23
St 732 C-2		P2 sup	gauche	2	Moy	0,6	5,80					1,9	5,37
St 732 C-2		C inf	gauche	2	Moy	1,5	5,88					2,9	5,29
St 732 C-2		C inf	droit	1	Moy	0,7	6,21						
St 732 C-2		P2 inf	droit	1	Moy	1,4	6,32						
St 732 C-2		P2 inf	gauche	1	Moy	1,2	6,42						
St 737 C-2		I1 sup	inconnu	2	Leg	2,3	3,78					3,9	3,28
St 737 C-2		I1 sup	inconnu	2	Leg	2,2	3,81					3,9	3,28
St 737 C-2		I2 sup	droit	2	Leg	0,9	4,28					1,9	4,05
St 737 C-2		C sup	droit	1	Leg	1,9	5,18						

Sépulture	Individu	Dent	Latéralisation	Nombre hypo	Intensité hypo	Hauteur ligne basse-collet	âge	Hauteur ligne moyenne 1-collet	âge	Hauteur ligne moyenne 2-collet	âge	Hauteur ligne haute-collet	âge
St 737 C-2		C sup	gauche	1	Leg	1,7	5,26						
St 737 C-2		P1 inf	gauche	1	Leg	1,2	5,42						
St 737 C-2		C inf	droit	1	Leg	0,9	6,13						
St 737 C-2		P2 inf	gauche	1	Leg	0,6	6,71						
St 740 C-1		P1 inf	gauche	1	Leg	2	5,04						
St 741 C-1		C sup	gauche	1	Leg	1,2	5,48						
St 741 C-1		I2 sup	gauche	2	Leg	1,4	4,17					2,7	3,85
St 742 C-1		I2 inf	droit	2	Leg	1,6	3,48					2,7	3,13
St 742 C-1		I2 inf	gauche	2	Leg	1,4	3,55					2,9	3,06
St 742 C-1		I2 sup	gauche	1	Leg	1,3	4,19						
St 742 C-1		C inf	gauche	1	Leg	3,2	5,17						
St 742 C-1		C inf	droit	1	Leg	3,1	5,21						
St 742 C-1		C sup	gauche	2	Moy	1,5	5,35					2,5	4,92
St 742 C-1		P1 sup	inconnu	1	Leg	1	5,63						
St 742 C-1		P2 inf	droit	2	Moy	X	X					X	X
St 742 C-1		P2 inf	gauche	2	Moy	X	X					X	X
St 743 C-1		I2 sup	droit	1	Leg	3,4	3,69						
St 743 C-1		I1 sup	gauche	2	Moy	2	3,87					3,9	3,28
St 743 C-1		I2 sup	gauche	1	Leg	2,3	3,95						
St 743 C-1		I1 sup	droit	2	Moy	1,7	3,97					3,8	3,31
St 743 C-1		C sup	gauche	1	Leg	2,5	4,92						
St 743 C-1		C inf	gauche	1	Leg	2,3	5,54						
St 743 C-1		P2 inf	gauche	1	Leg	1	6,51						
St 748		I2 inf	gauche	1	Leg	1,5	3,52						
St 748		P1 inf	gauche	1	Moy	0,7	5,66						
St 748		P1 sup	droit	1	Leg	0,8	5,70						
St 748		P1 sup	gauche	1	Leg	0,7	5,74						
St 748		M3 inf	gauche	1	Moy	1,4	> 10 ans						
St 757		M1 inf	droit	1	Leg	2,9	2,56						
St 757		M1 inf	gauche	1	Leg	2,7	2,63						
St 757		M1 sup	droit	1	Leg	2,1	2,72						

Sépulture	Individu	Dent	Latéralisation	Nombre hypo	Intensité hypo	Hauteur ligne basse-collet	âge	Hauteur ligne moyenne 1-collet	âge	Hauteur ligne moyenne 2-collet	âge	Hauteur ligne haute-collet	âge
St 757		M1 sup	gauche	1	Leg	1,9	2,80						
St 757		I2 inf	droit	1	Moy	3,5	2,87						
St 757		I2 inf	gauche	1	Moy	2,9	3,06						
St 757		I2 sup	droit	2	Moy	2,1	4,00					3,4	3,69
St 757		I2 sup	gauche	2	Moy	2,1	4,00					3,2	3,74
St 757		P1 sup	gauche	1	Moy	1,8	5,33						
St 757		C inf	droit	3	Moy	1	6,08	1,9	5,71			2,8	5,34
St 757		C inf	gauche	3	Moy	0,9	6,13	1,9	5,71			3	5,25
St 803		I1 sup	gauche	1	Leg	3,7	3,34						
St 803		I1 sup	droit	2	Leg	2,6	3,68					4,3	3,15
St 803		P1 inf	droit	1	Leg	0,9	5,57						
St 803		P1 sup	droit	1	Leg	0,9	5,66						
St 803		P1 sup	gauche	1	Leg	0,9	5,66						
St 803		P2 sup	droit	1	Leg	1	5,67						
St 803		P2 inf	droit	1	Leg	1,5	6,27						
St 803		P2 inf	gauche	1	Leg	1,4	6,32						
St 807		C sup	gauche	2	Moy	2,8	4,78					4,4	4,09
St 807		C inf	gauche	2	Moy	2,9	5,29					4,2	4,75
St 807		P1 sup	droit	1	Leg	1,3	5,51						
St 822		P2 inf	gauche	1	Leg	0,9	6,56						
St 823		I2 inf	droit	1	Leg	1,8	3,42						
St 823		I2 inf	gauche	1	Leg	1,6	3,48						
St 823		C sup	gauche	2	Leg	2,5	4,92					5,3	3,70
St 823		C sup	droit	3	Leg	2,4	4,96	3,6	4,44			4,9	3,87
St 823		P2 sup	gauche	1	Leg	2,5	5,17						
St 823		P1 sup	droit	1	Leg	1,9	5,29						
St 823		P1 sup	gauche	1	Leg	1,7	5,36						
St 823		P2 sup	droit	1	Leg	1,8	5,40						
St 823		P1 inf	droit	2	Leg	1,1	5,47					2,3	4,90
St 823		P1 inf	gauche	2	Leg	0,9	5,57					2,3	4,90
St 823		C inf	droit	3	Leg	2	5,67	3,3	5,13			4	4,84

Sépulture	Individu	Dent	Latéralisation	Nombre hypo	Intensité hypo	Hauteur ligne basse-collet	âge	Hauteur ligne moyenne 1-collet	âge	Hauteur ligne moyenne 2-collet	âge	Hauteur ligne haute-collet	âge
St 823		P2 inf	gauche	2	Leg	1,4	6,32					2,5	5,78
St 823		P2 inf	droit	2	Leg	1,4	6,32					2,3	5,88
St 823		M2 sup	gauche	1	Leg	2,2	6,41						
St 823		M2 sup	droit	1	Leg	1,9	6,56						
St 823		M3 inf	gauche	2	Moy	0,9	> 10 ans					2,1	> 10 ans
St 823		M3 sup	gauche	1	Leg	3,2	> 10 ans						
St 823		C inf	gauche	3	Leg	X	X	X	X			X	X
St 826		I1 inf	inconnu	2	Moy	2,9	3,01					4,3	2,54
St 826		M1 inf	droit	1	Moy	1,4	3,05						
St 826		I1 sup	gauche	2	Moy	4,2	3,18					6	2,62
St 826		I1 sup	droit	2	Moy	3,9	3,28					6	2,62
St 826		I2 inf	inconnu	3	Moy	1,6	3,48	3	3,03			5	2,39
St 826		I2 inf	inconnu	2	Moy	1,5	3,52					3	3,03
St 826		P1 inf	gauche	2	Leg	1,9	5,09					3,4	4,37
St 826		P1 inf	droit	2	Moy	1,7	5,18					2,9	4,61
St 826		C sup	gauche	2	Leg	1,4	5,39					2,6	4,87
St 826		C sup	droit	1	Leg	1,4	5,39						
St 826		P2 sup	droit	1	Moy	1,3	5,57						
St 826		P2 sup	gauche	1	Moy	1,2	5,60						
St 826		P1 sup	droit	3	Moy	1	5,63	2,3	5,14			3,8	4,58
St 826		C inf	gauche	2	Moy	1,9	5,71					2,9	5,29
St 826		P2 inf	gauche	1	Moy	1,9	6,07						
St 826		M3 inf	inconnu	1	Leg	0,9	> 10 ans						
St 826		M3 sup	gauche	1	Leg	0,9	> 10 ans						
St 826		C inf	droit	2	Moy	X	X					3,1	5,21
St 830		I2 sup	droit	1	Leg	1,5	4,14						
St 830		P2 sup	droit	1	Leg	2,4	5,20						
St 830		P1 inf	gauche	2	Leg	1,5	5,28					2,4	4,85
St 830		P1 sup	droit	1	Leg	1,9	5,29						
St 830		C sup	droit	2	Leg	1,6	5,31					2,9	4,74
St 830		P1 inf	droit	2	Moy	1,2	5,42					2,3	4,90

Sépulture	Individu	Dent	Latéralisation	Nombre hypo	Intensité hypo	Hauteur ligne basse-collet	âge	Hauteur ligne moyenne 1-collet	âge	Hauteur ligne moyenne 2-collet	âge	Hauteur ligne haute-collet	âge
St 830		C inf	gauche	1	Leg	2,3	5,54						
St 830		P2 inf	droit	1	Leg	1,8	6,12						
St 830		M2 sup	droit	1	Leg	2,4	6,31						
St 830		M3 sup	droit	1	Moy	1,4	> 10 ans						
St 830		M3 sup	droit	1	Moy	1,3	> 10 ans						
St 830		C sup	gauche	2	Leg	X	X					3,4	4,52
St 832	ind 1	C inf	droit	1	Moy	X	X						
St 832	ind 3	I2 sup	gauche	2	Leg	0,7	4,33					2,3	3,95
St 833 C-4		P sup	droit	1	Moy	1,3	X						
St 836		I1 inf	droit	1	Moy	2,5	3,15						
St 836		I1 inf	gauche	1	Leg	2,3	3,22						
St 836		P1 sup	gauche	2	Leg	1,2	5,55						
St 836		C inf	gauche	2	Leg	1	6,08						
St 839 C-4	ind 1	C inf	gauche	3	Leg	2,4	5,50	3,4	5,09				
St 839 C-4	ind 1	C inf	gauche	2	Leg	2	5,67						
St 839 C-4	ind 2	C sup	droit	1	Leg	1,8	5,22						
St 839 C-4	ind 2	P2 inf	gauche	2	Leg	2	6,03						
St 839 C-4	ind 3	M3 inf	gauche	1	Moy	2,4	> 10 ans						
St 846 C-4		I2 inf	gauche	2	Leg	0,9	3,71						
St 846 C-4		C inf	droit	3	Leg	3,4	5,09	4,5	4,63				
St 846 C-4		C inf	gauche	4	Moy	1,2	6,00	2,6	5,42	3,9	4,88		
St 846 C-4		P2 inf	gauche	3	Moy	1	6,51	1,9	6,07				
St 846 C-4		M3 inf	inconnu	1	Leg	1,2	> 10 ans						
St 847 C-3		C inf	gauche	3	Moy	2,7	5,38	3,7	4,96				
St 847 C-3		P2 inf	droit	2	Leg	1,5	6,27						
St 847 C-3		M2 inf	droit	2	Moy	1,4	6,39						
St 847 C-3		M3 inf	droit	1	Moy	2,3	> 10 ans						
St 847 C-3		P sup	inconnu	2	Moy	1,2	X					2,3	X
St 848 C-3		P1 inf	droit	1	Moy	2,1	4,99						
St 851	ind 1	P2 inf	droit	1	Leg	1,9	6,07						
St 854 C-3		I2 inf	droit	1	Leg	2,9	3,06						

Sépulture	Individu	Dent	Latéralisation	Nombre hypo	Intensité hypo	Hauteur ligne basse-collet	âge	Hauteur ligne moyenne 1-collet	âge	Hauteur ligne moyenne 2-collet	âge	Hauteur ligne haute-collet	âge
St 854 C-3		I2 inf	gauche	1	Leg	2,8	3,10						
St 854 C-3		I1 inf	inconnu	1	Leg	2,5	3,15						
St 854 C-3		I1 sup	droit	1	Leg	3,4	3,43						
St 854 C-3		I1 sup	gauche	1	Leg	3	3,56						
St 860 C-7		I1 sup	droit	1	Moy	3,1	3,53						
St 860 C-7		M2 inf	gauche	1	Moy	0,6	6,74						
St 860 C-7		M3 sup	gauche	1	Moy	1	> 10 ans						
St 860 C-7		M3 sup	droit	1	Moy	1	> 10 ans						
St 860 C-7		P sup	gauche	2	Leg	1	X					2,5	X
St 860 C-7		P sup	droit	2	Leg	0,6	X					2	X
St 861 C-7		C inf	droit	2	Leg	2	5,67					3,2	5,17
St 861 C-7		M2 sup	gauche	1	Leg	1,9	6,56						
St 863 C-7		C inf	gauche	2	Leg	2,3	5,54					3,4	5,09
St 863 C-7		P2 inf	gauche	1	Moy	1,6	6,22						
St 863 C-7		C sup	droit	1	Leg	X	X						
St 941		C inf	gauche	1	Leg	1,9	5,71						
St 941		C inf	droit	1	Leg	1,9	5,71						
St 943		I2 inf	gauche	1	Leg	3,8	2,77						
St 943		I2 inf	droit	1	Leg	3,6	2,84						
St 943		I1 inf	droit	1	Leg	2,6	3,12						
St 943		I1 sup	gauche	1	Leg	4,4	3,12						
St 943		C inf	droit	2	Leg	2,8	5,34					4,3	4,71
St 943		C sup	gauche	1	Leg	1,5	5,35						
St 943		C sup	droit	2	Leg	1,4	5,39					2,3	5,00
St 943		C inf	gauche	2	Leg	2,3	5,54					4,2	4,75

Annexe 2.30 : Tell Ain el-Kerkh, tableau de données brutes pour le calcul de l'âge de formation des hypoplasies

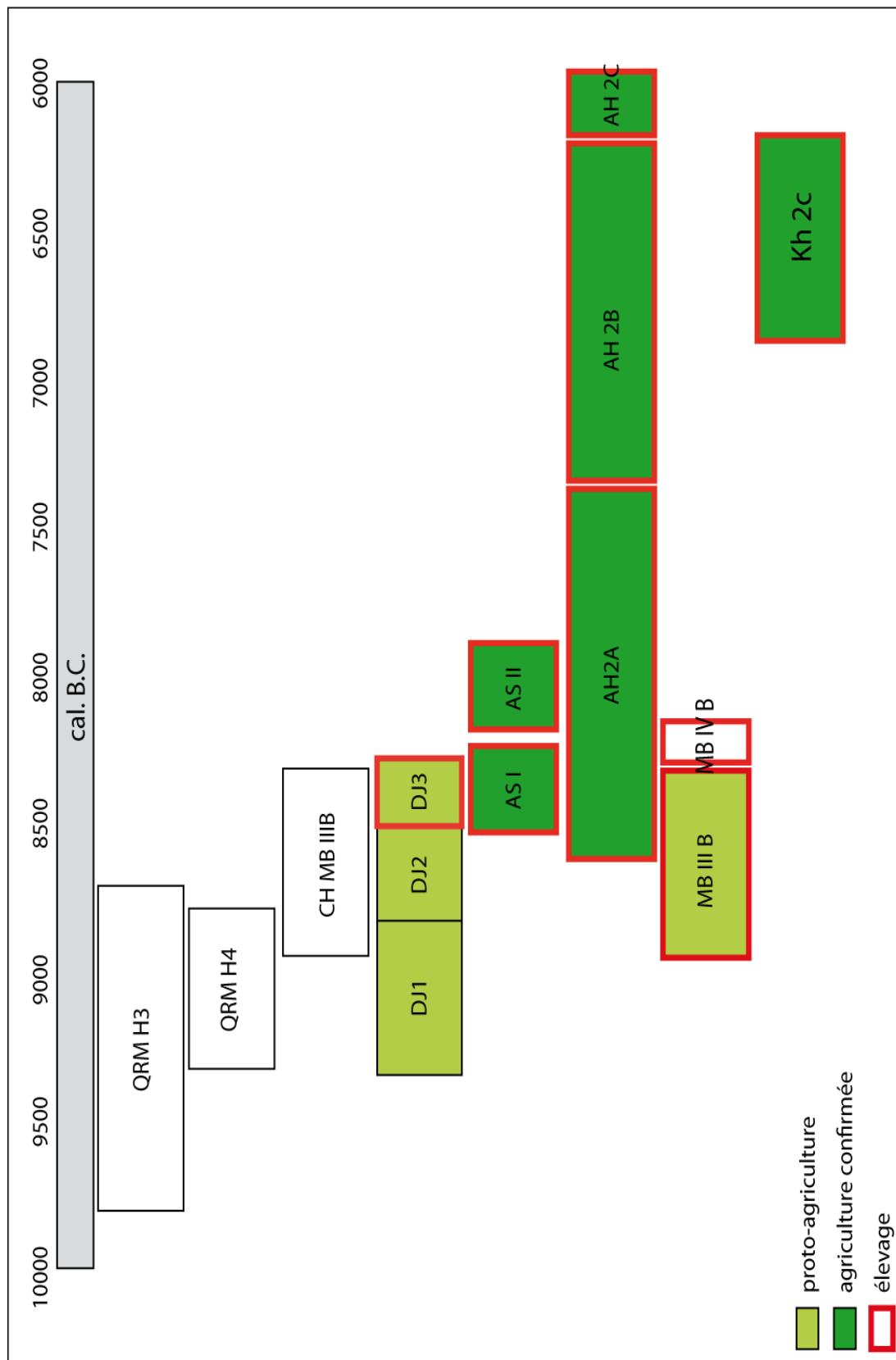
individu	nombre de dents avec hypoplasies	nombre d'épisodes de stress	estimation âge de l'épisode de stress
C-10	3	2	3-3,5 ans
			5 ans
St 711	10	2	3-4 ans
			5,5-6,5 ans
St 712	19	2	3-4 ans
			5-6,5 ans
St 713	15	3	2,5-3,5 ans
			4,5-5,5 ans
			6-6,5 ans
St 716	18	3	3,5-4,5 ans
			5-5,5 ans
			6-6,5 ans
St 718 C-1	4	2	4-5 ans
			5-5,5 ans
St 720 C-1	1	1	indet
St 721 C-1	3	2	3-3,5 ans
			5,5-6 ans
St 722 C-1	4	2	4 ans
			5-5,5 ans
St 725	8	2	4-5 ans
			5,5-6,5 ans
St 729	9	2	5-6 ans
			6-6,5 ans
St 731 C-2	9	2	4,5-5,5 ans
			6-6,5 ans
St 732 C-2	17	2	3,5-4,5 ans
			5,5-6,5 ans
St 737 C-2	8	2	3,5-4 ans
			5,5-6,5 ans
St 740 C-1	1	1	5 ans
St 741 C-1	2	2	3,5-4,5 ans
			5,5 ans
St 742 C-1	9	2	3-3,5 ans
			4,5-5,5 ans
St 743 C-1	7	2	3,5-4 ans
			5-6,5 ans
St 748	5	3	3,5 ans
			5,5 ans
			> 10 ans
St 757	11	3	2,5-3 ans
			3,5-4 ans
			5,5-6 ans
St 803	8	2	3-3,5 ans
			5,5-6,5 ans
St 807	3	2	4-4,5 ans
			5-5,5 ans
St 822	1	1	6,5 ans

individu	nombre de dents avec hypoplasies	nombre d'épisodes de stress	estimation âge de l'épisode de stress
St 823	18	3	3,5-4,5 ans
			5-6,5 ans
			> 10 ans
St 826	18	3	2,5-3,5 ans
			5-6,5 ans
			> 10 ans
St 830	12	3	4,5 ans
			5-6,5 ans
			> 10 ans
St 832 ind 1	1	1	indet
St 832 ind 3	1	1	4-4,5 ans
St 833 C-4	1	1	indet
St 836	4	2	3-3,5 ans
			5-6 ans
St 839 C-4 ind 1	2	1	4,5-5,5 ans
St 839 C-4 ind 2	2	1	5-6 ans
St 839 C-4 ind 3	1	1	> 10 ans
St 846 C-4	5	4	3,5-4,5 ans
			5-5,5 ans
			6-6,5 ans
			> 10 ans
St 847 C-3	5	3	4,5-5,5 ans
			6-6,5 ans
			> 10 ans
St 848 C-3	1	1	5 ans
St 851 ind 1	1	1	6 ans
St 854 C-3	5	1	3-3,5 ans
St 860 C-7	6	3	3,5 ans
			6,5-7 ans
			> 10 ans
St 861 C-7	2	1	5,5-6,5 ans
St 863 C-7	3	2	5 ans
			5,5-6,5 ans
St 941	2	1	5,5 ans
St 943	8	2	2,5-3,5 ans
			4,5-5,5 ans

Annexe 2.31 : Tell Ain el-Kerkh, estimation de l'âge des épisodes de stress selon les lignes d'hypoplasies

	Tell Qaramel		Cheikh Hassan		Dja'de el-Mughara		Tell Aswad		Abu Hureyra		Tell Mureybet		Tell Ain el-Kerkh		Total par période
	période	NMI étudié	période	NMI étudié	période	NMI étudié	période	NMI étudié	période	NMI étudié	période	NMI étudié	période	NMI étudié	
Natoufien ancien															
Natoufien moyen															
Natoufien récent/final									AH 1	3					
Khiamien															
PPNA ancien															
PPNA moyen	H3	2													
PPNA final	H4	11			DJ 1	5									
transition PPNA-PPNB			Mb IIIb	14								Mb IIIb	6		38
début PPNB ancien					DJ 2	26									
PPNB ancien					DJ 3	85	Asw ancien	2							113
PPNB moyen							Asw moyen ou récent	8	AH 2A	60	MB IVb	6			
PPNB récent									AH 2B	107					181
Néolithique céramique ancien															
Néolithique céramique moyen									AH 2C	8			2c	89	97
Néolithique céramique récent															
NMI Total Site		13		14		116		10		178		12		89	429

Annexe 2.32 : Répartition des individus étudiés selon la chronologie de la Néolithisation



Annexe 2.33 : Frise chronologique avec proto-agriculture, agriculture et élevage (DAO B. Chamel)

Site	datation	période	présence bovins	individu	âge	sexe	os concernés	type de lésion	confirmation ADN
Kocabaş	510000-490000	Pléistocène moyen	oui (sauvages)	Homo erectus	15-40 ans	homme ??	os frontal	<i>leptomeningitis tuberculosa</i>	non
Dja'de el-Mughara	8800-8500 cal. BC	début PPNB ancien	oui (sauvages)	675	immature 8-9,5 ans	indéterminé	os longs et côtes	réactions périostées	en cours (O. Baker, en préparation)
Dja'de el-Mughara	8800-8500 cal. BC	début PPNB ancien	oui (sauvages)	483	immature 1-2 ans	indéterminé	os longs	réactions périostées	en cours (O. Baker, en préparation)
Dja'de el-Mughara	8540-8290 cal. BC	fin PPNB ancien	oui (proto-domestication)	304	adulte 40+ ans	indéterminé	vertèbres thoraciques	destruction corps vertébral	en cours (O. Baker, en préparation, O. Baker et al. 2012a et b)
Abu Hureyra	7350-6200 cal. BC	PPNB récent	oui (domestiques ou sauvages ?)	73-2771	adulte 50-60+ ans	indéterminé	vertèbres lombaires 4 et 5	destruction corps vertébral et ankylose	non
Atlit Yam	9250-8160 BP	PPNC	oui (domestiques)	AY 1 ¹	adulte 25 ans	femme	crâne et os longs	<i>serpens endocrania symmetrica</i> et réactions périostées	oui (M. tuberculosis)
Atlit Yam	9250-8160 BP	PPNC	oui (domestiques)	AY 2 ¹	immature 1 an	indéterminé	tibia	réaction périostée	oui (M. tuberculosis)
Tell Ain el-Kerh	6800-6200 cal. BC	Néolithique céramique moyen	oui (domestiques)	St. 748	adulte 30-59 ans	indéterminé	vertèbres lombaires, thoraciques, côtes et crâne	destruction corps vertébral, hypervascularisation, réaction périostées et sinuosités endocrâniennes	non
Ain Ghazal	6000ca-5750 BC	PPNC	oui (domestiques)	cas n°1	adulte 30 ans	homme	VC n°5	ostéopathie et cavitations	non

Site	datation	période	présence bovins	individu	âge	sexe	os concernés	type de lésion	confirmation ADN
Ain Ghazal	6000ca-5750 BC	PPNC	oui (domestiques)	cas n°2	adulte 20-25 ans	indéterminé	VC n°6	lésions lytiques	non
Ain Ghazal	6000ca-5750 BC	PPNC	oui (domestiques)	cas n°3	adulte 40+ ans	femme	VT n°2	lésions circonférentielles et ostéoarthrite	non

Annexe 2.34 : Tuberculose : cas de tuberculose au Proche-Orient – les cases grisées proviennent de notre corpus (d’après El-Najjar *et al.* 1996, Hershkovitz *et al.* 2008 et Kappelman *et al.* 2008)

1 Les numéros des individus provenant du site d’Atlit Yam ne sont pas mentionnés dans la publication, c’est pourquoi nous avons donné des numéros arbitrairement

Caractéristique	comparaison entre	type de test	valeur X^2	p=
périostite infra-crânienne comptage par individus	PPNA & PPNB ancien	Fisher	X	0,6881
	PPNB ancien & PPNB moyen-récent	Chi2	1,691	0,1934
	PPNB moyen-récent & Néolithique céramique	Chi2	4,767	0,0290
	4 périodes	Fisher	X	0,1597
périostite tête osseuse	PPNA & PPNB ancien	Chi2	2,244	0,1341
	PPNB ancien & PPNB moyen-récent	Chi2	10,272	0,0013
	PPNB moyen-récent & Néolithique céramique	Fisher	X	0,7080
	4 périodes	Chi2	16,739	0,0007

Annexe 2.35 : Chapitre 5, résultat des divers tests de χ^2 et de Fisher pour les pathologies infectieuses (les différences significatives sont grisées)

Site	Phase	Restes végétaux		Restes animaux	
		ramassés	cultivés	chassés	élevés
Tell Qaramel	H3	blé engrain		aurochs	
		orge			
		blé amidonnier			
		lentille			
		pois			
		vesce			
		terébinthe orientale			
		amande			
		micocoulier			
	pas de données		daim de mésopotamie	chien ?	
Cheikh hassan	MB //IB	pas de données		âne	
				hémione	
Dja'de el-Mughara	DJ 1	orge	blé engrain ?	aurochs	
		seigle			
		blé engrain			
		lentille			
		pois chiche			
	DJ 2	fève		gazelle	chien ?
		terébinthe orientale			
		amande			
		poire			
		figue			
DJ 3	raisin				
	blé amidonnier	blé amidonnier ?		boeuf ?	

Tell Aswad	AS IA	orge	blé amidonnier	gazelle	mouton ?
		lentilles		chèvre	chèvre ?
		pois			
		figue			
		capre			
		terébinthe orientale			
		amande			
	AS II	pois	orge à 2 rangs	sanglier	bœuf
		lentille	blé amidonnier	chèvre	porc
		pois chiche	blé nu	gazelle	mouton
		raisin	orge nu	mouflon	chèvre
			lin	âne	
			blé engrain	hémione	
			pois	daim	
Abu Hureyra	2A	seigle	pois chiche		chèvre
		orge vêtu	blé engrain	mouflon	
		lentille	blé amidonnier	gazelle	
		pois chiche	orge vêtu	hémione	
				aurochs	
	2B	même plantes que phase précédente			sanglier
					onagre
					daim
2C		orge	orge	mouflon	mouton
		blé engrain	blé engrain	gazelle	chèvre
		blé dur	blé dur	hémione	
		pois chiche	pois chiche	aurochs	
			sanglier		
			onagre		
			daim		
			chevreuil	mouton	
				chèvre	
				bœuf	
				porc	

Tell Mureybet	MB III/B	blé engrain	blé engrain ?	gazelle	chien
		orge	lentille ?	équidés	
	seigle		mouflon		
	lentille		sanglier		
MB I/VB	pas de données		pas de données	aurochs	caprinés
				équidés	mouton
				gazelle	boeuf ?
Tell Ain el-Kerkh	Kh 2c	blé engrain	blé amidonnier	gazelle	boeuf
		pois chiche	orge ?	cervidés	porc
		fève			mouton
		lentille			chèvre
		vesce			

Annexe 2.36 : Restes de plantes et d'animaux découverts dans les sites étudiés ainsi que leur statut (domestiques ou sauvages)

Caractéristique	comparaison entre	type de test	valeur X ²	p=
caries comptage par dents (fréquences brutes)	PPNA & PPNB ancien	Chi2	3,365	0,0665
	PPNB ancien & PPNB moyen-récent	Chi2	6,151	0,0131
	PPNB moyen-récent & Néolithique céramique	Chi2	35,577	0,0000
	4 périodes	Chi2	44,67	0,0000
caries comptage par individus	PPNA & PPNB ancien	Fisher	X	1,0000
	PPNB ancien & PPNB moyen-récent	Chi2	0,297	0,5857
	PPNB moyen-récent & Néolithique céramique	Chi2	21,929	0,0000
	4 périodes	Chi2	27,513	0,0000
Nombre de caries de stade 4	PPNB ancien & PPNB moyen-récent	Chi2	3,411	0,0647
	PPNB moyen-récent & Néolithique céramique	Chi2	7,074	0,0078
lésions interproximales (caries)	PPNB ancien & PPNB moyen-récent	Chi2	0,454	0,5004
	PPNB moyen-récent & Néolithique céramique	Chi2	1,55	0,2131
lésions au collet (caries)	PPNB ancien & PPNB moyen-récent	Chi2	2,173	0,1404
	PPNB moyen-récent & Néolithique céramique	Chi2	0,112	0,7378
caries comptage par dents (fréquences calibrées)	PPNA & PPNB ancien	Chi2	0,378	0,5386
	PPNB ancien & PPNB moyen-récent	Chi2	0,455	0,4999
	PPNB moyen-récent & Néolithique céramique	Chi2	1,725	0,1890
	4 périodes	Chi2	2,37	0,4992
kystes, granulomes, abcès comptage par alvéoles	PPNA & PPNB ancien	Chi2	1,405	0,2358
	PPNB ancien & PPNB moyen-récent	Chi2	1,366	0,2425
	PPNB moyen-récent & Néolithique céramique	Chi2	0,741	0,3893
	4 périodes	Chi2	9,295	0,0256
kystes, granulomes, abcès comptage par individus	PPNA & PPNB ancien	Fisher	X	0,0434
	PPNB ancien & PPNB moyen-récent	Chi2	0,073	0,7870
	PPNB moyen-récent & Néolithique céramique	Fisher	X	0,1294
	4 périodes	Fisher	X	0,0208

Caractéristique	comparaison entre	type de test	valeur χ^2	p=
perte de dents <i>ante-mortem</i> comptage par alvéoles	PPNA & PPNB ancien	Chi2	0,062	0,8033
	PPNB ancien & PPNB moyen-récent	Chi2	2,061	0,1511
	PPNB moyen-récent & Néolithique céramique	Chi2	0,37	0,5430
	4 périodes	Chi2	3,287	0,3487
perte de dents <i>ante-mortem</i> comptage par individus	PPNA & PPNB ancien	Fisher	X	0,3561
	PPNB ancien & PPNB moyen-récent	Chi2	2,057	0,1515
	PPNB moyen-récent & Néolithique céramique	Chi2	0,187	0,6654
	4 périodes	Chi2	3,279	0,3505
maladie parodontale comptage par alvéoles	PPNA & PPNB ancien	Chi2	0,302	0,5826
	PPNB ancien & PPNB moyen-récent	Chi2	7,516	0,0061
	PPNB moyen-récent & Néolithique céramique	Chi2	4,758	0,0291
	4 périodes	Chi2	11,749	0,0082
maladie parodontale comptage par individus	PPNA & PPNB ancien	Fisher	X	0,1692
	PPNB ancien & PPNB moyen-récent	Chi2	1,804	0,1792
	PPNB moyen-récent & Néolithique céramique	Chi2	0,177	0,6739
	4 périodes	Fisher	X	0,2963
maladie parodontale lésions de stade 2	PPNB ancien & PPNB moyen-récent	Chi2	17,907	0,0000
	PPNB moyen-récent & Néolithique céramique	Chi2	14,193	0,0001

Annexe 2.37 : Chapitre 5, résultat des divers tests de χ^2 et de Fisher pour les pathologies dentaires (les différences significatives sont grisées)

PPNA									
Dents supérieures permanentes	M3	M2	M1	P2	P1	C	I2	I1	
N dents observées	22	24	26	17	21	19	15	11	
N dents atteintes	1	4	5	3	2	0	0	0	
% caries-abcès-PAM	4,5%	16,7%	19,2%	17,6%	9,5%	0%	0%	0%	
% caries-abcès-PAM	12%	7,4%	35,5%	8%	4,8%	0%	0%	0%	
N dents atteintes	3	2	11	2	1	0	0	0	
N dents observées	25	27	31	25	21	24	19	19	
Dents inférieures permanentes	M3	M2	M1	P2	P1	C	I2	I1	

PPNB ancien									
Dents supérieures	M3	M2	M1	dm1	P2	P1	C	I2	I1
N dents observées	29	38	59	21	32	37	26	31	34
N dents atteintes	3	5	9	1	4	5	3	4	1
% caries-abcès-PAM	10,3%	13,1%	15,2%	4,8%	12,5%	13,5%	11,5%	12,9%	2,9%
% caries-abcès-PAM	22,5%	10%	11,1%	0%	2,8%	5,4%	0%	3,3%	3,8%
N dents atteintes	9	5	8	0	1	2	0	1	1
N dents observées	40	50	72	23	35	37	33	30	26
Dents inférieures	M3	M2	M1	dm1	P2	P1	C	I2	I1

PPNB moyen-récent									
Dents supérieures permanentes	M3	M2	M1	P2	P1	C	I2	I1	
N dents observées	62	82	90	67	60	79	66	69	
N dents atteintes	4	7	12	7	3	3	1	0	
% caries-abcès-PAM	6,4%	8,5%	13,3%	10,4%	10%	3,8%	1,5%	0%	
% caries-abcès-PAM	12,1%	10,6%	13,1%	11,8%	10,9%	8,6%	8,1%	10%	
N dents atteintes	8	9	13	8	7	5	5	5	
N dents observées	66	85	99	68	64	58	62	50	
Dents inférieures permanentes	M3	M2	M1	P2	P1	C	I2	I1	

Néolithique céramique									
Dents supérieures	M3	M2	M1	dm2	P2	P1	C	I2	I1
N dents observées	41	47	63	18	55	53	60	54	65
N dents atteintes	7	9	8	0	5	2	2	2	1
% caries-abcès-PAM	17,1%	19,1%	12,7%	0%	9,1%	3,8%	3,3%	3,7%	1,5%
% caries-abcès-PAM	12,2%	18,7%	22,5%	7,7%	15,9%	8,1%	0%	1,7%	6,2%
N dents atteintes	5	12	16	1	10	5	0	1	4
N dents observées	41	64	71	13	63	62	70	58	64
Dents inférieures	M3	M2	M1	dm2	P2	P1	C	I2	I1

Type de dents avec caries, abcès et PAM

Annexe 2.38 : Caries estimées, type de dents présentant des caries, des abcès et perdues *ante-mortem* pour les quatre périodes

Caractéristique	comparaison entre	type de test	valeur X ²	p=
tartre comptage par dents	PPNA & PPNB ancien	Chi2	1,773	0,1830
	PPNB ancien & PPNB moyen-récent	Chi2	1,83	0,1761
	PPNB moyen-récent & Néolithique céramique	Chi2	0,203	0,6523
	4 périodes	Chi2	2,475	0,4798
tartre comptage par individus	PPNA & PPNB ancien	Chi2	0,061	0,8049
	PPNB ancien & PPNB moyen-récent	Chi2	0,109	0,7412
	PPNB moyen-récent & Néolithique céramique	Chi2	0,109	0,7412
	4 périodes	Chi2	0,296	0,9607
Usure dentaire comptage par dents	PPNA & PPNB ancien	Chi2	79,537	0,0000
	PPNB ancien & PPNB moyen-récent	Chi2	70,422	0,0000
	PPNB moyen-récent & Néolithique céramique	Chi2	1,506	0,2197
	4 périodes	Chi2	130,253	0,0000
Usure dentaire comptage par individus	PPNA & PPNB ancien	Chi2	3,123	0,0771
	PPNB ancien & PPNB moyen-récent	Chi2	0,535	0,4645
	PPNB moyen-récent & Néolithique céramique	Chi2	2,538	0,1111
	4 périodes	Chi2	6,689	0,0824
stades d'usure 2	PPNA & PPNB moyen-récent	Chi2	3,21	0,0731
stades d'usure 2	PPNA et Néolithique céramique	Chi2	29,503	0,0000
stades d'usure 3	PPNA & PPNB moyen-récent	Chi2	2,475	0,1156
stades d'usure 3	PPNA et Néolithique céramique	Chi2	30,352	0,0000
stades d'usure 6-7-8	PPNA & PPNB moyen-récent	Chi2	13,778	0,0002
stades d'usure 6-7-8	PPNA et Néolithique céramique	Chi2	180,635	0,0000

Annexe 2.39 : Chapitre 5, résultat des divers tests de Chi² et de Fisher pour le tartre et l'usure (les différences significatives sont grisées)

PPNA								
Dents supérieures permanentes	M3	M2	M1	P2	P1	C	I2	I1
N dents observées	17	21	20	12	18	15	7	6
N dents atteintes	6	11	10	8	8	7	3	1
% tartre	35,3%	52,4%	50%	66,7%	44,4%	46,7%	42,8%	16,7%
% tartre	55%	45,8%	46,1%	65%	66,7%	85,7%	94,1%	93,7%
N dents atteintes	11	11	12	13	12	18	16	15
N dents observées	20	24	26	20	18	21	17	16
Dents inférieures permanentes	M3	M2	M1	P2	P1	C	I2	I1

PPNB ancien								
Dents supérieures permanentes	M3	M2	M1	P2	P1	C	I2	I1
N dents observées	25	30	46	22	28	22	26	11
N dents atteintes	16	14	19	8	14	6	10	3
% tartre	64%	46,7%	41,3%	36,4%	50%	27,3%	38,5%	27%
% tartre	78,1%	69,1%	62%	73,3%	72,7%	74,1%	82,7%	87,5%
N dents atteintes	25	29	34	22	24	20	24	21
N dents observées	32	42	55	30	33	27	29	24
Dents inférieures permanentes	M3	M2	M1	P2	P1	C	I2	I1

PPNB moyen-récent								
Dents supérieures permanentes	M3	M2	M1	P2	P1	C	I2	I1
N dents observées	59	72	73	55	52	70	61	64
N dents atteintes	36	48	47	37	26	38	26	32
% tartre	61%	66,7%	64,4%	67,3%	50%	54,3%	42,6%	50%
% tartre	83%	68,1%	56,4%	85,2%	79,2%	88,2%	72,7%	80,5%
N dents atteintes	44	49	44	46	42	45	40	33
N dents observées	53	72	78	54	53	51	55	41
Dents inférieures permanentes	M3	M2	M1	P2	P1	C	I2	I1

Néolithique céramique								
Dents supérieures permanentes	M3	M2	M1	P2	P1	C	I2	I1
N dents observées	43	45	58	51	49	60	50	64
N dents atteintes	24	21	39	27	24	38	36	44
% tartre	55,8%	46,7%	67,2%	52,9%	48,9%	63,3%	72%	68,7%
% tartre	63,1%	50,8%	38,1%	54,1%	75%	84%	87,7%	94,6%
N dents atteintes	24	30	24	33	45	58	50	53
N dents observées	38	59	63	61	60	69	57	56
Dents inférieures permanentes	M3	M2	M1	P2	P1	C	I2	I1

Types de dents permanentes avec tartre

Annexe 2.40 : Tartre, type de dents permanentes avec tartre pour les quatre périodes

PPNA					
Dents supérieures déciduales	dm2	dm1	dc	di2	di1
N dents observées	3	2	3	2	1
N dents atteintes	3	2	3	1	0
% tartre	100%	100%	100%	50%	0%
% tartre	100%	50%	100%	100%	0%
N dents atteintes	2	1	1	1	0
N dents observées	2	2	1	1	0
Dents inférieures déciduales	dm2	dm1	dc	di2	di1

PPNB ancien					
Dents supérieures déciduales	dm2	dm1	dc	di2	di1
N dents observées	26	20	10	6	6
N dents atteintes	15	7	1	2	1
% tartre	57,7%	35%	10%	33,3%	16,7%
% tartre	38,5%	36,4%	0%	0%	0%
N dents atteintes	10	8	0	0	0
N dents observées	26	22	1	4	1
Dents inférieures déciduales	dm2	dm1	dc	di2	di1

PPNB moyen-récent					
Dents supérieures déciduales	dm2	dm1	dc	di2	di1
N dents observées	28	29	18	9	11
N dents atteintes	13	4	2	0	0
% tartre	46,4%	13,8%	11,1%	0%	0%
% tartre	23,3%	20%	11,8%	10%	30%
N dents atteintes	7	5	2	1	3
N dents observées	30	25	17	10	10
Dents inférieures déciduales	dm2	dm1	dc	di2	di1

Néolithique céramique					
Dents supérieures déciduales	dm2	dm1	dc	di2	di1
N dents observées	18	13	10	15	12
N dents atteintes	7	1	0	1	0
% tartre	38,8%	7,7%	0%	6,7%	0%
% tartre	0%	0%	0%	0%	0%
N dents atteintes	0	0	0	0	0
N dents observées	12	14	13	10	8
Dents inférieures déciduales	dm2	dm1	dc	di2	di1

Types de dents déciduales avec tartre

Annexe 2.41 : Tartre, type de dents déciduales avec tartre pour les quatre périodes

Caractéristique	comparaison entre	type de test	valeur X ²	p=
Hyperostose poreuse fréquences par individus	PPNA & PPNB ancien	Chi2	0,147	0,7014
	PPNB ancien & PPNB moyen-récent	Chi2	0,563	0,4530
	PPNB moyen-récent & Néolithique céramique	Chi2	0,028	0,8671
	4 périodes	Chi2	0,595	0,8975
Hyperostose poreuse localisation des lésions : différence entre pariétal et occipital	PPNA	Chi2	6,858	0,0088
	PPNB ancien	Chi2	12,052	0,0005
	PPNB moyen-récent	Chi2	0,666	0,4144
	Néolithique céramique	Chi2	0,976	0,3231
comparaison ratio immatures/adultes pour l'hyperostose poreuse et le ratio normal dans nos populations	PPNA	Fisher	X	0,6665
	PPNB ancien	Chi2	6,437	0,0111
	PPNB moyen-récent	Chi2	2,947	0,0860
	Néolithique céramique	Chi2	0,91	0,3401
<i>Cribra orbitalia</i>	PPNA & PPNB ancien	Chi2	0,692	0,4054
	PPNB ancien & PPNB moyen-récent	Chi2	2,12	0,1453
	PPNB moyen-récent & Néolithique céramique	Chi2	1,197	0,2739
	4 périodes	Chi2	3,346	0,3412
Cribra orbitalia atteintes bilatérales/atteintes sur un seul côté	PPNA	Fisher	X	1,0000
	PPNB ancien	Fisher	X	0,5683
	PPNB moyen-récent	Fisher	X	1,0000
	Néolithique céramique	Fisher	X	0,3809
relation HP et Cribra : prédominance d'un type de lésion sur l'autre ?	PPNA	Chi2	0,212	0,6452
	PPNB ancien	Chi2	0	1,0000
	PPNB moyen-récent	Chi2	0,98	0,3221
	Néolithique céramique	Chi2	0,015	0,9025
comparaison ratio immatures/adultes pour l'hyperostose poreuse et la Cribra orbitalia	PPNA	Fisher	X	1,0000
	PPNB ancien	Chi2	7,778	0,0052
	PPNB moyen-récent	Chi2	8,636	0,0032
	Néolithique céramique	Chi2	0,496	0,4812
Hypoplasies de l'émail dentaire comptage par dents	PPNA & PPNB ancien	Chi2	0,262	0,6087
	PPNB ancien & PPNB moyen-récent	Chi2	1,281	0,2577
	PPNB moyen-récent & Néolithique céramique	Chi2	52,205	0,0000
	4 périodes	Chi2	62,197	0,0000

Caractéristique	comparaison entre	type de test	valeur χ^2	p=
Hypoplasies de l'émail dentaire comptage par individus	PPNA & PPNB ancien	Chi2	0,16	0,6891
	PPNB ancien & PPNB moyen-récent	Chi2	0,229	0,6322
	PPNB moyen-récent & Néolithique céramique	Chi2	12,188	0,0004
	4 périodes	Chi2	12,926	0,0047
Hypoplasies intensité légère	PPNA & PPNB ancien	Chi2	0,224	0,6360
	PPNB ancien & PPNB moyen-récent	Chi2	7,32	0,0068
	PPNB moyen-récent & Néolithique céramique	Chi2	5,36	0,0206
Hypoplasies intensité moyenne	PPNA & PPNB ancien	Chi2	1,215	0,2703
	PPNB ancien & PPNB moyen-récent	Chi2	6,173	0,0129
	PPNB moyen-récent & Néolithique céramique	Chi2	2,276	0,1313
Hypoplasie enplacement des lignes sur la dent comparaison face vestibulaire et circonférence	PPNA	Chi2	1,44	0,2301
	PPNB ancien	Chi2	0,138	0,7102
	PPNB moyen-récent	Chi2	8,542	0,0034
	Néolithique céramique	Chi2	0,11	0,7401
Hypoplasies nombre de dents avec lignes/individus	PPNA & PPNB ancien	Chi2	0,175	0,6757
	PPNB ancien & PPNB moyen-récent	Chi2	0,06	0,8064
	PPNB moyen-récent & Néolithique céramique	Chi2	6,401	0,0114
Hypoplasies nombre d'épisodes de stress/individus	PPNA & PPNB ancien	Chi2	0,187	0,6654
	PPNB ancien & PPNB moyen-récent	Chi2	0,036	0,8495
	PPNB moyen-récent & Néolithique céramique	Chi2	0,065	0,7987

Annexe 2.42 : Chapitre 5, résultat des divers tests de χ^2 et de Fisher pour les indicateurs de stress (les différences significatives sont grisées)

PPNA								
Dents supérieures permanentes	M3	M2	M1	P2	P1	C	I2	I1
N dents observées	18	21	21	14	19	17	9	7
N dents atteintes	0	0	0	2	7	7	0	2
% hypoplasies	0%	0%	0%	14,3%	36,8%	41,2%	0%	28,6%
% hypoplasies	10%	8,7%	0%	30%	22,2%	55%	12,5%	13,3%
N dents atteintes	2	2	0	6	4	11	2	2
N dents observées	20	23	23	20	18	20	16	15
Dents inférieures permanentes	M3	M2	M1	P2	P1	C	I2	I1

PPNB ancien								
Dents supérieures permanentes	M3	M2	M1	P2	P1	C	I2	I1
N dents observées	31	43	45	31	34	26	31	20
N dents atteintes	4	6	4	11	11	12	12	9
% hypoplasies	12,9%	13,9%	8,9%	35,5%	32,3%	46,1%	38,7%	45%
% hypoplasies	2,7%	8,5%	10%	18,2%	28,9%	42,1%	37,1%	18,5%
N dents atteintes	1	4	6	6	11	16	13	5
N dents observées	37	47	60	33	38	38	35	27
Dents inférieures permanentes	M3	M2	M1	P2	P1	C	I2	I1

PPNB moyen-récent								
Dents supérieures permanentes	M3	M2	M1	P2	P1	C	I2	I1
N dents observées	68	86	76	58	60	73	63	66
N dents atteintes	12	4	2	12	19	29	16	8
% hypoplasies	17,6%	4,6%	2,6%	20,7%	31,7%	39,7%	25,4%	12,1%
% hypoplasies	8,6%	5,7%	5,1%	24,1%	21,1%	46,5%	14,3%	17,8%
N dents atteintes	5	5	4	14	12	27	8	8
N dents observées	58	88	79	58	57	58	56	45
Dents inférieures permanentes	M3	M2	M1	P2	P1	C	I2	I1

Néolithique céramique								
Dents supérieures permanentes	M3	M2	M1	P2	P1	C	I2	I1
N dents observées	42	47	62	56	55	56	55	66
N dents atteintes	6	6	6	23	28	35	17	17
% hypoplasies	14,3%	12,8%	9,7%	41,1%	50,9%	62,5%	30,9%	25,7%
% hypoplasies	17,1%	15,0%	8,9%	55,0%	46,4%	59,1%	38,3%	19,1%
N dents atteintes	7	9	6	33	26	39	23	9
N dents observées	41	60	67	60	56	66	60	47
Dents inférieures permanentes	M3	M2	M1	P2	P1	C	I2	I1

Types de dents avec hypoplasies linéaires

Annexe 2.43 : Hypoplasies, type de dents présentant des hypoplasies linéaires pour les quatre périodes

Site	Pays	Dates	Références	Caries		Absès		PAM		maladie parodontale % par individus
				% par individus	% par dents	% par individus	% par dents	% par individus	% par dents	
Shukbah	Israël	Natoufien	Bocquentin 2003	0,0%	0,0%					
El Wad	Israël	Natoufien	Bocquentin 2003, P. Smith <i>et al.</i> 1984	10,4%	0,5%			22,5%	15,0%	
Kebara	Israël	Natoufien	Bocquentin 2003, P. Smith <i>et al.</i> 1984	11,1%	1,0%			4,0%	0,9%	
Erq-el-Ahmar	Israël	Natoufien	Bocquentin 2003	66,7%	3,8%					
Nahal Oren	Israël	Natoufien	P. Smith <i>et al.</i> 1984, Bocquentin 2003, Eshed <i>et al.</i> 2006	31,0%	4,0%		1,5%	25,0%	2,6%	
Rakefet	Israël	Natoufien	Bocquentin 2003	25,0%	1,3%					
Hayonim grotte	Israël	Natoufien	P. Smith <i>et al.</i> 1984, Bocquentin 2003, Eshed <i>et al.</i> 2006	15,6%	1,9%		1,5%	22,0%	2,8%	
Mallaha	Israël	Natoufien	P. Smith <i>et al.</i> 1984, Bocquentin 2003, Eshed <i>et al.</i> 2006	36,1%	4,2%		1,5%	26,0%	2,7%	
Asikli çayönü	Turquie	PPNB ancien	Özbek 1998	12,0%	2,9%	26,3%		7,6%		29,4%
Horvat Gailil	Turquie	PPNB	Özbek 1995		4,3%	31,9%		27,8%		36,3%
Ganj Dareh	Israël	PPNB	Hershkovitz & Gopher 1988					25,0%		
Tell Ramad	Iran	8000-7500 av. JC	Merrett 2004	8,3%	1,0%	30,3%		29,6%	14,3%	
Basta	Syrie	PPNB moyen-récent	Anfruns & Oms 2006	13,0%	3,9%					
Tell Halula	Jordanie	PPNB moyen-récent	Schultz <i>et al.</i> 2007	9,1%		26,1%		30,4%		75,0%
Yiftahel	Syrie	PPNB moyen-récent	Anfruns & Oms 2013	3,8%	1,0%	0,0%	0,0%		4,1%	30,0%
Nevalı çori	Israël	PPNB moyen-récent	Arensburg <i>et al.</i> 1986		13,3%			16,7%		16,7%
Kösk Höyük	Turquie	PPNB récent	Teegen & Schultz 1997							
çatal Höyük	Turquie	Néolithique céramique	Bonogofsky 2005	33,3%					11,1%	
çatal Höyük	Turquie	Néolithique céramique	Molleson <i>et al.</i> 2005, Boz 2005		4,0%	35,2%	4,4%	29,4%	10,4%	38,2%

Site	Pays	Dates	Références	Caries		Absès		PAM		maladie parodontale % par individus
				% par individus	% par dents	% par individus	% par dents	% par individus	% par dents	
Khirokitia	Chypre	7 ^{ème} millénaire	Mitsis & Taramidis 1995							64,7%
Jarmo	Iraq	Néo céra	Dahlberg 1960	28,5%						
Mentese			Alpaslan-Roodenberg & Maat 1999		18,1%		9,2%		13,0%	62,5%
Höyük	Turquie	5600-5500 cal BC			4,0%				1,8%	
Byblos	Liban	Chalcolithique	Özbek 1976b			17,0%				
Lemba										
Lakkous	Chypre	Chalcolithique	Lunt 1995		6,1%					
Kissonerga-										
Mosphilia	Chypre	Chalcolithique	Lunt 1995		2,3%					
Peqi'in	Israël	Chalcolithique	P.E.L. Smith <i>et al.</i> 2003		34,8%		27,1%		4,6%	
Azor	Israël	Chalcolithique	P. Smith <i>et al.</i> 1984							
Arad	Israël	Chalcolithique	P. Smith <i>et al.</i> 1984	66,0%				50,0%		
Beersheba	Israël	Chalcolithique	P. Smith <i>et al.</i> 1984	17,0%						

Annexe 2.44 : Pathologies dentaires : données utilisées pour comparaisons du Natoufien au Chalcolithique

Caractéristique	comparaison entre	type de test	valeur X ²	p=
fréquence par dent caries	Natoufien & PPNA	Chi2	2,176	0,1401
fréquence par individus abcès	PPNB ancien	Fisher	X	0,2882
	PPNB moyen et récent	Chi2	0,976	0,3231
fréquence par individus PAM	PPNB ancien	Fisher	X	0,4975
	Néolithique céramique	Chi2	0,259	0,6108
fréquence par individus maladie parodontale	PPNB ancien	Fisher	X	0,7369
	PPNB moyen et récent	Chi2	0,838	0,3599
	Néolithique céramique	Chi2	1,496	0,2212
fréquence d'hyperostose poreuse	PPNB ancien	Chi2	9,801	0,0017
	PPNB moyen et récent	Chi2	32,448	0,0000
	Néolithique céramique	Fisher	X	0,6626
fréquence de Cribra orbitalia	PPNB moyen et récent	Chi2	5,477	0,0192
fréquence d'hypoplasie par dent	Natoufien & PPNA	Fisher	X	0,0291
	PPNB ancien	Chi2	48,612	0,0000
	PPNB moyen et récent	Chi2	44,17	0,0000
	Néolithique céramique	Chi2	42,316	0,0000
fréquence d'hypoplasie par individu	Natoufien & PPNA	Chi2	0,404	0,5250
	PPNA	Chi2	8,665	0,0032
	PPNB ancien	Chi2	0,878	0,3487
	PPNB moyen et récent	Chi2	11,724	0,0006
	Néolithique céramique	Fisher	X	0,0160

Annexe 2.45 : Comparaisons générales : résultat des divers tests de Chi² et de Fisher pour les pathologies dentaires et les indicateurs de stress (les différences significatives sont grisées)

Site	Pays	Dates	références	Hypoplasies		HP % par individus	CO % par individus
				% par individus	% par dents		
Shukbah	Israël	Natoufien	Bocquentin 2003	100,0%	35,0%		
El Wad	Israël	Natoufien	Bocquentin 2003	62,0%	9,0%		
Kebara	Israël	Natoufien	Bocquentin 2003	83,0%	18,0%		
Erq-el-Ahmar	Israël	Natoufien	Bocquentin 2003	100,0%	9,0%		
Nahal Oren	Israël	Natoufien	Bocquentin 2003	81,0%	23,0%		
Rakefet	Israël	Natoufien	Bocquentin 2003	50,0%	19,0%		
Hayonim grotte	Israël	Natoufien	Bocquentin 2003	48,0%	6,0%		
Mallaha	Israël	Natoufien	Bocquentin 2003	47,0%	9,0%		
Netiv Hagdud	Israël	PPNA	Belfer-Cohen & Arensburg 1997	10,0%			
Asikli	Turquie	PPNB ancien	Özbek 1998	37,0%	2,9%	7,8%	
çayönü	Turquie	PPNB	Özbek 1995		3,1%		
Ganj Dareh	Iran	8000-7500 av. JC	Merrett 2004	55,2%		82,2%	65,5%
Tell Ramad	Syrie	PPNB moyen-récent	Anfruns & Oms 2006	47,8%	12,3%		20,0%
Basta	Jordanie	PPNB moyen-récent	Schultz <i>et al.</i> 2007	79,2%			30,0%
Tell Halula	Syrie	PPNB moyen-récent	Anfruns & Oms 2013	86,4%	36,5%		
Yiftahel	Israël	PPNB moyen-récent	Arensburg <i>et al.</i> 1986	16,7%			
Nevalli çori	Turquie	PPNB récent	Teegen & Schultz 1997	70,0%			
çatal Höyük	Turquie	Néolithique céramique	Molleson <i>et al.</i> 2005, Boz 2005		13,0%		
Bouqras	Syrie	6000 BC	Meiklejohn <i>et al.</i> 1983	16,7%		16,7%	
Peqi'in	Israël	Chalcolithique	P.E.L. Smith <i>et al.</i> 2003	53,5%			
Azor	Israël	Chalcolithique	P. Smith <i>et al.</i> 1984	80,0%			
Arad	Israël	Chalcolithique	P. Smith <i>et al.</i> 1984	100,0%			
Beersheba	Israël	Chalcolithique	P. Smith <i>et al.</i> 1984	100,0%			

Annexe 2.46 : Indicateurs de stress : données utilisées pour comparaisons du Natoufien au Chalcolithique

ANNEXES 3
FICHES DE CONSERVATION

FICHE DE CONSERVATION : SUJET ADULTE

Année:

SITE:

N° squelette :

Auteur :

--	--	--	--	--	--	--	--	--	--	--	--	--	--	--	--	--	--	--

LEGENDE DES DIAGRAMMES DENTAIRES

- I Elément présent *in situ*
- L L'élément isolé est présent et a été identifié avec certitude
- O La racine est seule présente *in situ*
- ⊗ Agénésie dentaire
- ⊗ Dent perdue *ante mortem* (alvéole refermé)
- ① Germe présent *in situ*
- ? Un de ces élément est présent
- ? L'identification de l'élément isolé n'est que supposée

Cervicales

Thoraciques

Lombaires

	Région présente et identifiée avec certitude
	Région fragmentée
	Situation exacte inconnue avec certitude
	Droite ou Gauche ?

U.R.A. 376 CNRS d'après T. S. Constandse - Westermann et C. Meikeljohn, modifié par M. Guillon, P. Sellier et P. Courtaud. Informatisation M. Coutureau (AFAN)

Annexe 3.1 : Fiche de conservation pour sujets adultes (D'après T.S. Constandse et C. Meikeljohn, modifiée par M. Guillon, P. Sellier et P. Courtaud)

FICHE DE CONSERVATION : SUJET IMMATURE

Année:

SITE:

N° squelette :

Auteur :

--	--	--	--	--	--	--	--	--	--

--	--	--	--	--	--	--	--	--	--

LEGENDE DES DIAGRAMMES DENTAIRES

- Germe présent *in situ*
- Germe présent mais isolé
- Un de ces élément est présent
- L'identification de l'élément isolé n'est que supposée
- Élément présent *in situ*
- L'élément isolé est présent et a été identifié avec certitude
- Agénésie dentaire
- Dent perdue *ante mortem*

CONSERVATION OSSEUSE

- Région présente et identifiée avec certitude
- Région fragmentée
- Situation exacte inconnue avec certitude
- Droite ou Gauche ?

Cervicales	Thoraciques	Lombaires
1	1	1
2	2	2
3	3	3
4	4	4
5	5	5
6	6	
7	7	
	8	
	9	
	10	
	11	
	12	

U.R.A. 376 CNRS d'après T.S. Constandse- Westermann et C. Meikeljohn, modifiée par P. Courtaud, H. Duday et M. Guillon. Informatisation M. Coutureau (AFAN)

Annexe 3.2 : Fiche de conservation pour sujets immatures (D'après T.S. Constandse et C. Meikeljohn, modifiée par P. Courtaud, H. Duday et M. Guillon)

101

FICHE DE CONSERVATION : SUJET PERINATAL

Année:

SITE:

N° squelette :

Auteur :

VERTEBRES	arc droit		corps	arc gauche	
C 1					
C 2					
C 3					
C 4					
C 5					
C 6					
C 7					
rang indéterminé					

T 1					
T 2					
T 3					
T 4					
T 5					
T 6					
T 7					
T 8					
T 9					
T 10					
T 11					
T 12					
rang indéterminé					

L 1					
L 2					
L 3					
L 4					
L 5					
rang indéterminé					

SACRALES	alleron droit		arc droit	corps	arc gauche		alleron gauche	
S 1								
S 2								
S 3								
S 4								
S 5								
rang indéterminé								

COTES	droite	gauche
T 1		
T 2		
T 3		
T 4		
T 5		
T 6		
T 7		
T 8		
T 9		
T 10		
T 11		
T 12		
rang indéterminé		
côte indéterminé		

STERNUM	
manubrium	
stern: bres	

Malléus

Incus

Stapes

Malléus

Incus

Stapes

CONSERVATION OSSEUSE

- Région présente et identifiée avec certitude
- Région fragmentée
- Situation exacte inconnue avec certitude

LEGENDE DES DIAGRAMMES DENTAIRES

- I Germe présent
- L Germe présent mais isolé
- ? Un de ces élément est présent
- ? L'identification de l'élément isolé n'est que supposée

U R A 376 CNRS d'après T. S. Constandse- Westermann et C. Meikeljohn, modifié par A. M. Tillier et H. Duday. Informatisation M. Coutureau (AFAN)

Annexe 3.3 : Fiche de conservation pour sujets périnataux (D'après T.S. Constandse et C. Meikeljohn, modifiée par A.-M. Tillier et H. Duday)

<p>Ann : <input style="width: 100%;" type="text"/></p> <p>Site : <input style="width: 100%;" type="text"/></p>	<p>FICHE ANTHROPOLOGIQUE : REDUCTION</p>	<p>US : <input style="width: 100%;" type="text"/></p> <p>N° sépulture : <input style="width: 100%;" type="text"/></p> <p>Auteur : <input style="width: 100%;" type="text"/></p>	
<p>NMI : <input style="width: 100%;" type="text"/></p> <p>calculés sur : <input style="width: 100%;" type="text"/></p> <p>architecture funéraire : <input style="width: 100%;" type="text"/></p> <p>mobilier : <input style="width: 100%;" type="text"/></p>			
<p>Vert. Cervicales <input type="checkbox"/></p> <p>Vert. Thoraciques <input type="checkbox"/></p> <p>Vert. Lombaires <input type="checkbox"/></p> <p>Côtes <input type="checkbox"/></p> <p>Manubrium <input type="checkbox"/></p> <p>Sternum <input type="checkbox"/></p> <p>Sacrum <input type="checkbox"/></p> <p>Coccyx <input type="checkbox"/></p>	<p>présence <input type="checkbox"/></p> <p>Région présente et identifiée avec certitude <input type="checkbox"/></p> <p>Région fragmentée et identifiée avec certitude <input type="checkbox"/></p> <p>Droite ou Gauche ? <input type="checkbox"/></p>		

<p>Vue palmaire</p>	<p>Vue dorsale</p>	<p>US : <input style="width: 100%;" type="text"/></p>	<p>MAINS</p> <p>Phalanges prox. nbr. : <input type="text"/> NMI : <input type="text"/></p> <p>Phalanges interm. nbr. : <input type="text"/> NMI : <input type="text"/></p> <p>Phalanges distales nbr. : <input type="text"/> NMI : <input type="text"/></p> <p>Sésamoïdes : <input type="text"/> NMI : <input type="text"/></p> <p>PIEDS</p> <p>Phalanges prox. nbr. : <input type="text"/> NMI : <input type="text"/></p> <p>Phalanges interm. nbr. : <input type="text"/> NMI : <input type="text"/></p> <p>Phalanges distales nbr. : <input type="text"/> NMI : <input type="text"/></p> <p>Sésamoïdes : <input type="text"/> NMI : <input type="text"/></p>
<p>Répartition des crânes</p> <p><input type="checkbox"/> rangement</p> <p><input type="checkbox"/> aléatoire</p> <p><input type="checkbox"/> aire anatomique</p>	<p>Répartition des os du thorax</p> <p><input type="checkbox"/> rangement</p> <p><input type="checkbox"/> aléatoire</p> <p><input type="checkbox"/> aire anatomique</p>	<p>Répartition des os du bassin</p> <p><input type="checkbox"/> rangement</p> <p><input type="checkbox"/> aléatoire</p> <p><input type="checkbox"/> aire anatomique</p>	<p>Répartition des os longs membre sup.</p> <p><input type="checkbox"/> fagots</p> <p><input type="checkbox"/> aléatoire</p> <p><input type="checkbox"/> aire anatomique</p>
<p>Répartition des os longs membre inf.</p> <p><input type="checkbox"/> fagots</p> <p><input type="checkbox"/> aléatoire</p> <p><input type="checkbox"/> aire anatomique</p>	<p>Localisation</p> <p><input type="checkbox"/> chevet 1/3</p> <p><input type="checkbox"/> milieu 2/3</p> <p><input type="checkbox"/> pieds 3/3</p>	<p>Portions anatomiques en connexion</p> <p>Crâne / atlas / axis : <input type="text"/></p> <p>Ceinture scapulaire : <input type="text"/></p> <p>Thorax : <input type="text"/></p> <p>Ceinture pelvienne : <input type="text"/></p> <p>Membre inférieur : <input type="text"/></p> <p>Membre supérieur : <input type="text"/></p> <p>OBSERVATIONS : <input style="width: 100%; height: 50px;" type="text"/></p>	

Annexe 3.4 : Fiche de conservation utilisée pour les réductions (Élaborée pour la nécropole de Bordeneuve par D. Bonnissant (INRAP) ; modifiée par P. Courtaud (LAPP- PACEA) Bordeaux 2004)

1/4

FICHE ANTHROPOLOGIQUE : sep plurielle

Année :

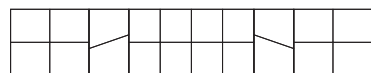
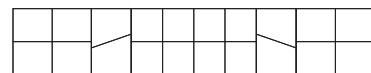
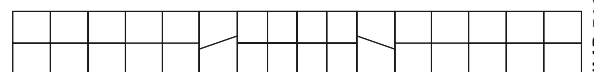
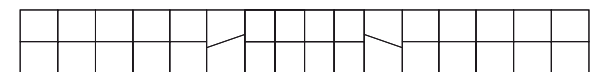
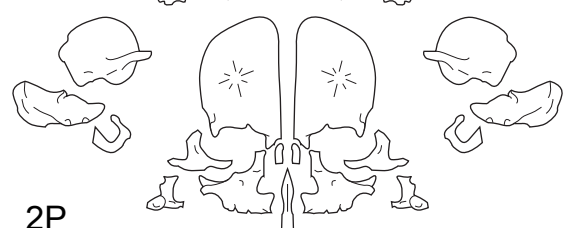
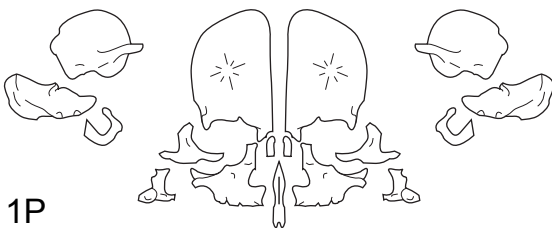
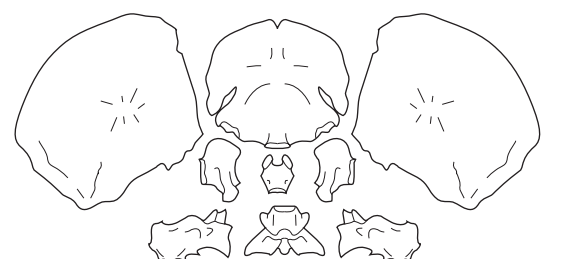
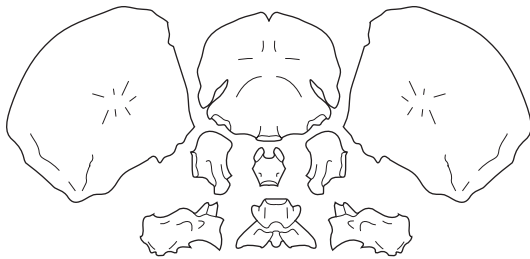
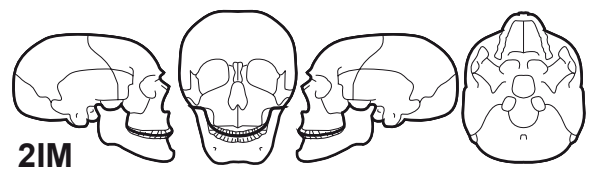
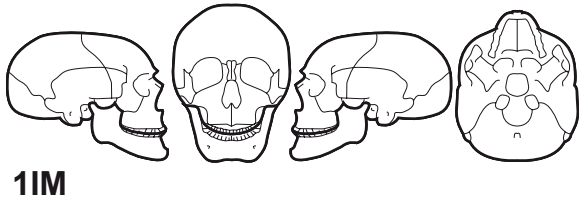
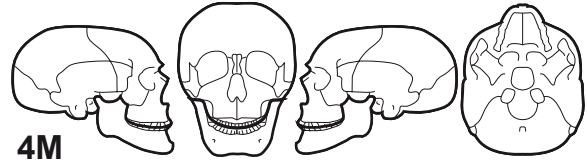
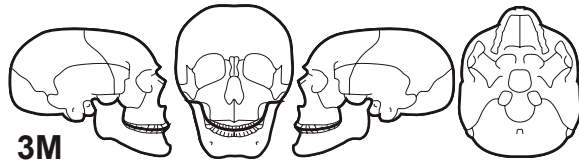
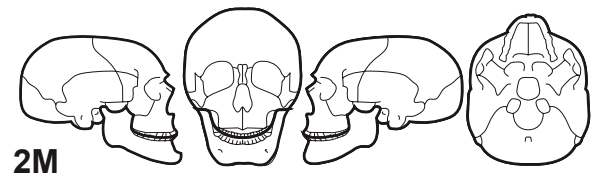
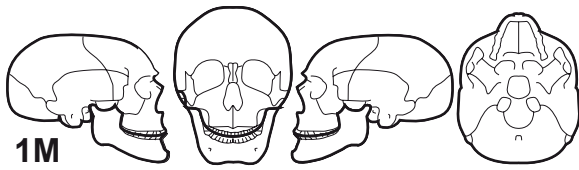
Site :

date étude :

N° SQ :

N° sép :

Auteur :

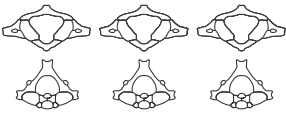


-  Région présente et identifiée avec certitude
-  Région fragmentée et identifiée avec certitude
-  Droite ou Gauche ?

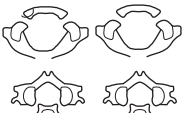
modifiée par B. Chamel (UMR 5133)

2/4

N° SQ :



M



IM

atlas

HAD	HAG
<input type="checkbox"/>	<input type="checkbox"/>

axis

HAD	HAG
<input type="checkbox"/>	<input type="checkbox"/>
<input type="checkbox"/>	centre
<input type="checkbox"/>	dent

P

VC

VT

VL

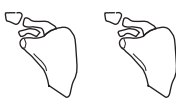
VS

fragments vertèbres indéterminés

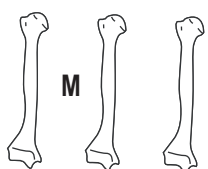
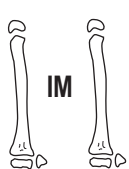
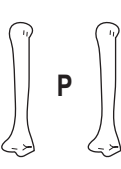
	M	IM	P		M	IM	P
	E F	CV HA	CV HA		E F	E F	E F
Côtes	<input type="checkbox"/>	<input type="checkbox"/>	<input type="checkbox"/>		<input type="checkbox"/>	<input type="checkbox"/>	<input type="checkbox"/>
Manubrium	<input type="checkbox"/>	<input type="checkbox"/>	<input type="checkbox"/>		<input type="checkbox"/>	<input type="checkbox"/>	<input type="checkbox"/>
Sternum	<input type="checkbox"/>	<input type="checkbox"/>	<input type="checkbox"/>		<input type="checkbox"/>	<input type="checkbox"/>	<input type="checkbox"/>
Sacrum	<input type="checkbox"/>	<input type="checkbox"/>	<input type="checkbox"/>		<input type="checkbox"/>	<input type="checkbox"/>	<input type="checkbox"/>
Coccyx	<input type="checkbox"/>	<input type="checkbox"/>	<input type="checkbox"/>		<input type="checkbox"/>	<input type="checkbox"/>	<input type="checkbox"/>

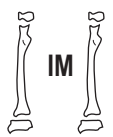
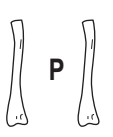
M  **IM** 

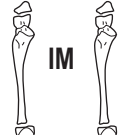
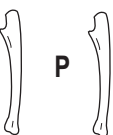
P 

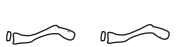
M  **IM** 

P 

M  **IM**  **P** 

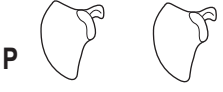
M  **IM**  **P** 

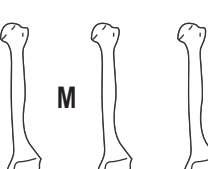
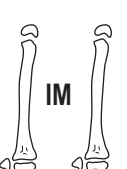
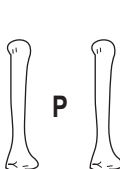
M  **IM**  **P** 

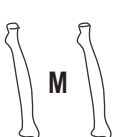
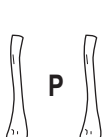
M  **IM** 

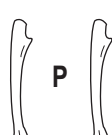
P 

M  **IM** 

P 

M  **IM**  **P** 

M  **IM**  **P** 

M  **IM**  **P** 

D

G

fragments os longs indéterminés

modifiée par B. Chamel (UMR 5133)

Annexe 3.6 : Fiche de conservation pour sépultures plurielles, page 2 : rachis, ceinture scapulaire et os longs du membre supérieur

3/4

N° SQ :

fragments os longs indéterminés

D

G

The diagram is divided into two main columns, D and G, separated by a vertical line. At the top of each column is a large letter. Below the letters are illustrations of skeletal remains, categorized into three groups: skull fragments, long bones, and small bone fragments. Each group is further divided into three sub-groups: M (Médullaire), IM (Intermédiaire), and P (Proximale). The skull fragments are shown in lateral and medial views. The long bones are shown in full length and as fragments. The small bone fragments are shown as individual pieces. The labels M, IM, and P are placed next to the corresponding illustrations. The text 'fragments os longs indéterminés' is written above a small box at the top of the vertical line.

modifiée par B. Chanel (UMR 5133)

Annexe 3.7 : Fiche de conservation pour sépultures plurielles, page 3 : ceinture pelvienne et os longs du membre inférieur

4/4

individu mature

N° SQ:

Vue palmaire

D **G**

Vue dorsale

D **G**

MTC ou MTT

base indet tête indet base indet tête indet

individu immature

vue palmaire

D **G**

vue dorsale

D **G**

MTC ou MTT

base indet tête indet base indet tête indet

individu perinatal

D **G**

D **G**

MTC ou MTT indet base indet tête indet

	MAINS			PIEDS		
	M	IM	P	M	IM	P
Phalanges prox. :	<input style="width: 30px;" type="text"/>					
Phalanges interm.:	<input style="width: 30px;" type="text"/>					
Phalanges distales :	<input style="width: 30px;" type="text"/>					
Phalanges indet :	<input style="width: 30px;" type="text"/>					
Phalanges main ou pied indet :	M	IM	P	<input style="width: 30px;" type="text"/>	<input style="width: 30px;" type="text"/>	<input style="width: 30px;" type="text"/>

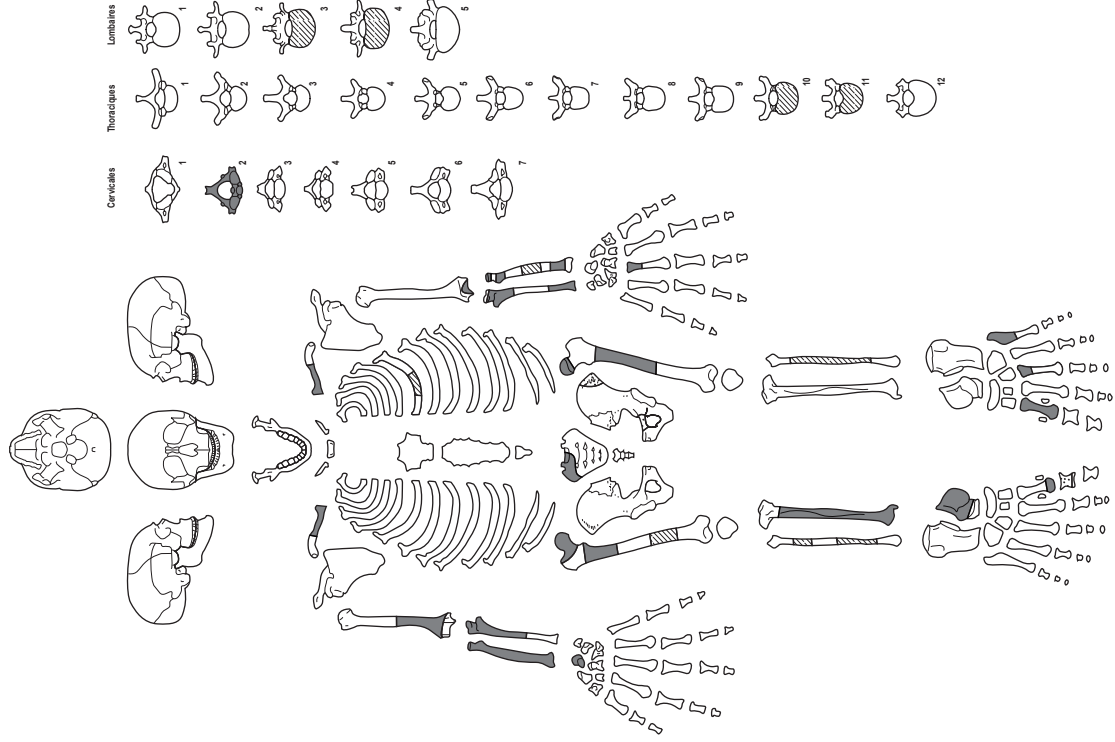
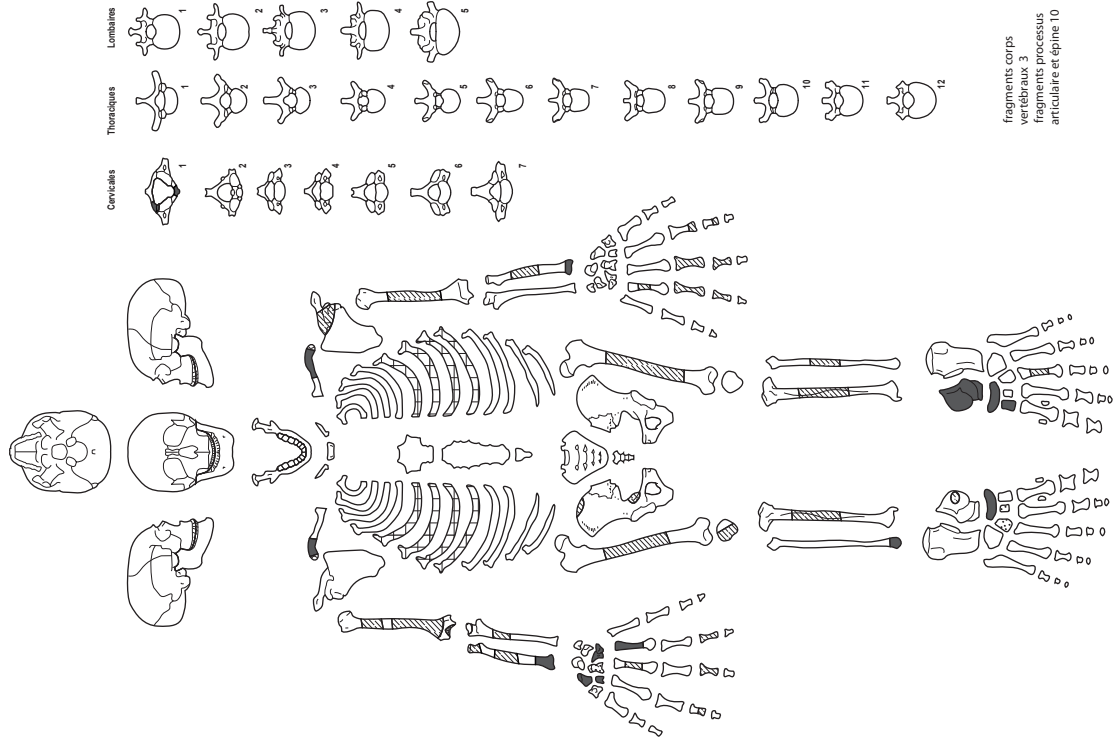
Estimation NMI de fréquence :

modifiée par B. Chamel (UMR 5133)

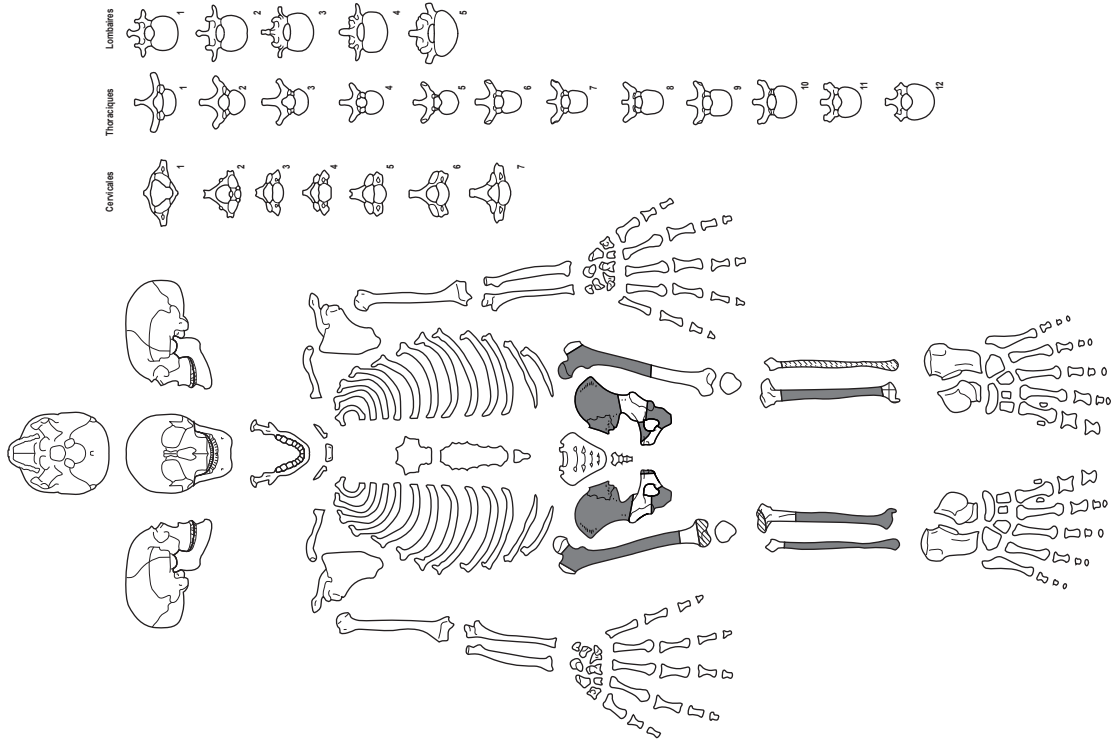
Annexe 3.8 : Fiche de conservation pour sépultures plurielles, page 4 : os des extrémités et estimation du NMI de fréquence

11-03

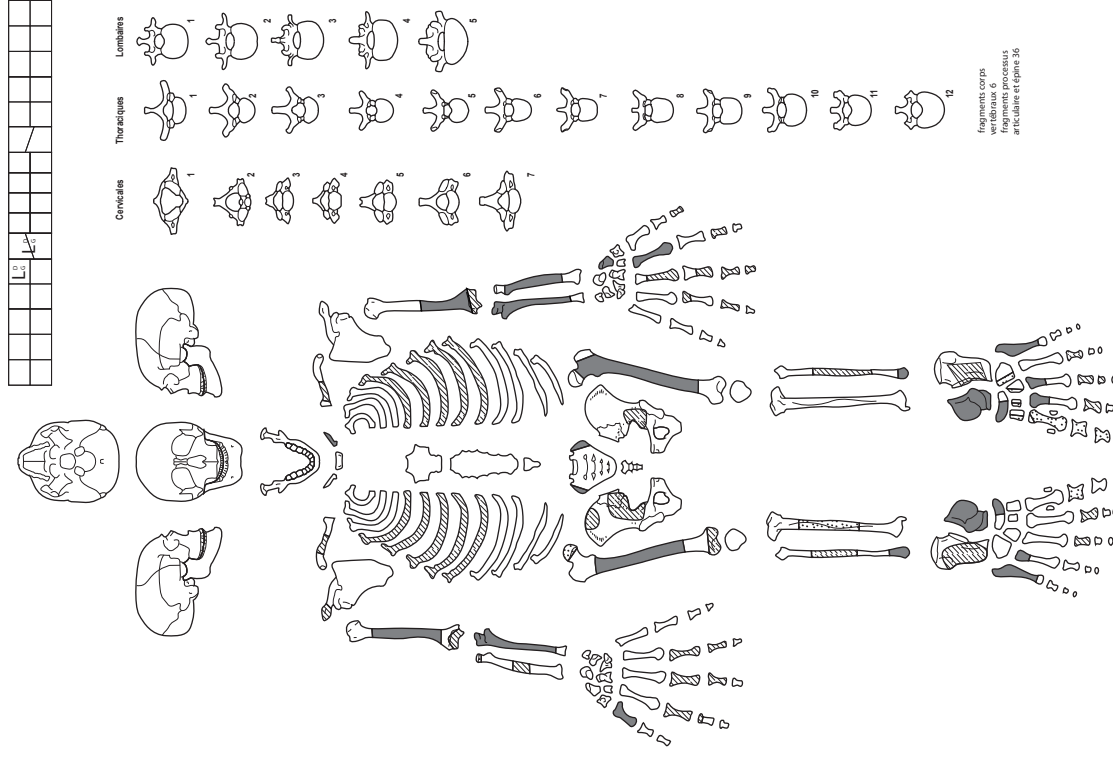
2-07

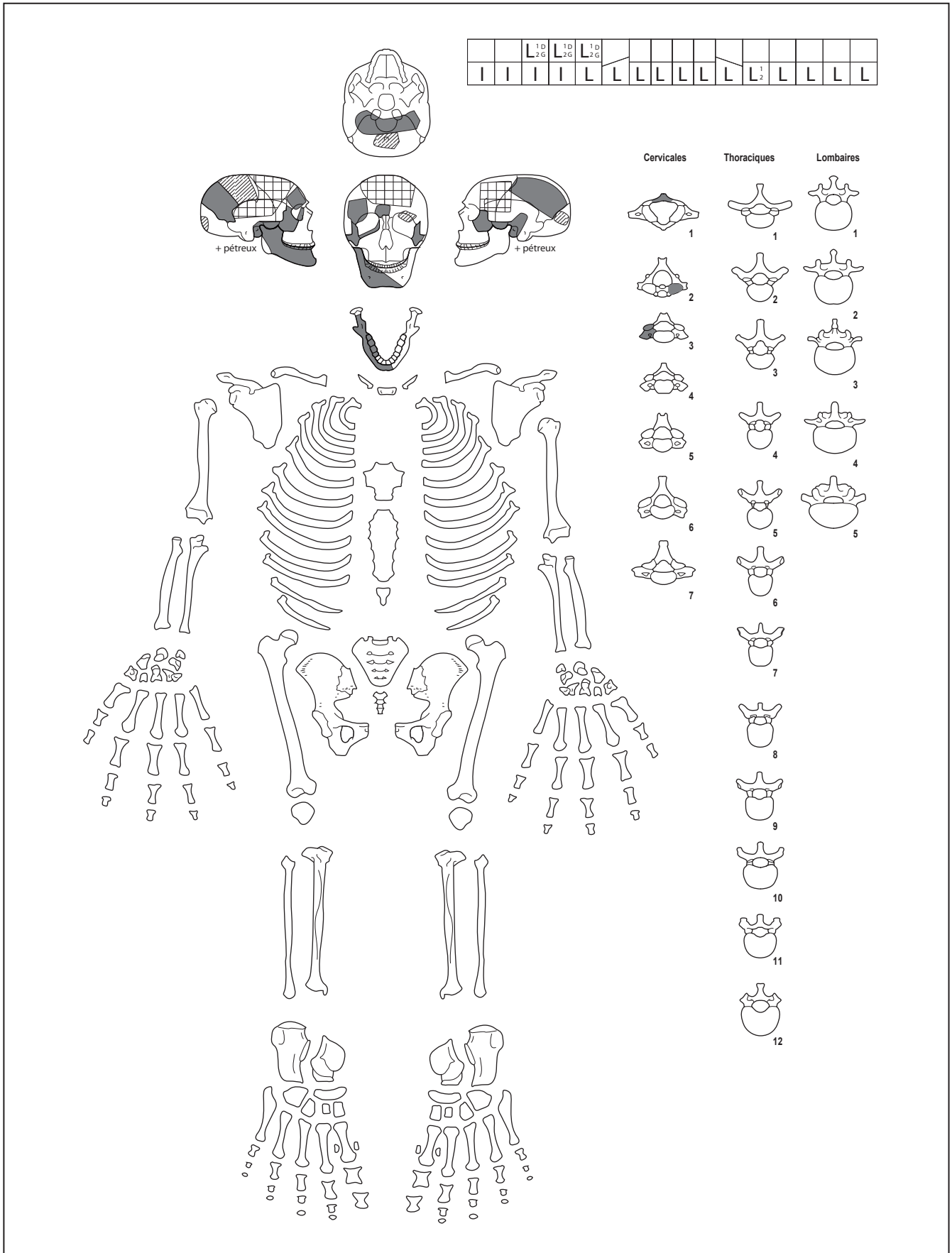


3-07



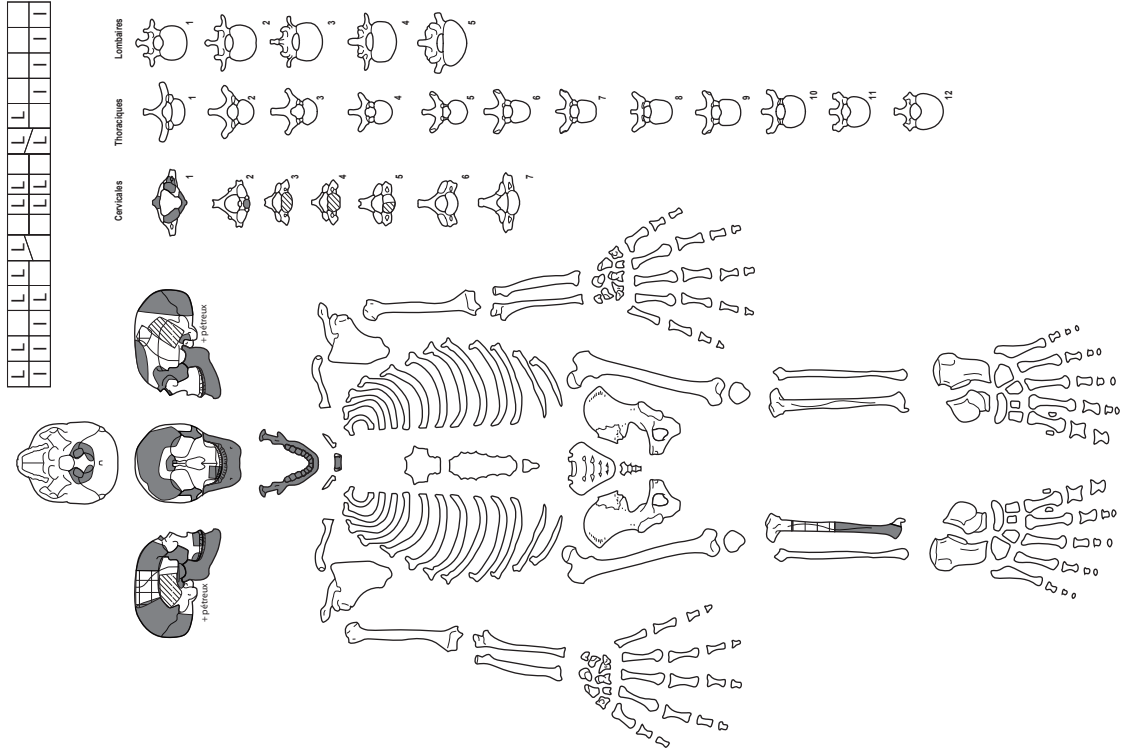
6-07



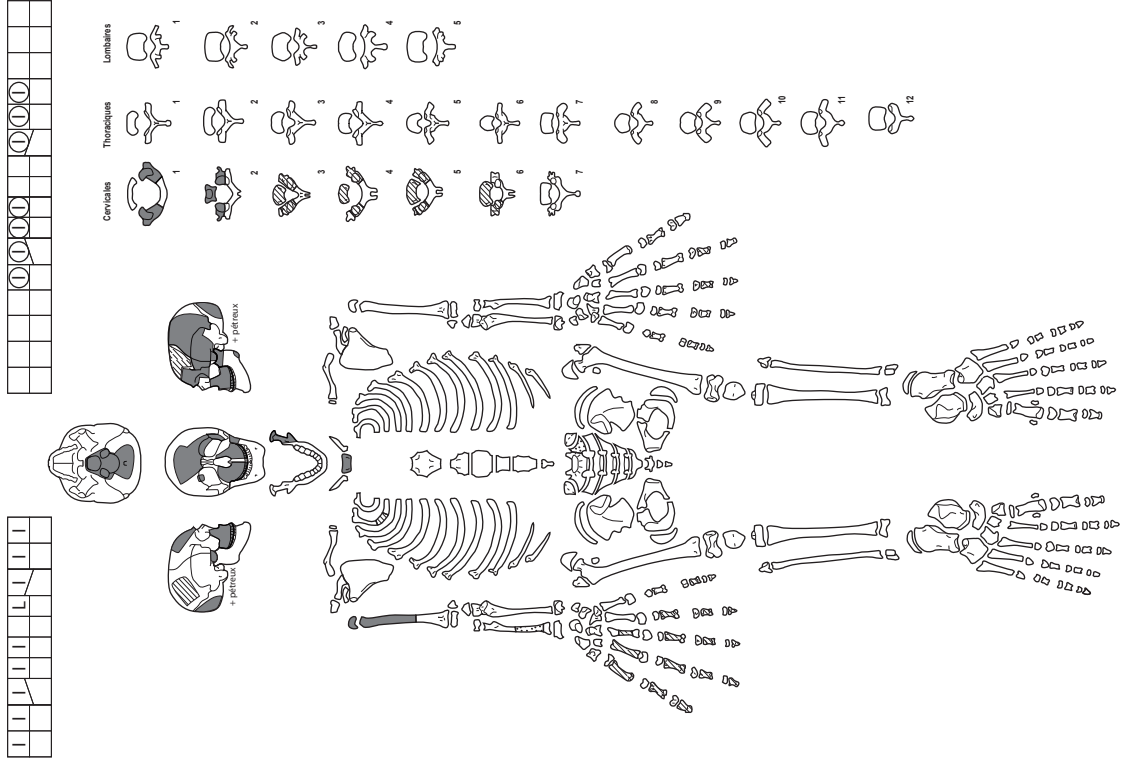


Annexe 3.11 : Cheikh Hassan ; fiche de conservation de l'individu T4

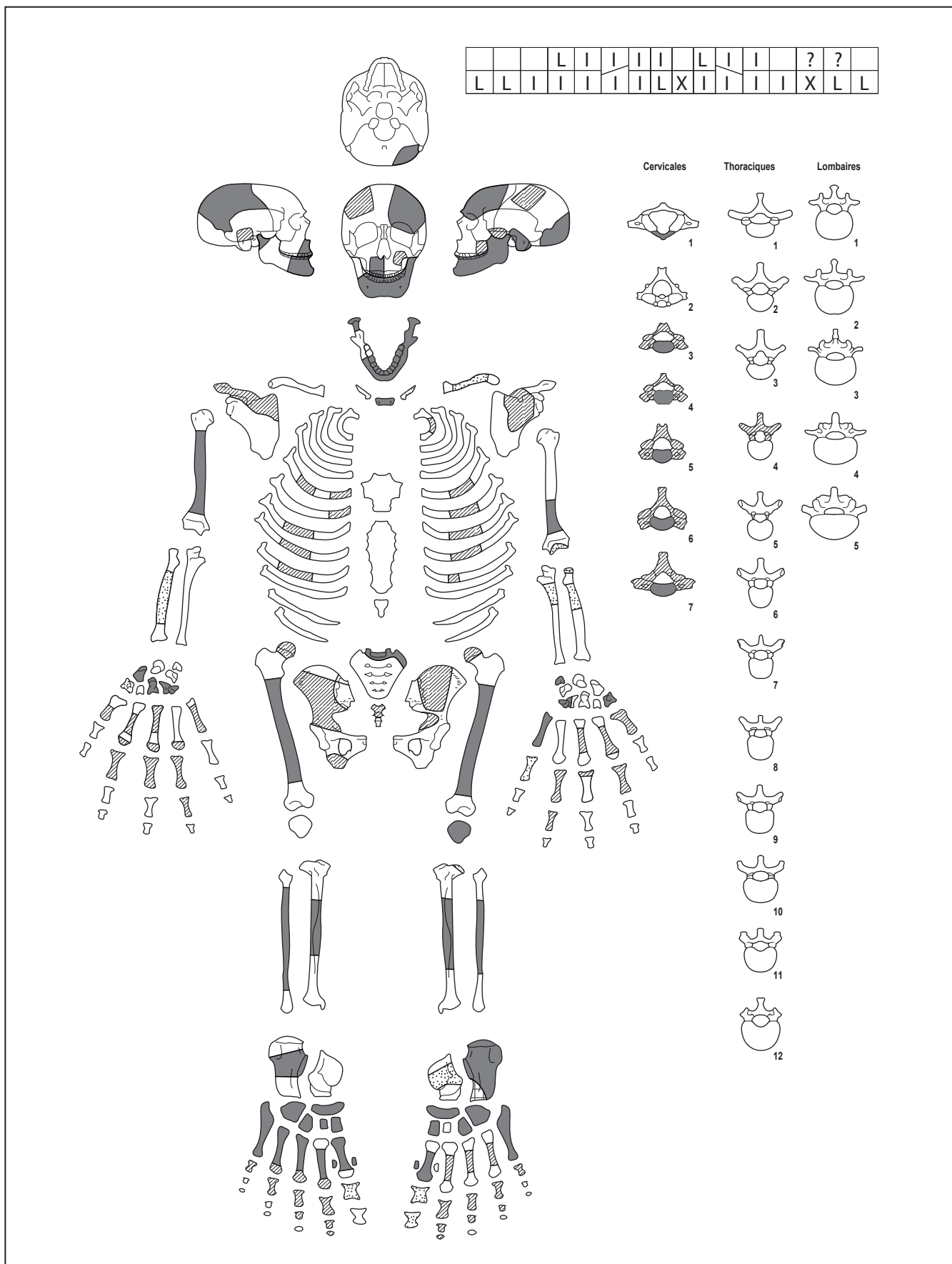
T7



T8

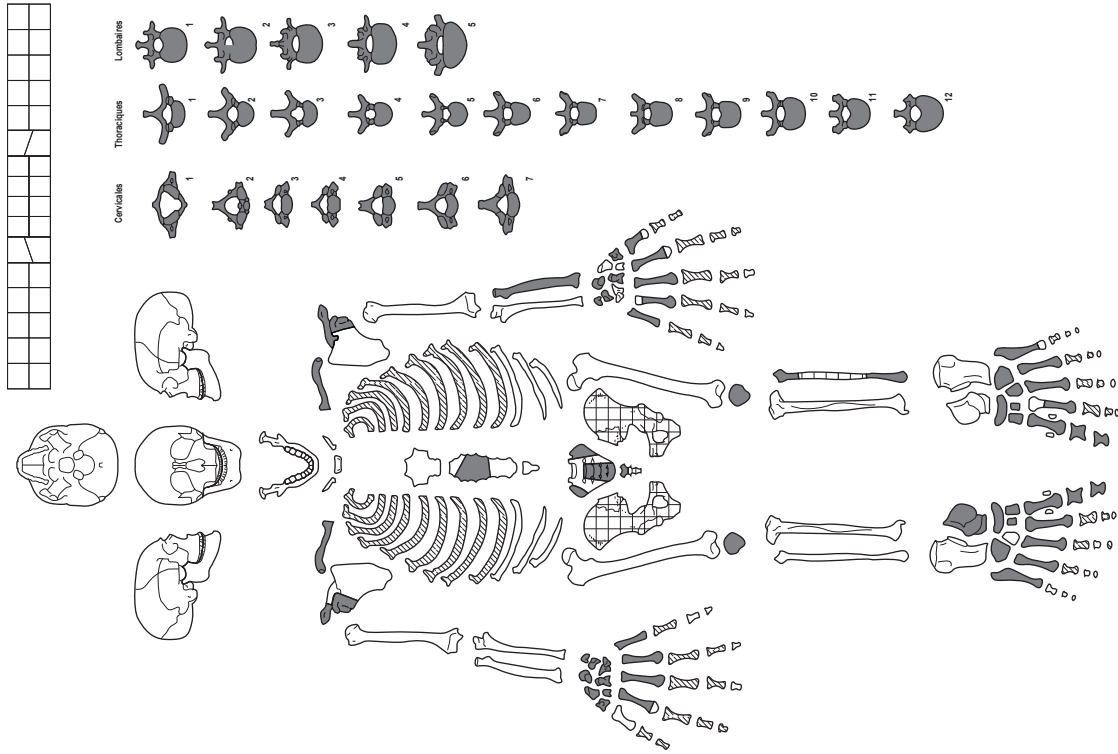


Annexe 3.12 : Cheikh Hassan ; fiches de conservation des individus T7 et T8

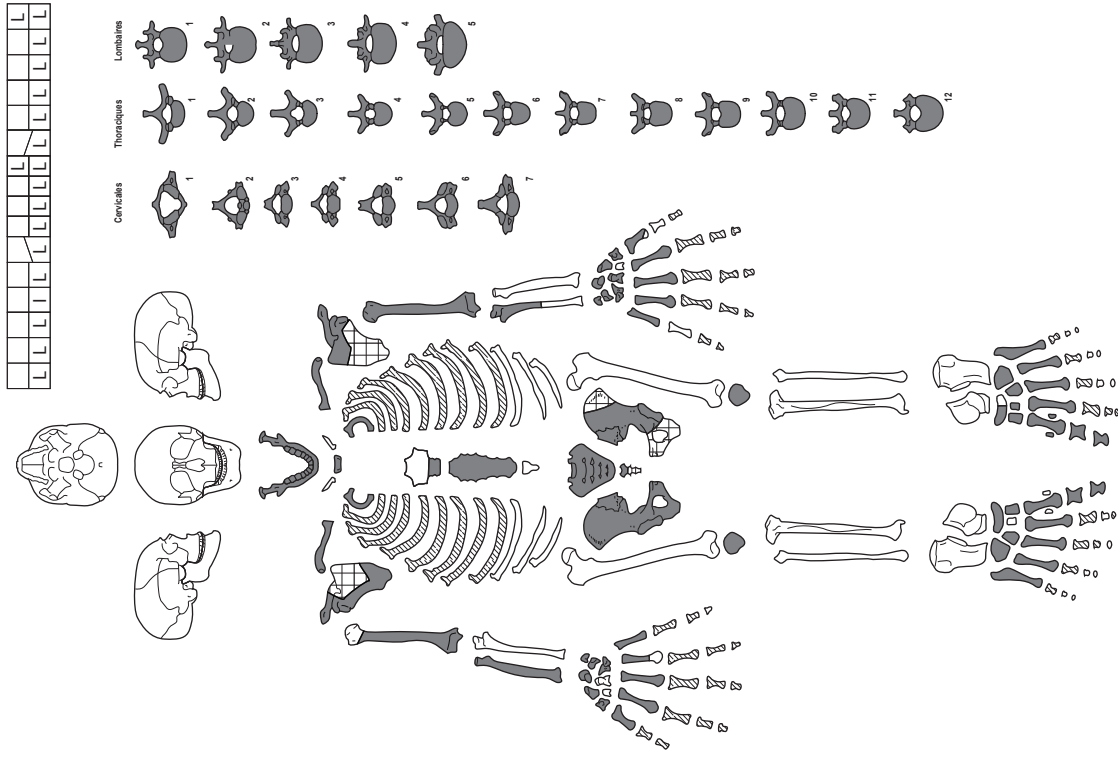


Annexe 3.13 : Dja'de el-Mughara ; fiche de conservation de l'individu 661 (DJ I)

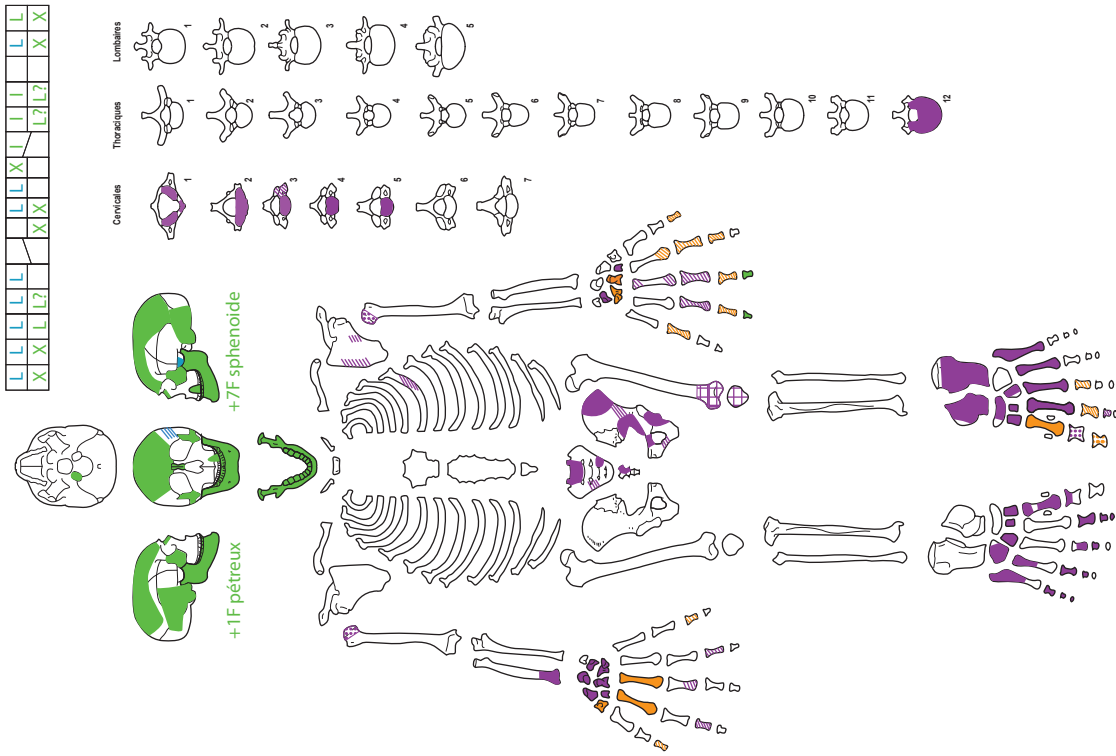
365



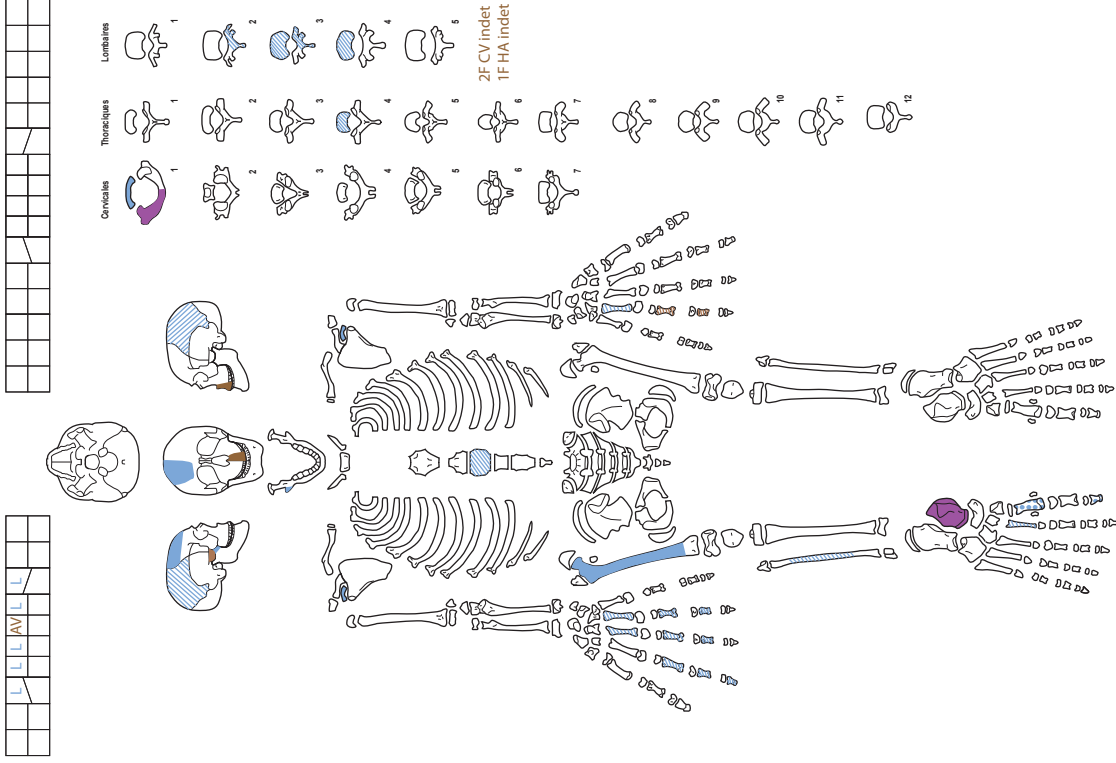
413



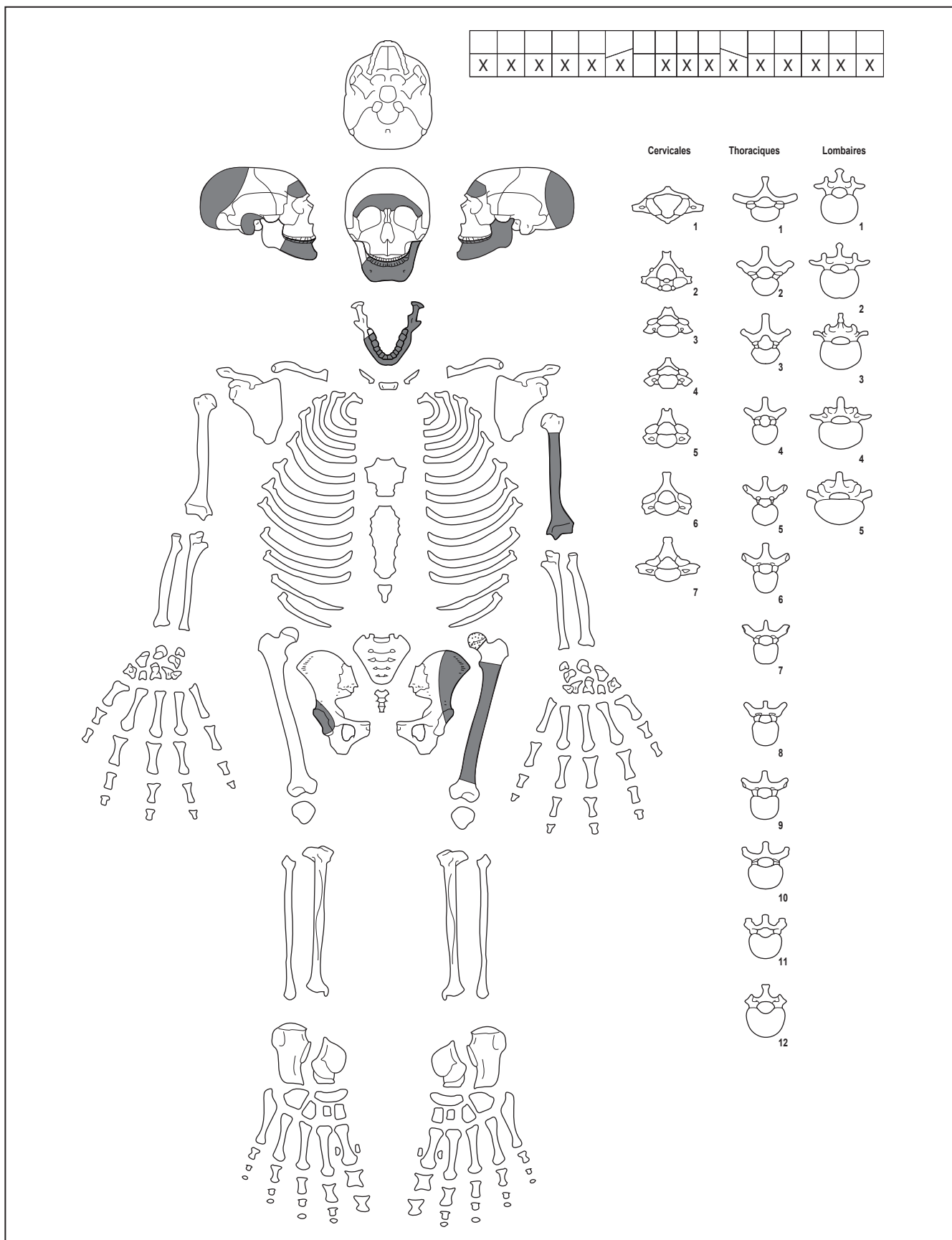
Aswad Est adulte



Aswad Est immature



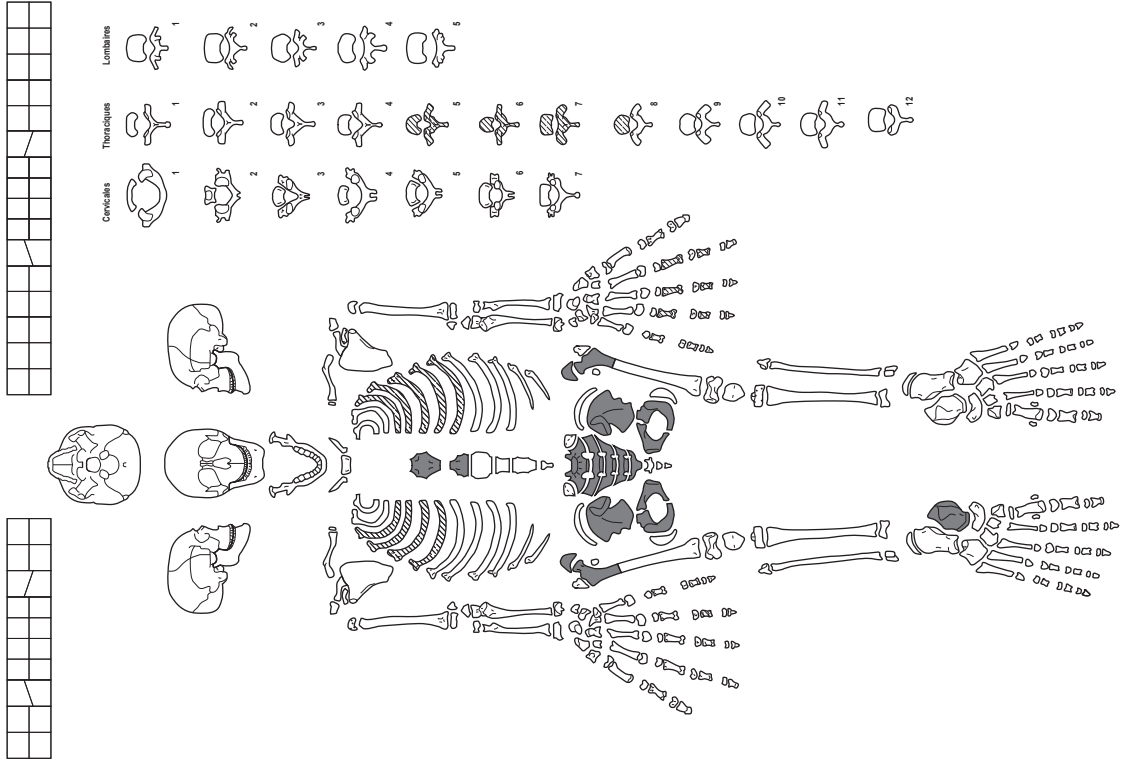
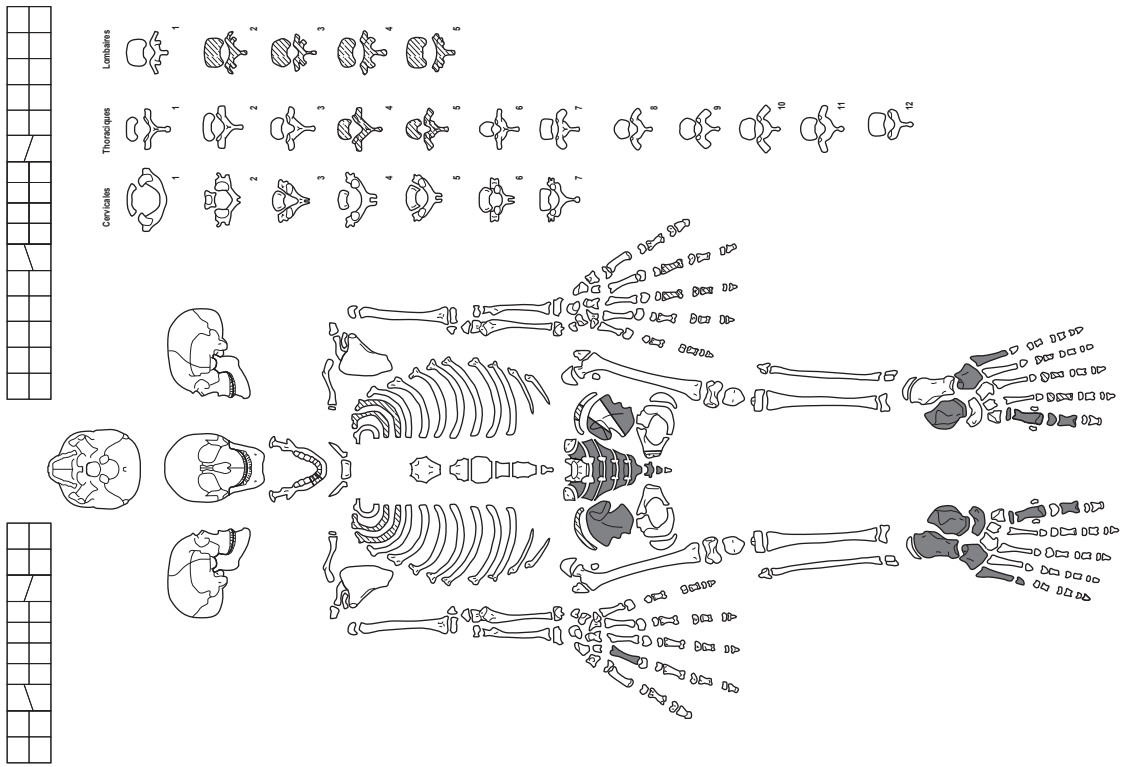
Annexe 3.17 : Tell Aswad ; fiches de conservation des individus Aswad Est adulte et immature (ASW IA) et provenance des ossements



Annexe 3.18 : Tell Aswad ; fiche de conservation de l'individu Aswad Ouest (ASW II)

73-2255

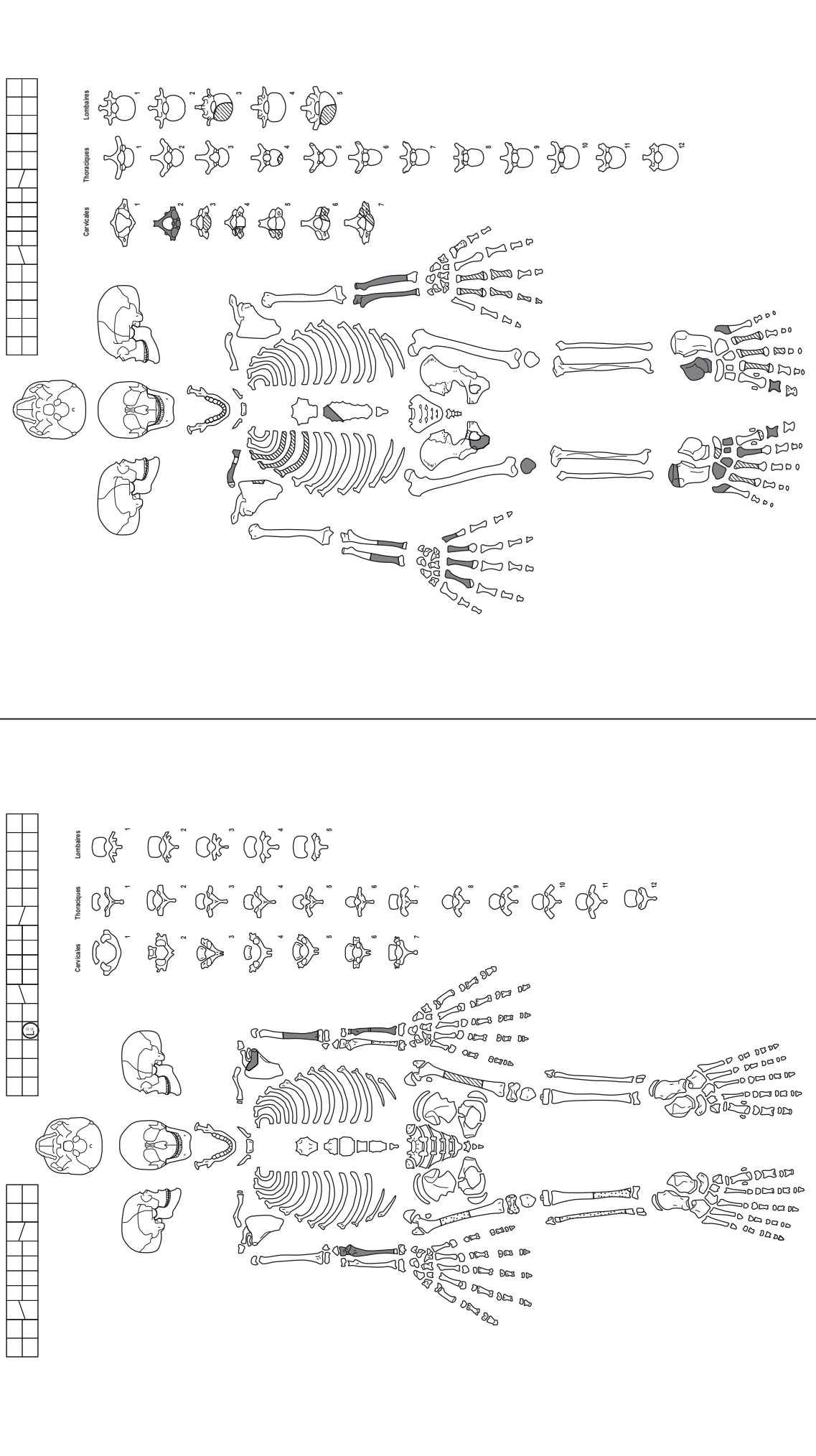
73-2402

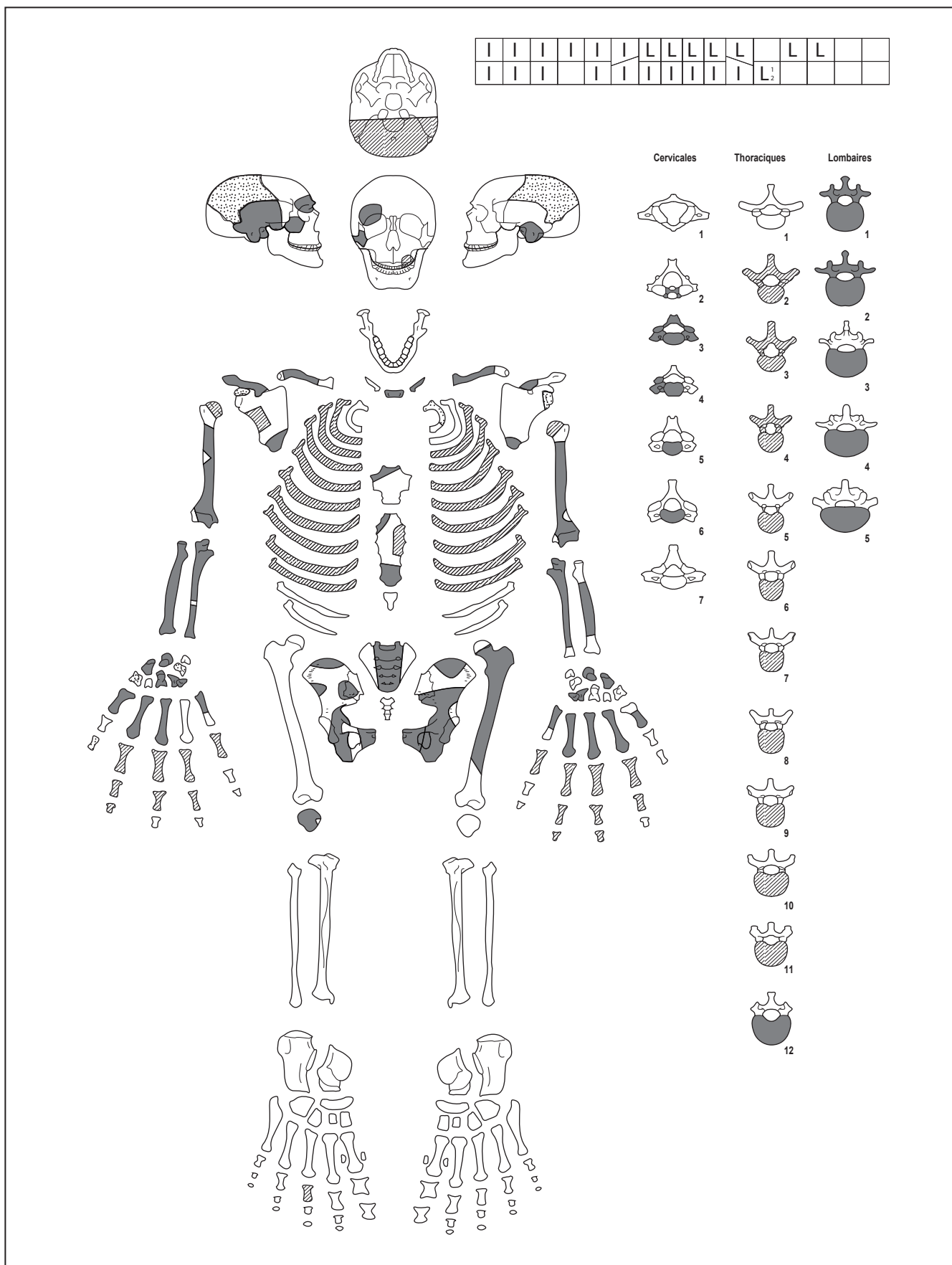


Annexe 3.19 : Abu Hureyra ; fiches de conservation des individus 73-2255 et 73-2402 (AH 2A)

73-2168

73-2172

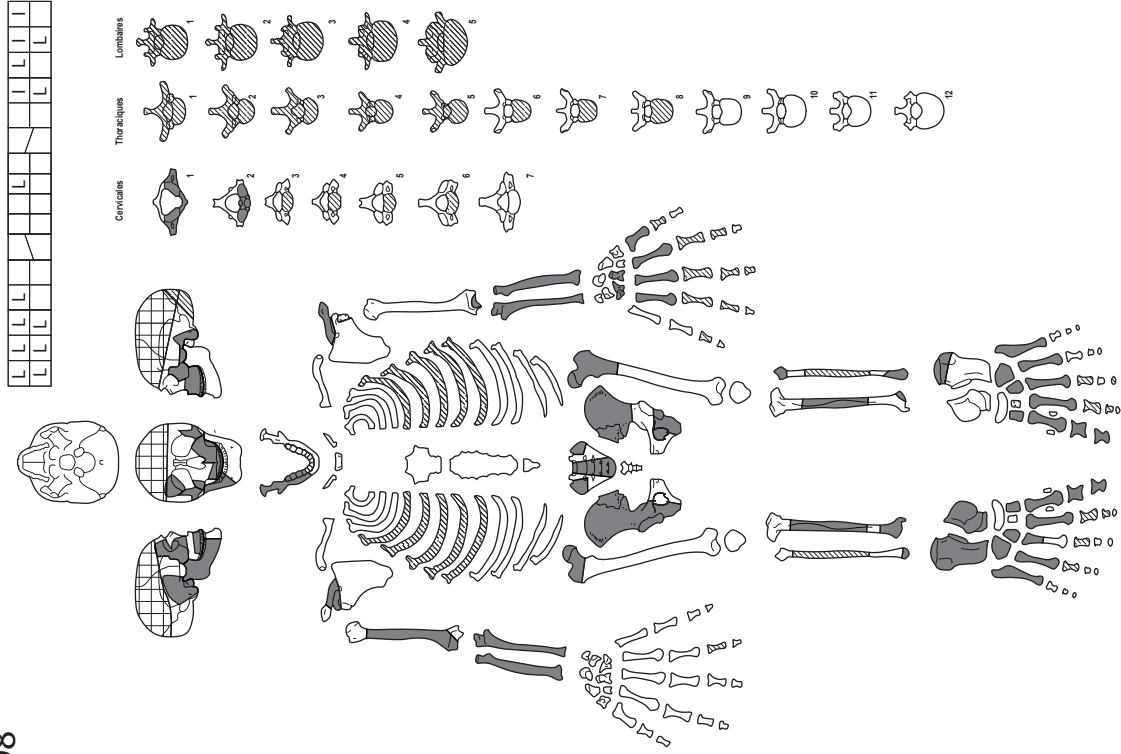
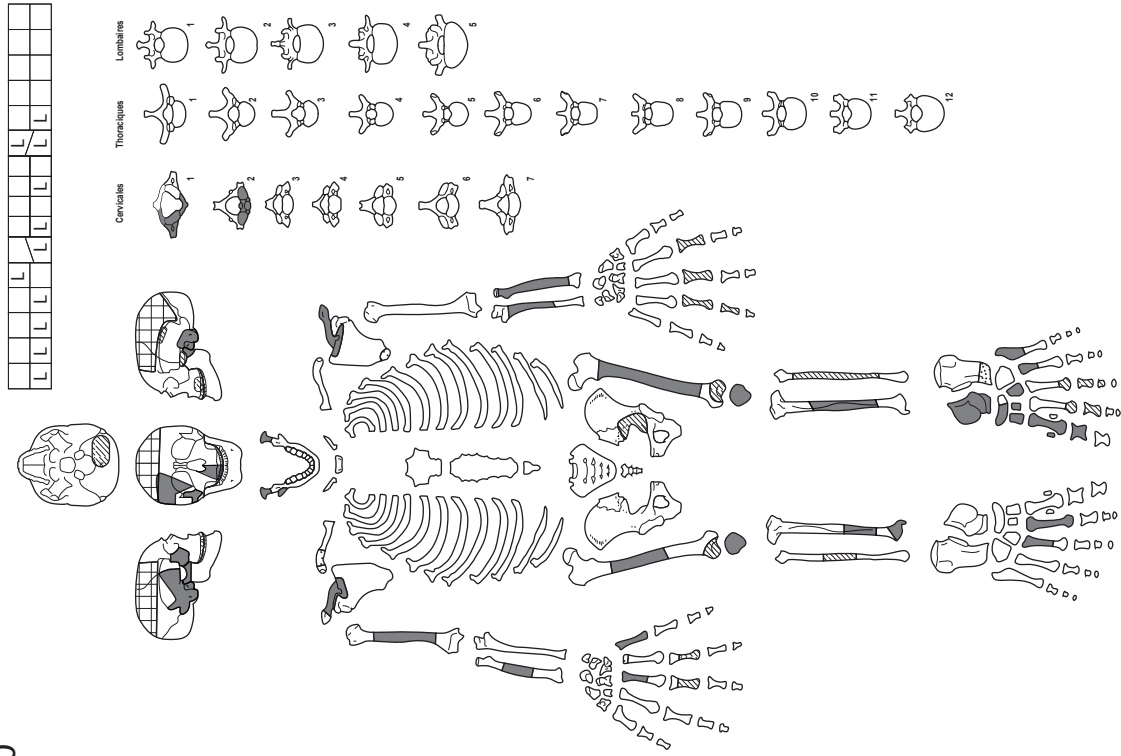


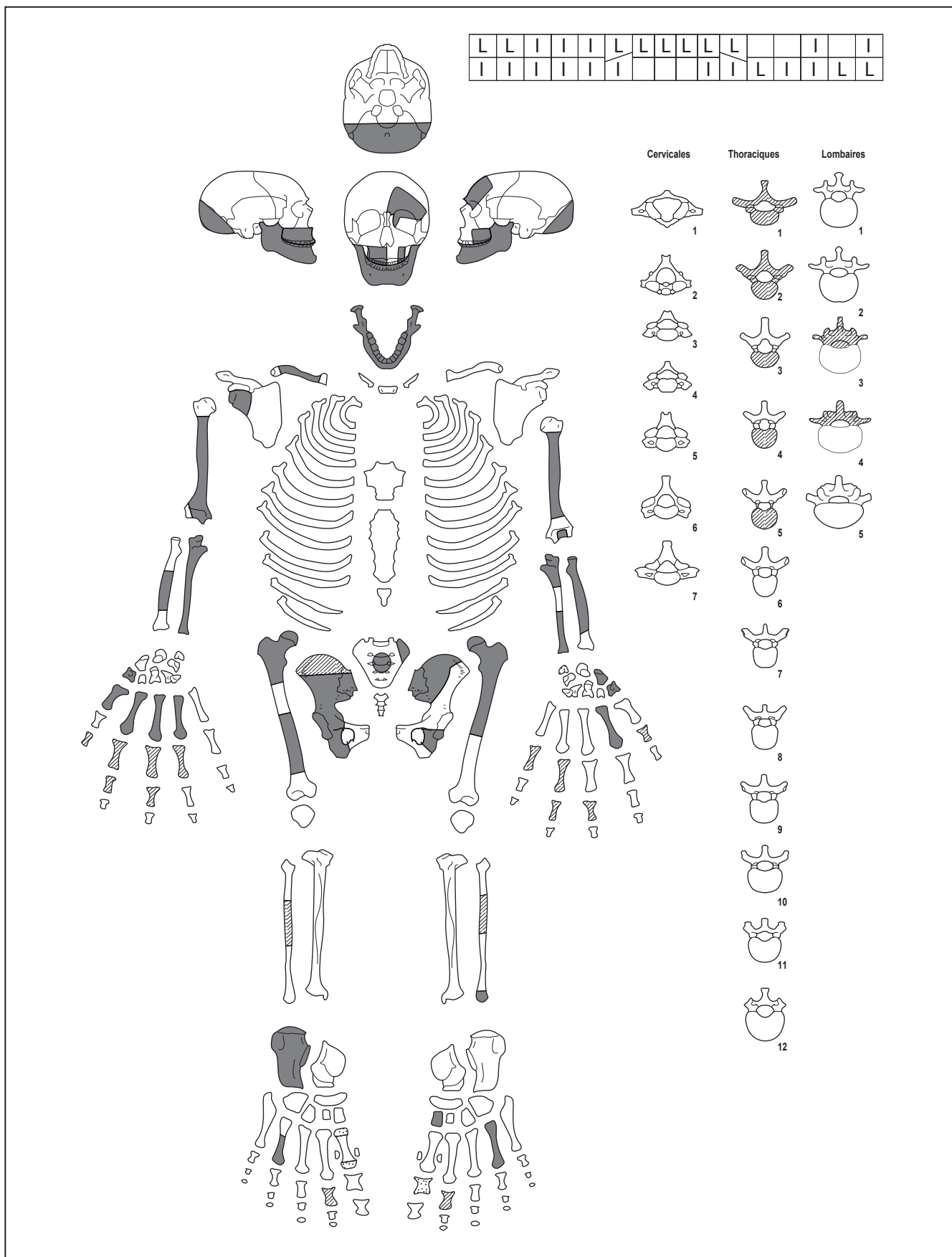


Annexe 3.22 : Abu Hureyra ; fiche de conservation de l'individu 73-2771 (AH 2B)

73-2950

73-2398



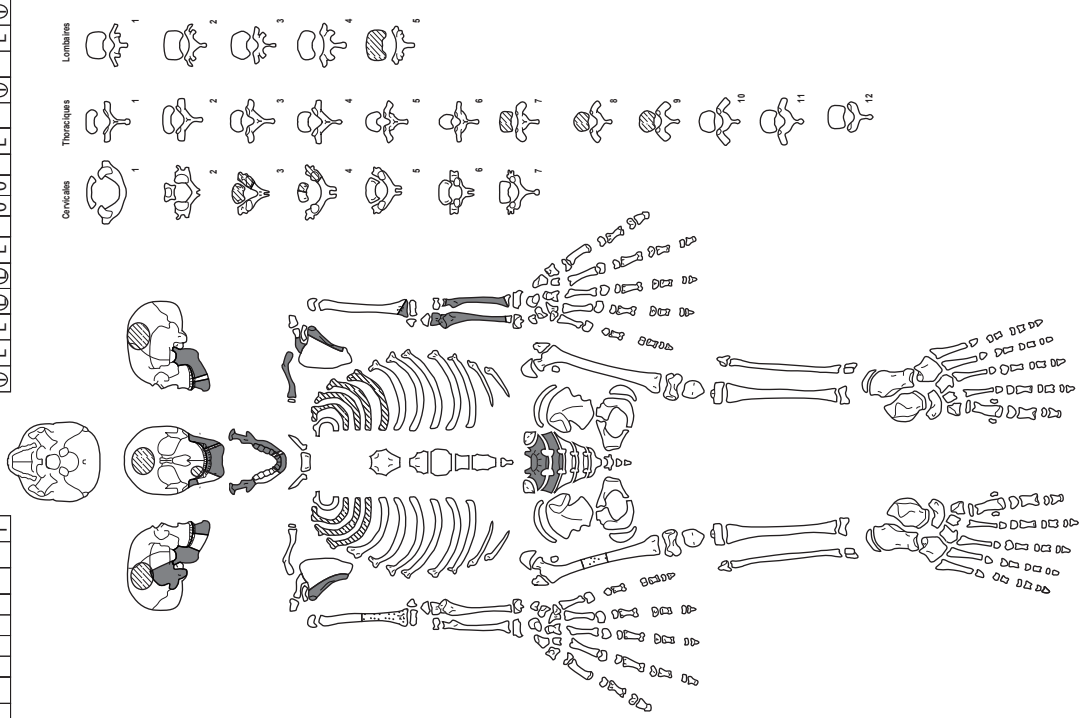


Annexe 3.25 : Abu Hureyra ; fiche de conservation de l'individu 73-2396 (AH 2B)

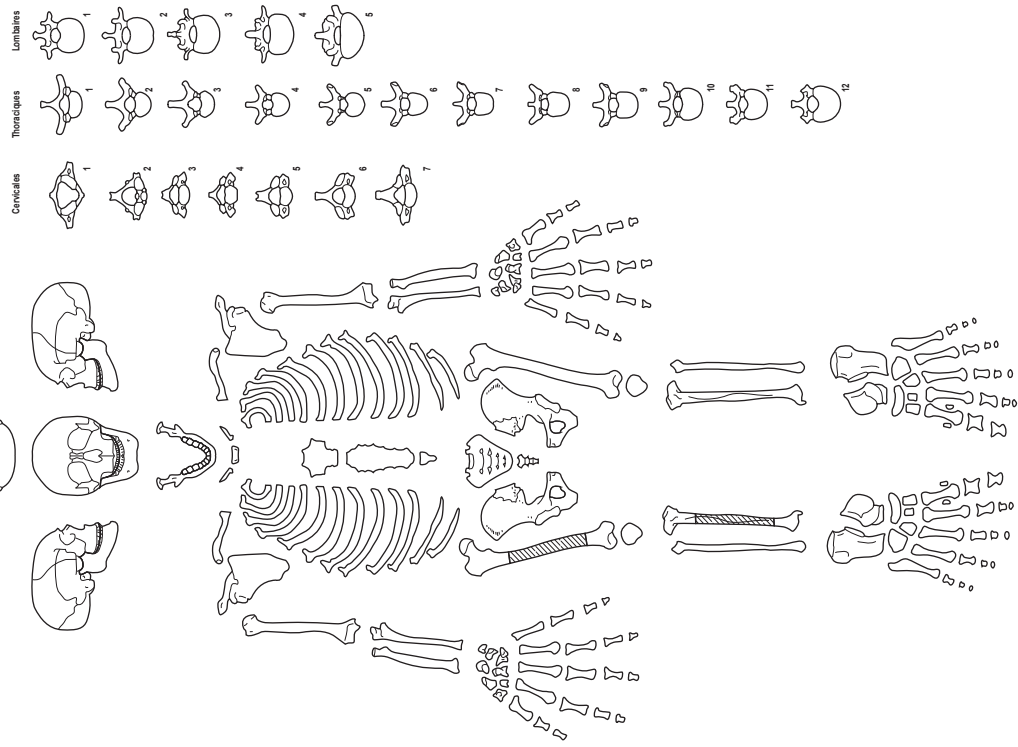
73-810

L	L									

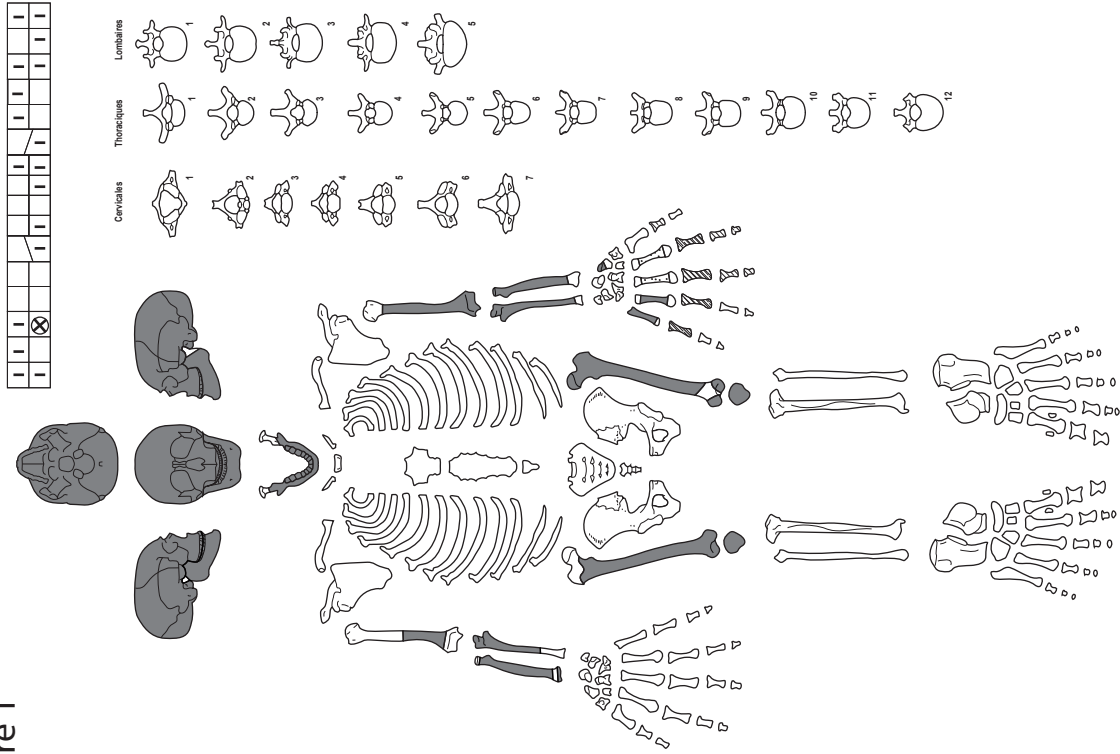
0	L	0	0							
0	L	0	L	0	0	L	0	L	0	



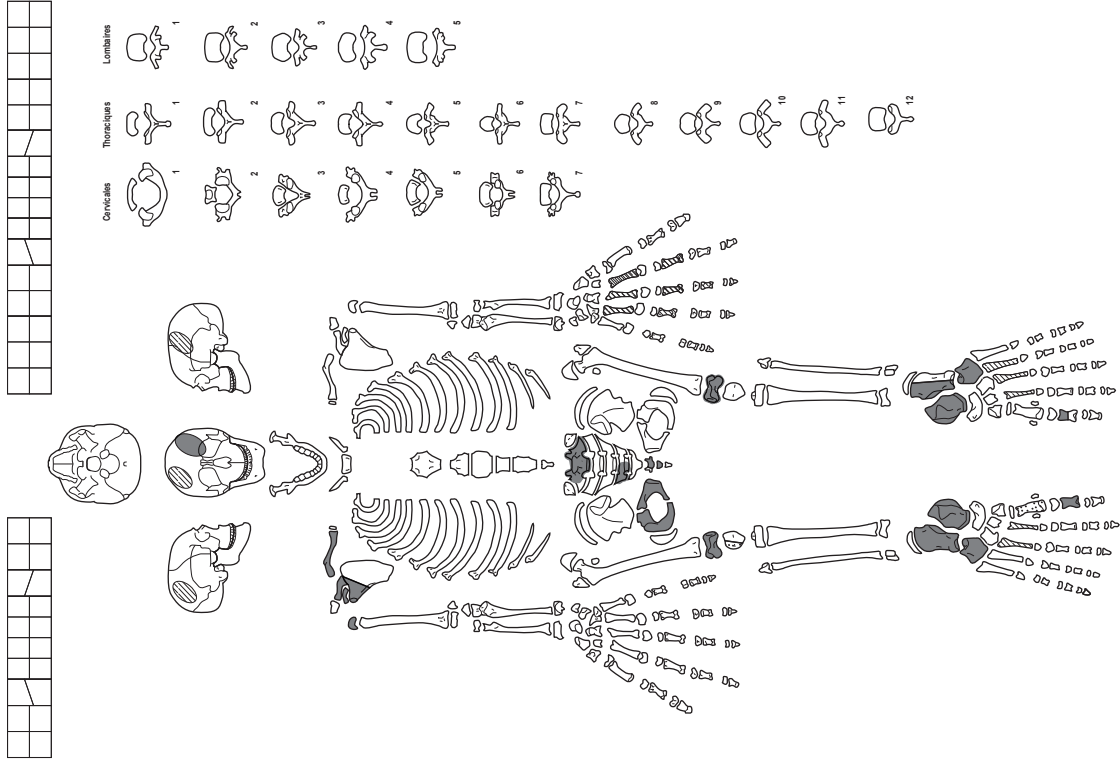
73-1782

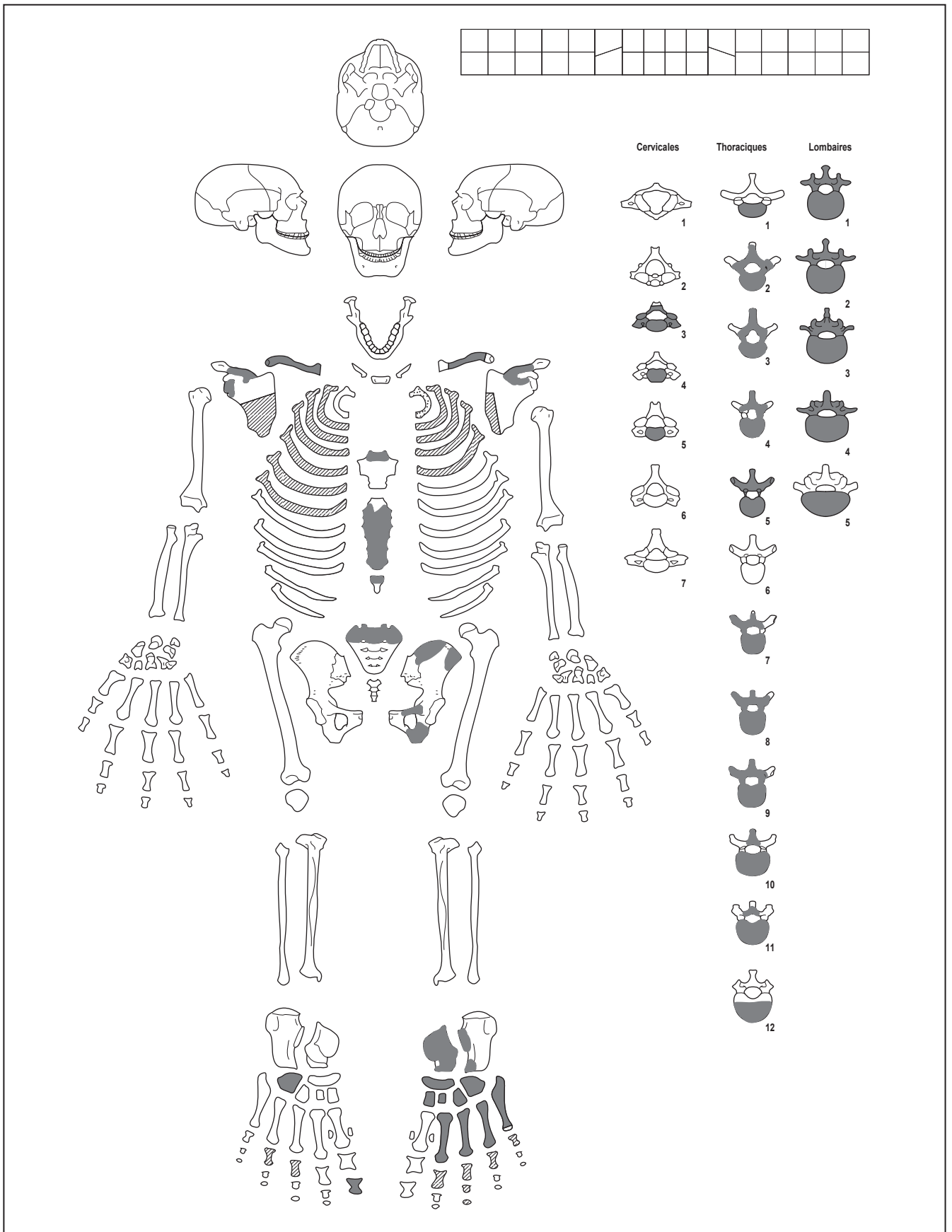


sépulture 1



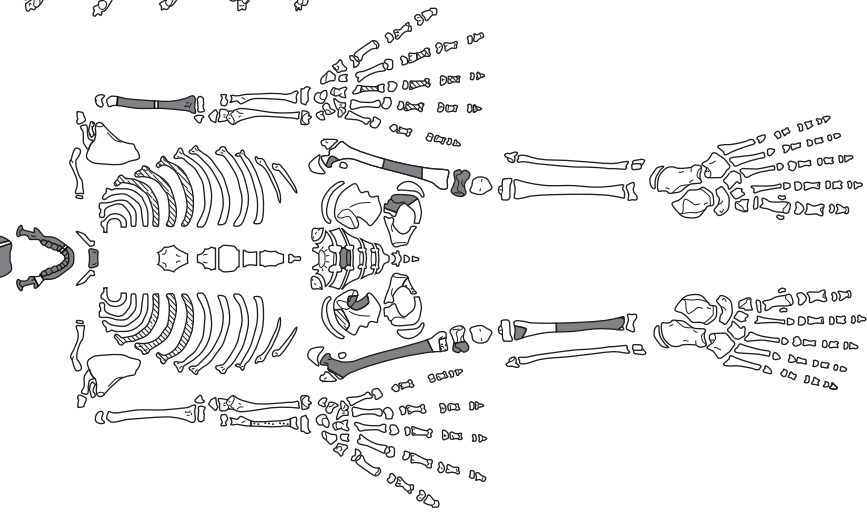
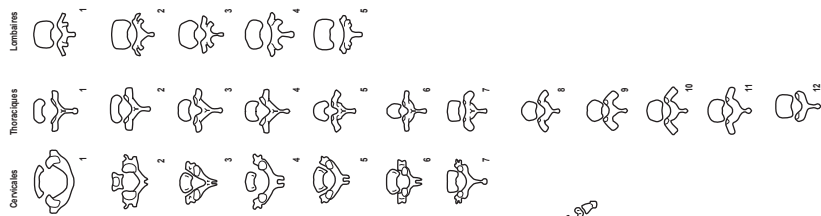
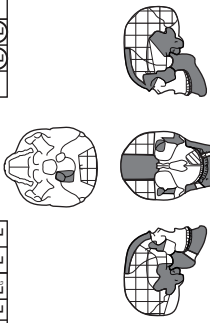
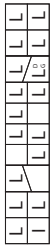
dépôt 2



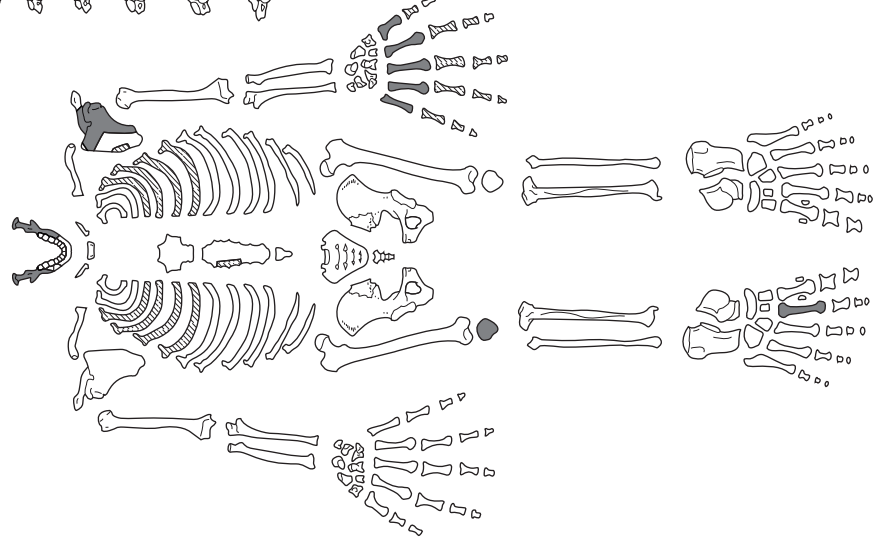
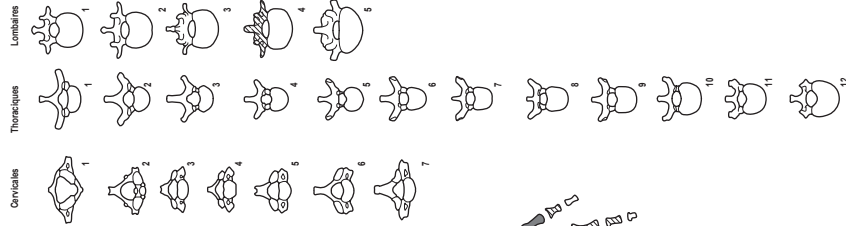
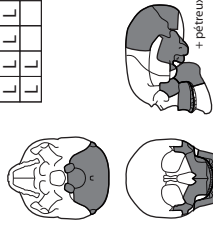
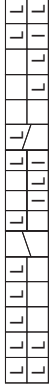


Annexe 3.28 : Tell Mureybet ; fiche de conservation de l'individu « sépulture 3 » (MB III B)

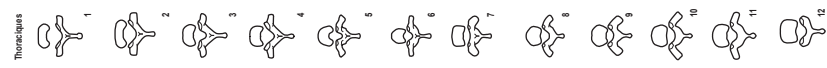
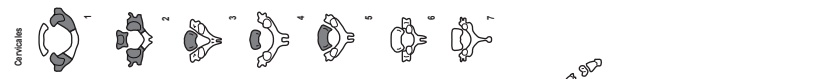
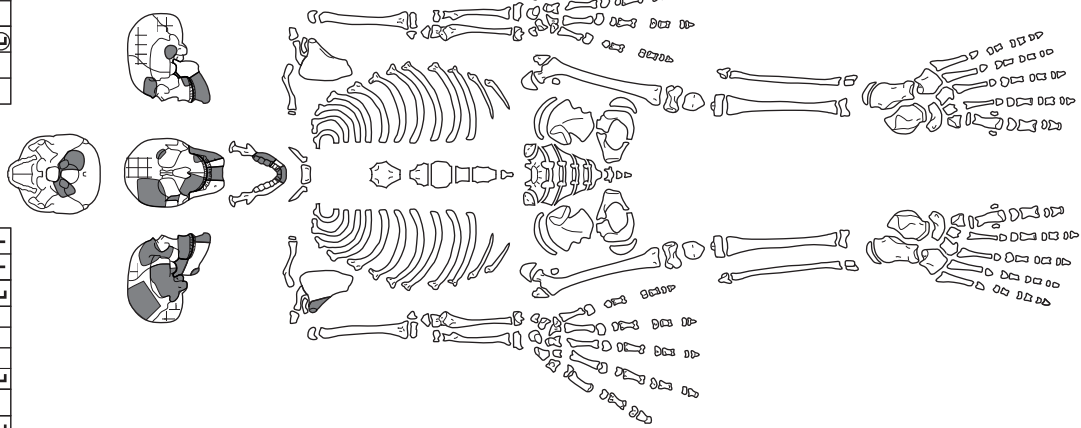
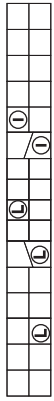
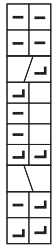
crâne 1



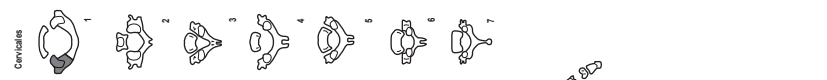
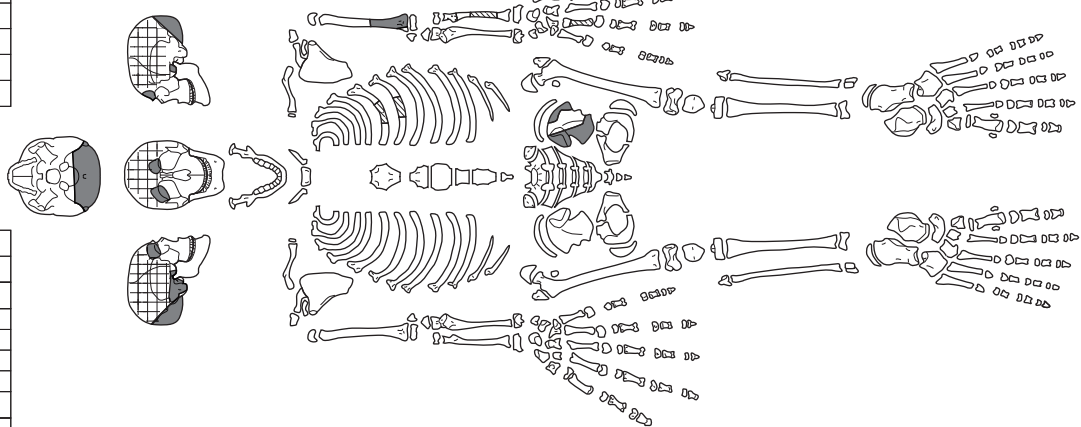
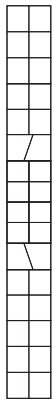
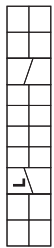
crâne 2



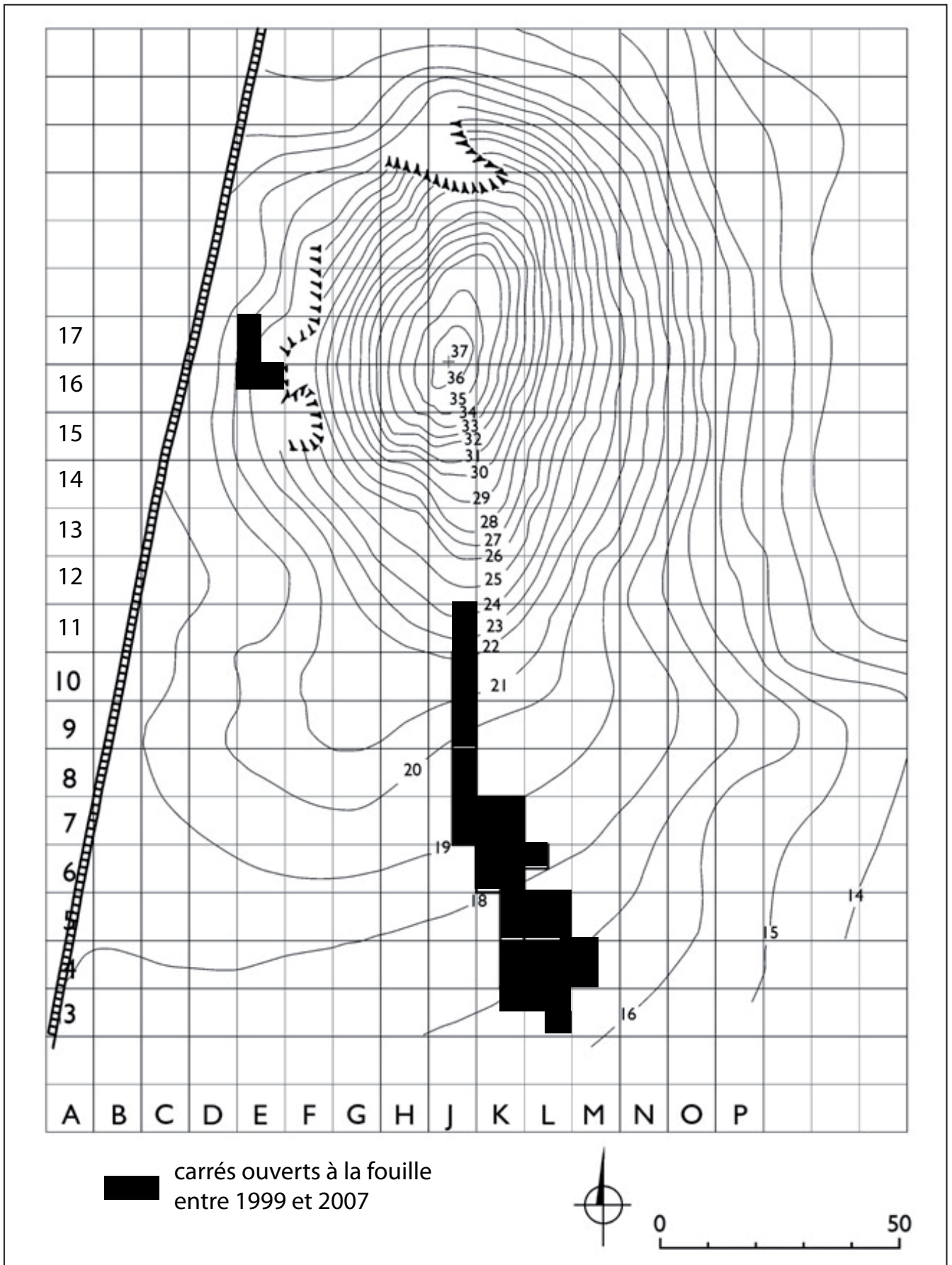
crâne 3



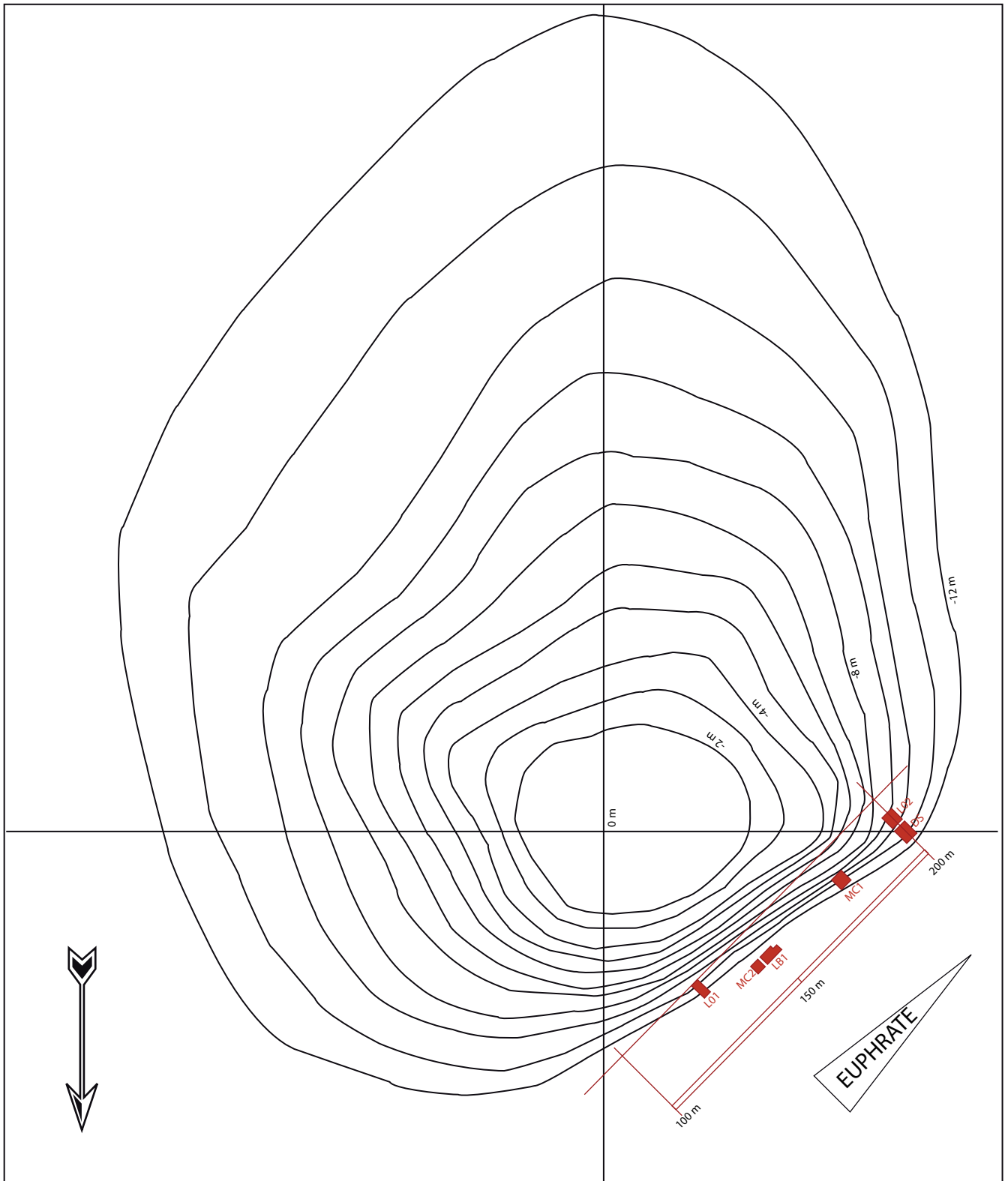
crâne 6



ANNEXES 4
PLANS



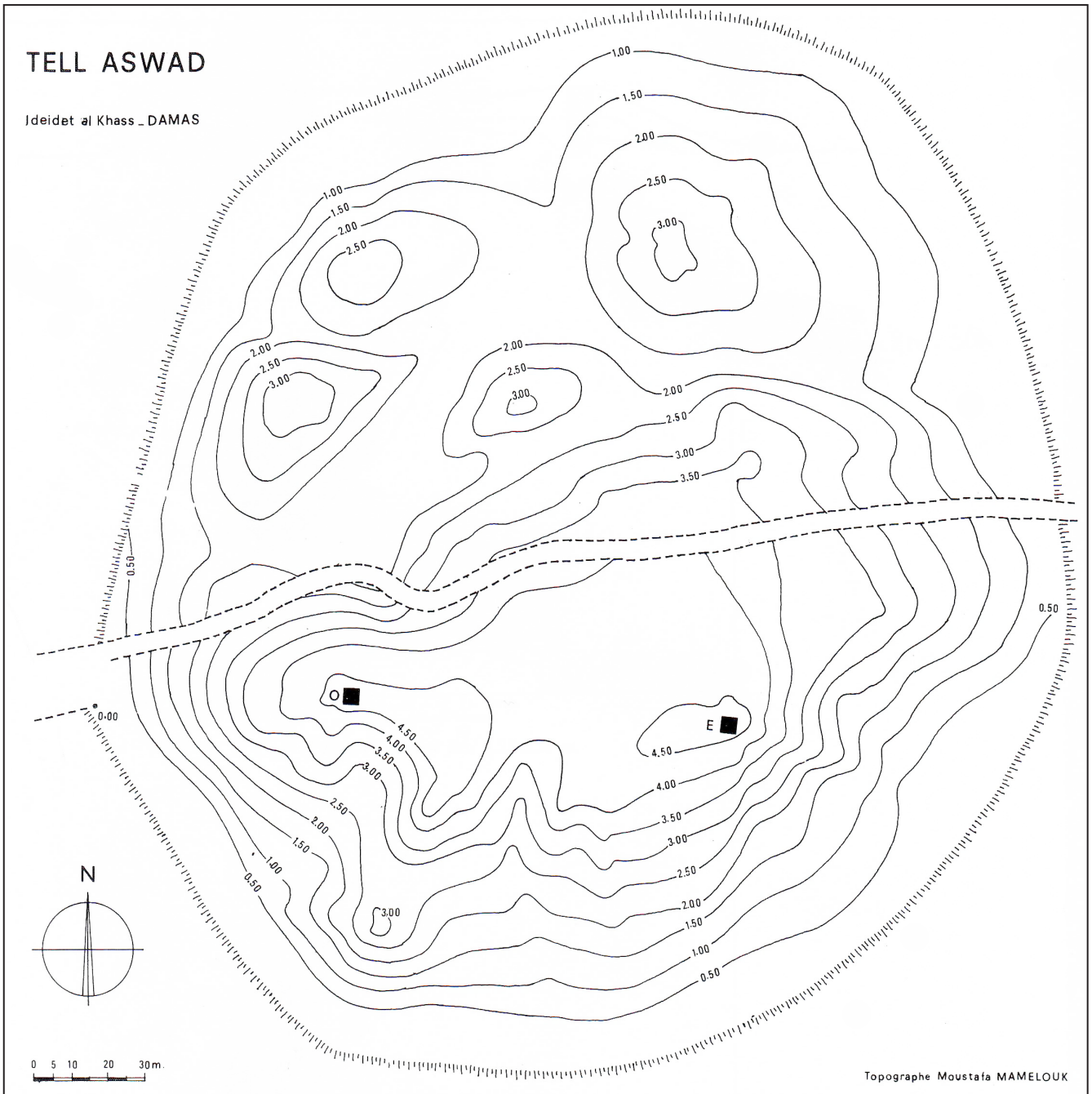
Annexe 4.1: Tell Qaramel : plan du site et carrés ouverts à la fouille entre 1999 et 2007 (d'après Mazurowski 2006, p. 484 et Mazurowski & Kanjou 2012, p. 147)



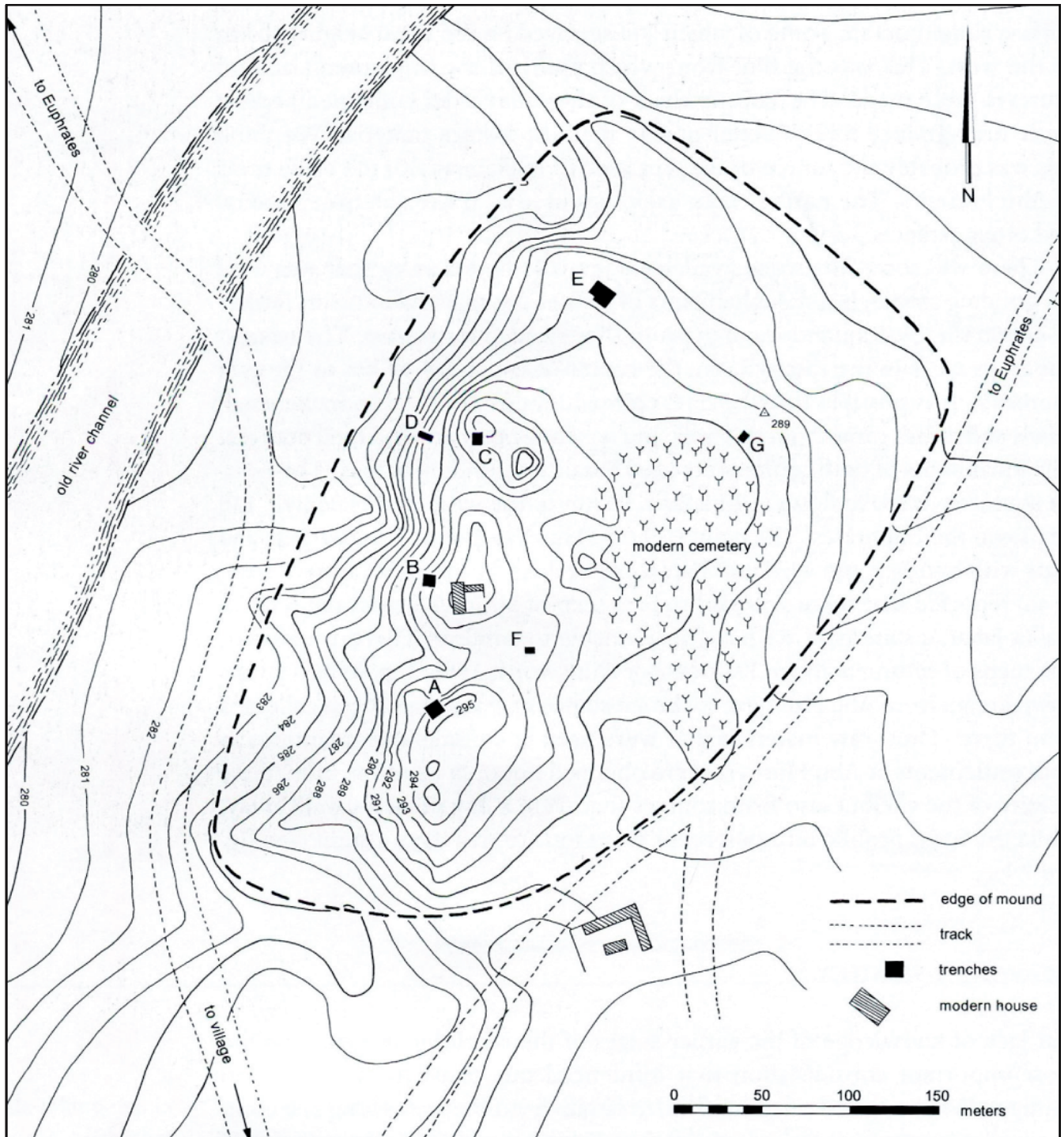
Annexe 4.2 : Cheikh Hassan : plan du tell et emplacement des sondages réalisés par J. Cauvin en 1976 (DAO B. Chamel d'après mission Cheikh Hassan 1976)



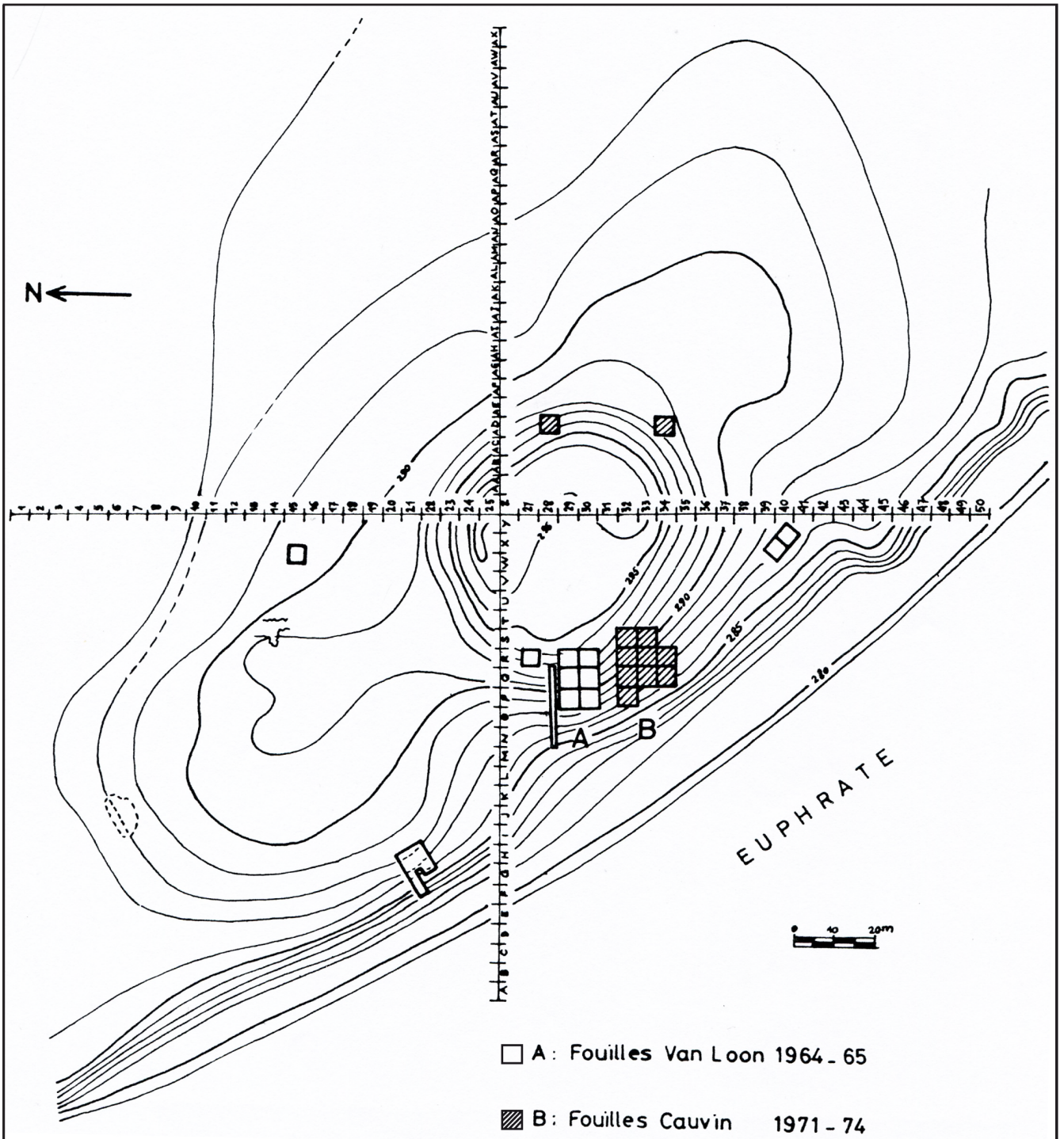
Annexe 4.3 : Dja'de el-Mughara : plan du tell et emplacement des différents secteurs en 2008 (d'après DAO G. Devilder)



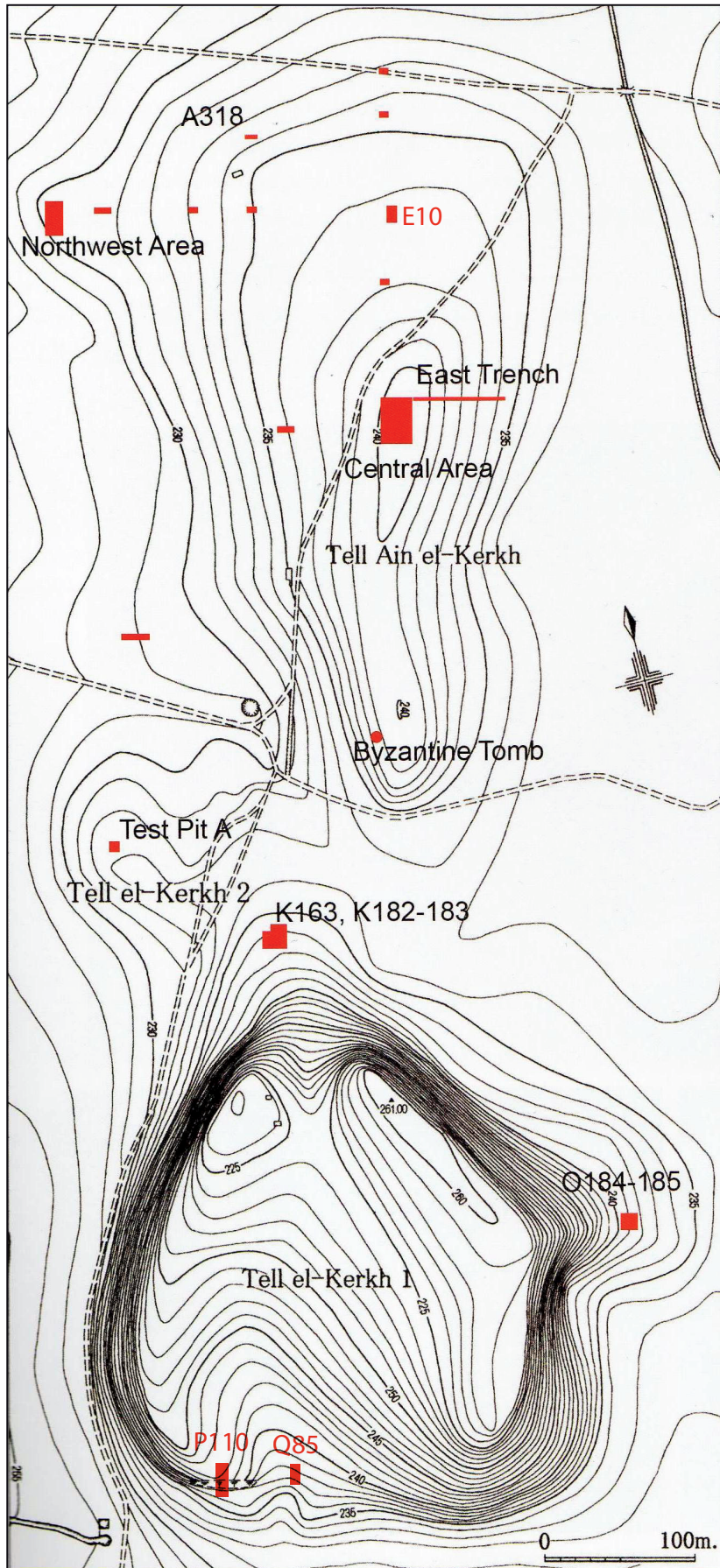
Annexe 4.4 : Tell Aswad : plan topographique (Contenson 1995, p. 16)



Annexe 4.5 : Abu Hureyra : plan du tell et des différentes tranchées ouvertes à la fouille en 1972 et 1973 (Moore *et al.* 2000, p. 34)



Annexe 4.6 : Tell Mureybet : plan du tell et emplacement des fouilles (d'après J. Cauvin 1977, p. 20)



Annexe 4.7 : plan du complexe « Tell el-Kerkh » avec emplacement des trois sites et des différentes fouilles et sondages (d'après Tsuneki & Hydar 2007, p. 7)



Annexe 4.9 : Tell Ain el-Kerkh ; plan détaillé des dépôts du carré E 271 (fouillé en 2002, 2007 et 2008 ; Tsuneki 2009)